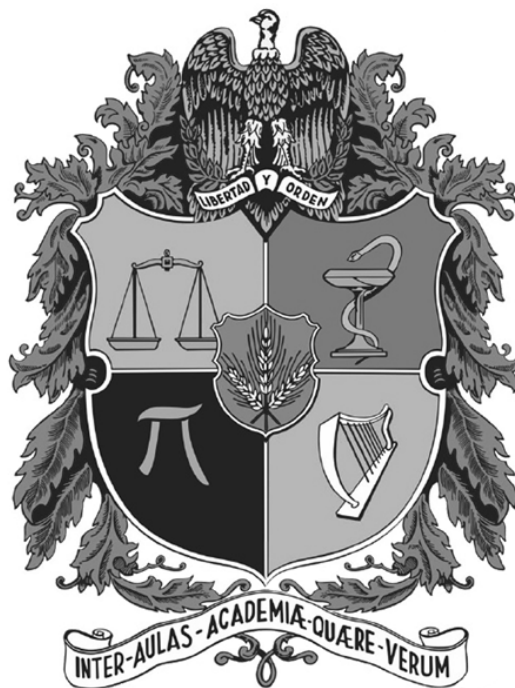


Problema de los dos cuerpos extendidos en Relatividad General bajo la Aproximación Post-Newtoniana

WILLIAM ALEXANDER ALMONACID GUERRERO



UNIVERSIDAD NACIONAL DE COLOMBIA
FACULTAD DE CIENCIAS
OBSERVATORIO ASTRONÓMICO NACIONAL
BOGOTÁ, COLOMBIA

2013

Problema de los dos cuerpos extendidos en Relatividad General bajo la Aproximación Post-Newtoniana

WILLIAM ALEXANDER ALMONACID GUERRERO

TESIS DE MAESTRÍA SOMETIDO COMO
REQUISITO PARCIAL PARA OPTAR AL GRADO DE
MAGÍSTER EN CIENCIAS - ASTRONOMÍA

DIRECTOR
LEONARDO CASTAÑEDA COLORADO

UNIVERSIDAD NACIONAL DE COLOMBIA
FACULTAD DE CIENCIAS
OBSERVATORIO ASTRONÓMICO NACIONAL
BOGOTÁ, COLOMBIA

2013

NOTA DE ACEPTACIÓN

Los abajo firmantes certifican que han leído y aprueban el trabajo de grado titulado **Problema de los dos cuerpos extendidos en Relatividad General bajo la Aproximación Post-Newtoniana**, presentado por **William Alexander Almonacid Guerrero** como requisito parcial para optar al grado de **Magíster en Ciencias - Astronomía**.

Fecha: 20 de Noviembre de 2013

Director:

Leonardo Castañeda Colorado

Jurados:

Eduardo Brieva Bustillo

Eduard Alexis Larrañaga R.

El tiempo no es una cuerda que se pueda medir nudo a nudo, el tiempo es una superficie oblicua y ondulante que sólo la memoria es capaz de hacer que se mueva y aproxime.

JOSÉ SARAMAGO, EL EVANGELIO SEGÚN JESUCRISTO.

A mis padres.

Tabla de contenido

Resumen	XI
Abstract	XIII
Agradecimientos	XV
Notación y Convenciones	XVII
1. Prefacio	1
2. Fundamentos	3
2.1. Principios de Relatividad General	3
2.2. Formulación matemática de la Relatividad General y las Ecuaciones de Campo de Einstein	5
2.3. La función de mundo	11
2.3.1. Diferenciación de la función de mundo	12
2.4. La ecuación de desvío geodésico	15
3. Dinámica de los cuerpos extendidos	21
3.1. Dinámica de los cuerpos extendidos en Mecánica Newtoniana	22
3.1.1. Momentos de masa, de momentum y de esfuerzos	24
3.1.2. Centro de masa	26
3.1.3. Fuerza y Torque	27
3.1.4. El problema externo y el problema interno	30
3.1.5. Ecuaciones de movimiento bajo un formalismo geométrico	36
3.2. Dinámica de los cuerpos extendidos en Relatividad General	42
3.2.1. Momentum lineal y momentum angular	45
3.2.2. Centro de masa	48

3.2.3. Fuerza y Torque	54
4. Ecuaciones de movimiento para un cuerpo de prueba con estructura en una métrica estática e isotrópica	62
4.1. Ecuaciones de movimiento de Papapetrou	63
4.2. Condición suplementaria de espín de Corinaldesi-Papapetrou	64
4.2.1. Ecuaciones de movimiento en coordenadas isotrópicas	66
4.3. Condición suplementaria de espín de Tulczyjew-Dixon	68
5. Movimiento de dos cuerpos extendidos bajo la Primera Aproximación Postnewtoniana	72
5.1. Principios de la Aproximación Postnewtoniana	73
5.1.1. Momentos multipolares de masa y de marea	77
5.2. Leyes de movimiento en aproximación postnewtoniana	80
5.2.1. Sistemas de coordenadas y ecuaciones de movimiento	83
6. Conclusiones	88
A. Coordenadas normales de Riemann y la extensión tensorial de la métrica	90
A.1. Tétrada sobre una geodésica	90
A.2. Coordenadas normales de Riemann	91
A.3. Extensión tensorial de la métrica	92
B. El gauge armónico	94
Bibliografía	97

El problema de la dinámica de los cuerpos en la Teoría de la Relatividad General ha sido objeto de estudio desde su propio nacimiento. Diferentes métodos han sido desarrollados para calcular e interpretar las contribuciones relativistas al movimiento de cuerpos afectados por campos gravitacionales. Sin embargo, la dependencia de estos campos de cualquier distribución de energía, incluyendo la propia gravitacional, se constituye en una dificultad fundamental que hace de este un problema abierto de la Física. El objetivo del presente trabajo es realizar una exposición exhaustiva de un método general para tratar el movimiento de los cuerpos extendidos en la Teoría de la Gravedad de Einstein. Para esto se parte del programa clásico seguido en la teoría newtoniana, proponiendo una expansión multipolar de los potenciales gravitacionales en función de los momentos de densidad de masa, momentum y esfuerzos, lo cual conduce a las ecuaciones de movimiento traslacional y rotacional de un sistema autogravitante y aislado, compuesto de cuerpos extendidos. Un acercamiento geométrico al problema newtoniano, basado en la definición del funcional de momentum generalizado, también es tratado, con el fin de extender el método al escenario relativista. Partiendo de los postulados de la Relatividad General, se plantean las definiciones de tubo de mundo, línea de mundo, momentum, momentum angular, fuerza, torque y centro de masa. Se obtienen las ecuaciones generales de movimiento para un cuerpo extendido sin restringir el espacio-tiempo del cual hace parte. Siguiendo el método trazado se calculan las ecuaciones de Papapetrou para un cuerpo de prueba extendido que se mueve bajo una métrica estática e isotrópica, sin prescindir de las contribuciones de órdenes superiores a las dipolares. Finalmente se estudia un sistema compuesto por dos cuerpos extendidos, en el marco de la aproximación postnewtoniana, definiendo los momentos multipolares de masa y momentum a partir de los potenciales gravitacionales al primer orden postnewtoniano. Siguiendo el formalismo de Landau-Liftshitz se encuentran las leyes de movimiento para los momentos y con base en la transformación de coordenadas estándar de esta teoría, se plantean las ecuaciones de movimiento traslacional.

Palabras clave: Relatividad General, Aproximación Postnewtoniana, Sistemas de muchos cuerpos, Momentos multipolares.

Abstract

The dynamics of extended bodies is a fundamental problem in any gravitational theory. In the case of General Relativity, this problem is under study since the theory was published. Several methods have been developed and different approaches are available in the literature to interpret the relativistic contributions in the motion under gravity influence. The main goal in this thesis is to study a general method to face the equation of motion for extended bodies in General Relativity. We started with a proposal in the Newtonian theory, which consists in a multipolar expansion for the gravitational potentials as a function of the mass density moments and other physical variables as the stress tensor. The methodology give us the equation of motion for an isolated and self-gravitating system of extended bodies in Newtonian mechanics. A geometrical approach to get the equation of motion is also used for the Newtonian problems, it allows us to extend the methodology to General Relativity. In General Relativity, some new concepts are necessary: world tube, world line, generalized ideas of momentum, angular momentum, torque and mass center are introduced in a general context. General expressions for the equation of motion in the case of extended bodies are written without any restriction. In order to gain some physical understanding, we compute the Papapetrous's equation of motion for a test extended body in a static and isotropic metric. Finally, we study a system of two extended bodies in the post-Newtonian approximation. We define the mass multipole moments and momentum from the gravitational potentials (metric functions) to the first post-Newtonian order. We follow the Landau-Lifshitz formalism to find out the equation of motion for the moments and applying the standard coordinate transformation for this theory, we write the traslational equation of motion.

Keywords: General Relativity, Post-Newtonian Approximation, Many-body systems, Multipolar moments.

Agradecimientos

Quiero agradecer a la Universidad Nacional de Colombia, sede Bogotá y en especial al Observatorio Astronómico Nacional, por haberme permitido realizar mis estudios de maestría. Este trabajo no hubiera sido posible sin el apoyo del Programa de Becas Para Estudiantes Sobresalientes de Posgrado de la Universidad Nacional de Colombia.

Agradezco muy especialmente al profesor Leonardo Castañeda Colorado por haberme aceptado como estudiante en el Grupo de Gravitación y Cosmología. También por su generosidad al brindarme sus conocimientos, por sus consejos y su amistad.

Agradezco al profesor Juan Manuel Tejeiro por darme las herramientas necesarias para ejercer mi labor investigativa y por haberme motivado a seguir este camino. También por su apoyo incondicional al grupo de investigación y por su gestión para la financiación de eventos académicos.

Agradezco a mi familia: A Liz por brindarme todo su amor, a mis padres y mi hermano por ser un apoyo constante.

Gracias también a mis compañeros del grupo de investigación. Con sus valiosos aportes y su agradable compañía hicieron más interesante este camino.

Notación y Convenciones

Constantes y unidades. La constante de Gravitación Universal $G = 6.67 \times 10^{-11} \text{m}^3/\text{kg s}^2$ y la velocidad de la luz c son escritas explícitamente a lo largo de todo el trabajo.

Índices, vectores, tensores. Los índices griegos α, β, \dots se utilizan para las coordenadas espacio-temporales y van de 0 a 3, los índices latinos i, j, \dots se utilizan únicamente para las coordenadas espaciales y van de 1 a 3. Índices repetidos en cualquier posición representan sumatoria. Letras en negrilla $\mathbf{A}, \mathbf{B}, \dots$ y en caligrafía $\mathcal{A}, \mathcal{B}, \dots$, son utilizadas para denotar vectores y tensores respectivamente.

Un sistema de coordenadas se define por $x^\mu = (x^0, \mathbf{x})$, con $x^0 = ct$. Las componentes de la métrica se representan por $g_{\mu\nu}$ y su inversa es $g^{\mu\nu}$, tal que $g^{\mu\nu}g_{\lambda\nu} = \delta^\mu_\lambda$, con

$$\delta_{\mu\nu} = \begin{cases} +1, & \text{si } \mu = \nu, \\ 0, & \text{si } \mu \neq \nu. \end{cases}$$

El ejercicio de índices se realiza a través del tensor métrico $g_{\mu\nu}$ a menos que se plantee otra manera.

Se define el tensor de Levi-Civita $\epsilon_{\mu\nu\kappa\lambda}$, como

$$\epsilon_{\mu\nu\kappa\lambda} = \begin{cases} +1, & \text{si } \mu\nu\kappa\lambda \text{ son permutaciones pares de } 0123 \\ -1, & \text{si } \mu\nu\kappa\lambda \text{ son permutaciones impares de } 0123 \\ 0, & \text{de cualquier otra manera.} \end{cases}$$

Cuando se trate con tensores de dos puntos, como es el caso de la función de mundo $\Omega(x, z)$, los índices $\alpha, \beta, \gamma, \dots$ serán utilizados para indicar operaciones en el punto z y los índices $\kappa, \lambda, \mu, \dots$ indicarán operaciones en el punto x , a menos que se señale lo contrario.

En el capítulo (5), donde se aplica la expansión multipolar a todos los órdenes, se utiliza la notación multi-índice, en la cual un tensor con l índices $a_1 a_2 \dots a_l$ se simplifica por medio de una letra mayúscula

L , entonces $F_L = F_{a_1 \dots a_l}$.

Signatura, tensor de Riemann, Ricci y ecuaciones de Einstein. La signatura usada es $(+, +, -)$, la cual corresponde a:

$$\begin{aligned}\eta^{\mu\nu} &= (-1, 1, 1, 1), \\ R^\kappa_{\lambda\mu\nu} &= \partial_\mu \Gamma^\kappa_{\lambda\nu} - \partial_\nu \Gamma^\kappa_{\lambda\mu} + \Gamma^\sigma_{\lambda\nu} \Gamma^\kappa_{\sigma\mu} - \Gamma^\sigma_{\lambda\mu} \Gamma^\kappa_{\sigma\nu}, \\ G^{\mu\nu} &= -\frac{8\pi G}{c^4} T_{\mu\nu}, \\ R_{\mu\nu} &= R^\lambda_{\mu\lambda\nu}.\end{aligned}$$

Donde $G^{\mu\nu}$ son las componentes del tensor de Einstein dado por

$$G_{\mu\nu} = R_{\mu\nu} - \frac{1}{2} g_{\mu\nu} R.$$

$T_{\mu\nu}$ son las componentes del Tensor de Energía-Momentum. $R_{\mu\nu\kappa\lambda}$ son las componentes del Tensor de Riemann, $R_{\mu\nu}$ las componentes del Tensor de Ricci y R el Escalar de Ricci.

Los símbolos de Christoffel $\Gamma^\lambda_{\mu\nu}$ satisfacen la relación

$$\Gamma^\lambda_{\mu\nu} = \frac{1}{2} g^{\lambda\kappa} (\partial_\mu g_{\kappa\nu} + \partial_\nu g_{\mu\kappa} - \partial_\kappa g_{\mu\nu}).$$

Operadores.

$\partial_\alpha = \frac{\partial}{\partial x^\alpha}$	Derivada parcial con respecto a x^α .
∇_α	Derivada covariante.
$\square_g = \nabla^\alpha \nabla_\alpha$	es el d'Alambertiano en espacios curvos.
$\square = \partial^\alpha \partial_\alpha$	es el d'Alambertiano plano.
$\frac{\delta}{\delta s} = \frac{dx^\mu}{ds} \nabla_\mu$	es la derivada covariante a lo largo de la curva.
$A_{(\alpha\beta)} \equiv \frac{1}{2} (A_{\alpha\beta} + A_{\beta\alpha})$	denota simetrización.
$A_{[\alpha\beta]} \equiv \frac{1}{2} (A_{\alpha\beta} - A_{\beta\alpha})$	denota antisimetrización.
$A_{\{\alpha\beta\gamma\}} \equiv A_{\alpha\beta\gamma} - A_{\beta\gamma\alpha} + A_{\gamma\alpha\beta}$	es una operación definida solo para 3 índices.
\dot{A}	representa la derivada con respecto a un parámetro afín.

Desde el nacimiento de la Relatividad General el problema de la dinámica de los cuerpos ha ocupado un espacio fundamental en el desarrollo de la teoría. Diferentes métodos han sido utilizados para dar cuenta de las contribuciones relativistas a las ecuaciones de movimiento de los cuerpos. En muchos de ellos se aplican aproximaciones fundamentales como considerar los cuerpos como partículas puntuales que no afectan el espacio-tiempo en el cual se mueven. En contraposición, el objetivo de este trabajo es estudiar la dinámica de cuerpos extendidos con una estructura interna arbitraria. Para esto se sigue el formalismo de Dixon [1] aplicando un método que permite hallar las ecuaciones generales para un cuerpo extendido sin acudir a restricciones sobre la geometría del espacio-tiempo o sobre la estructura del cuerpo. Como resultado se obtiene un sistema acoplado de ecuaciones de movimiento para la masa, el momentum lineal, el momentum angular y la velocidad del “centro de masa” del cuerpo. El trabajo está organizado de la siguiente forma. En el capítulo (2) se presentan los fundamentos físicos de la Teoría de la Relatividad General y se exponen algunas herramientas matemáticas indispensables en el tratamiento del problema, como la función de mundo [2] y la ecuación de desvío geodésico. En la primera sección del capítulo (3) se estudia la dinámica de los cuerpos extendidos en Mecánica Newtoniana, desarrollando un método geométrico que permite ser generalizado para tratar el problema relativista. En la segunda sección se plantea el problema relativista. Con base en el segundo postulado de la Relatividad General se define un funcional de momentum generalizado que da origen al momentum, el momentum angular, la fuerza y el torque relativistas y permite definir una línea de mundo particular asociada con un centro de masa. En el capítulo (4) se encuentran las ecuaciones de Papapetrou [3] a partir del método general planteado en el anterior capítulo, sin excluir las contribuciones de orden superior al dipolar y considerando una métrica estática e isotrópica. Finalmente en el capítulo (5) se deducen las ecuaciones de movimiento traslacional de dos cuerpos a primer orden postnewtoniano a partir de una expansión multipolar de los potenciales gravitoelectrónico y gravitomagnético y aplicando la transformación general de coordenadas que incluye los efectos inerciales y de marea [4].

En el siguiente capítulo se presenta el marco teórico necesario para atacar el problema de los cuerpos extendidos en Relatividad General . Para este fin se exponen brevemente los principios y postulados de la Teoría de Gravitación de Einstein , y se estudian algunas de las principales ecuaciones de la teoría. Dentro de la formulación matemática se estudian los tensores de dos puntos haciendo énfasis en la función de mundo, la cual se presenta como una herramienta importante en el tratamiento de la dinámica de los cuerpos extendidos.

Si el lector siente la necesidad de profundizar en alguno de estos temas, puede encontrar una gran variedad de libros de Relatividad General , ya sea que requiera un acercamiento general a la teoría [5–13], un énfasis especial en la dinámica de los cuerpos [14, 15] o un tratamiento clásico sobre los métodos relacionados con la función de mundo [2, 16].

2.1. Principios de Relatividad General

La gravedad fue originalmente descrita por Newton al postular la Ley de gravitación universal. Esta establece que entre todo par de cuerpos del universo existe una interacción, representada por una fuerza siempre atractiva, que solo depende de la posición relativa de los cuerpos y de su masa gravitacional, la cual es una propiedad intrínseca de la materia. La independencia de esta ley con respecto al tiempo, lo cual permite que la interacción sea de acción instantánea, representa un rompimiento con los principios de la Teoría Especial de la Relatividad , situación que motivó a Einstein a buscar una forma relativista de la ley de gravitación universal.

Una propiedad fundamental de los *campos gravitacionales* es que todos los cuerpos se mueven en ellos

de la misma manera, con independencia de la masa, siempre y cuando las condiciones iniciales sean las mismas. Un ejemplo de esto es la ley de caída de los cuerpos de Galileo, quien demostró que la aceleración de un cuerpo en un punto dado sobre la superficie terrestre es independiente de su masa inercial. Al considerar la Ley de gravitación universal de Newton se concluye que para todos los cuerpos la relación entre su masa inercial y su masa gravitacional es independiente de la naturaleza del cuerpo, lo cual se conoce como el “Principio de Equivalencia Débil”.

Por medio de esta propiedad de los campos gravitacionales es posible establecer una relación entre el movimiento de los cuerpos bajo la influencia de un campo gravitacional y el movimiento de los cuerpos estudiados en un sistema de referencia no inercial, pero que no están situados en ningún campo exterior. Por ejemplo, si se considera un objeto de masa arbitraria que se mueve libremente en un sistema de referencia uniformemente acelerado, este posee una aceleración constante, igual y opuesta a la del sistema. En el caso en que el objeto se mueva libremente en un sistema inercial y bajo la influencia de un campo gravitacional, este tendrá una aceleración constante, siempre y cuando el campo gravitacional sea constante y uniforme (generalmente en pequeñas regiones del espacio). Entonces, debido al principio de equivalencia débil, al dejar caer libremente cuerpos en un sistema no se puede determinar si este es inercial y se encuentra en un campo gravitacional, o si está acelerado.

Teniendo en cuenta la equivalencia entre la energía y la masa, propuesta ya en la Teoría Especial de la Relatividad, Einstein postuló que no es posible determinar bajo ningún experimento la diferencia entre un sistema uniformemente acelerado y un campo gravitacional uniforme. Esto se conoce como el “Principio de Equivalencia de Einstein”. Sin embargo, la equivalencia entre campo gravitacional y sistema de referencia no inercial no es absoluta. En efecto, existe una diferencia fundamental relacionada con el comportamiento de los campos en el infinito. Un campo equivalente a un sistema de referencia uniformemente acelerado o con movimiento rectilíneo no uniformemente acelerado conserva en el infinito un valor no nulo, por el contrario, los campos gravitacionales “reales” tienden siempre a cero. Por lo tanto, los campos gravitacionales no se pueden eliminar cualquiera sea la elección del sistema de referencia, pero los campos equivalentes a sistemas no inerciales se anulan al pasar a un sistema inercial. Entonces, el mecanismo por el cual un campo gravitacional puede ser anulado, mediante la elección adecuada del sistema de referencia, es considerar solo una región dada del espacio suficientemente pequeña para que el campo se pueda considerar uniforme en ella. Esto es posible si se elige un sistema de referencia no inercial con una aceleración igual a la que adquiere una partícula colocada en la región del campo considerado.

La elección de un sistema de referencia inercial asociado a una partícula en caída libre solo tiene sentido en una vecindad pequeña de ella. Además, debido a la inhomogeneidad de los campos gravitacionales, partículas en caída libre en otras regiones del espacio estarían aceleradas con respecto a la primera. Entonces, ya no sería posible comparar objetos físicos como la velocidad, entre partículas ubicadas en distintas regiones, pues los sistemas inerciales asociados a ellas son independientes. En consecuencia,

debería existir una dependencia de la curvatura de la variedad, que si bien no se puede deducir con certeza del anterior análisis, sí se constituyó en una de las motivaciones que llevaron a Einstein a postular que la gravitación es una manifestación de la curvatura del espacio-tiempo y que, debido a la relación que existe entre masa y energía, esta curvatura estaría determinada por todas las formas de materia-energía [6, 13]. En consecuencia todo tipo de energía, incluida la gravitacional, tiene la capacidad de generar gravedad y alterar la curvatura del espacio-tiempo. Se dice, entonces, que la materia determina las propiedades geométricas del espacio-tiempo, y estas propiedades determinan el movimiento de las masas [5, 14]

2.2. Formulación matemática de la Relatividad General y las Ecuaciones de Campo de Einstein

En esta sección se procederá a realizar una revisión de los postulados fundamentales de la Relatividad General y de sus principales resultados teóricos siguiendo [7, 9, 11–13]. En efecto, Einstein propuso una teoría geométrica de la gravitación que se apoya en la geometría diferencial; sin embargo, como teoría física, se basa en postulados que se desarrollaron a partir de la búsqueda de ecuaciones dinámicas que debían reducirse a la gravitación newtoniana y la Teoría Especial de la Relatividad, en los límites adecuados.

Es importante recalcar que la teoría de Newton también tiene un soporte geométrico, presente en el origen mismo de sus trabajos, que ha sido ampliamente estudiado y formalizado [17]. Sin embargo, el espacio-tiempo newtoniano no está moldeado por la presencia de materia y energía, y más bien existe independientemente de estas. Por el contrario, el espacio-tiempo einsteniano no puede separarse de la materia-energía y su modelamiento matemático debe conducir a una expresión que describa este acoplamiento. El primer postulado se ocupa de la definición de este espacio-tiempo.

Postulado 1: El espacio-tiempo, constituido por todos los eventos físicos, está descrito por el par (\mathcal{M}, g) , donde \mathcal{M} es una variedad real, cuadridimensional, conectada de Hausdorff, suave (C^∞), espacial y temporalmente orientada, y g es una métrica lorentziana sobre \mathcal{M} .

La signatura lorentziana del tensor métrico g implica que en cada punto de \mathcal{M} el conjunto de los vectores nulos $\{x/g(x, x) = 0\}$ es un cono (de luz) en el espacio tangente de la variedad, en ese punto.

La analogía entre los campos gravitacionales y los sistemas de referencia no inerciales, anteriormente señalada, permite establecer algunas relaciones entre la métrica, como ente geométrico, y la física del problema en cuestión. Como es sabido de la Teoría Especial de la Relatividad, en un sistema de referencia inercial, que no se encuentra bajo la influencia de la gravedad, en coordenadas cartesianas el

intervalo ds está dado por la relación

$$ds^2 = \eta_{\mu\nu} dx^\mu dx^\nu, \quad (2.1)$$

donde $\eta_{\mu\nu} = \text{diag}(-1, 1, 1, 1)$ es la métrica de Minkowski. Al pasar a otro sistema inercial, mediante una transformación de Lorentz, el intervalo conserva la misma forma. Pero en un sistema de referencia no inercial, el intervalo ya no tendrá la forma indicada en (2.1) y no podrá reducirse a ella cualquiera sea la transformación de coordenadas [6, 7]. Entonces el cuadrado del intervalo toma la forma,

$$ds^2 = g_{\mu\nu} dx^\mu dx^\nu, \quad (2.2)$$

donde $g_{\mu\nu}$ son funciones de las coordenadas espaciales x^i y de la coordenada temporal x^0 . Debido a la equivalencia entre los sistemas de referencia no inerciales y los campos gravitacionales, se puede afirmar que estos campos están determinados por las cantidades $g_{\mu\nu}$, que representan las componentes del tensor métrico, el cual es simétrico por definición ($g_{\mu\nu} = g_{\nu\mu}$).

Considerando el principio de equivalencia, se tiene que el tensor métrico puede ser reducido localmente a la forma galileana (métrica de Minkowski). Sin embargo, un campo gravitacional no puede anularse por una transformación de coordenadas en todo el espacio, por lo tanto la métrica no puede ser reducida, salvo en un punto, a los valores galileanos, luego se dice que el espacio-tiempo es curvo.

Esto tiene consecuencias importantes cuando se quiere comparar vectores y tensores, lo cual es primordial si se desea conocer la evolución de las cantidades que determinan el estado de una distribución de materia. Para realizar estas comparaciones es necesario trasladar los vectores en los espacios tangentes a cada punto. En efecto, un vector que sea transportado paralelamente a lo largo de una curva de un punto a otro en el espacio plano permanecerá constante independientemente de la curva. De hecho, toda la variedad en espacio plano puede ser identificada con su espacio tangente. Esto no sucede en una variedad curva, donde el transporte paralelo depende del camino [9].

Para definir el transporte paralelo considérese un espacio vectorial definido en cada punto de una curva. Si los vectores en puntos infinitesimalmente cercanos son paralelos y tienen la misma longitud, se dice que están transportados paralelamente a lo largo de la curva. Esto es equivalente a exigir que la derivada direccional del vector a lo largo de la curva se anule:

$$\frac{\delta V^\mu}{\delta u} = 0, \quad (2.3)$$

donde V^μ es el vector transportado y u es un parámetro afin que caracteriza la curva. La derivada covariante direccional de un tensor está definida por

$$\frac{\delta T^{\mu_1 \dots \mu_r}}{\delta u} = \frac{dx^\nu}{du} \nabla_\nu T^{\mu_1 \dots \mu_r} \quad (2.4)$$

con la definición usual de derivada covariante

$$\nabla_{\mu} T_{\beta_1 \dots \beta_s}^{\alpha_1 \dots \alpha_r} = \partial_{\mu} T_{\beta_1 \dots \beta_s}^{\alpha_1 \dots \alpha_r} + \Gamma_{\mu\nu}^{\alpha_1} T_{\beta_1 \dots \beta_s}^{\nu \dots \alpha_r} + \dots + \Gamma_{\mu\nu}^{\alpha_1} T_{\beta_1 \dots \beta_s}^{\alpha_1 \dots \nu} - \Gamma_{\mu\beta_1}^{\nu} T_{\nu \dots \beta_s}^{\alpha_1 \dots \alpha_r} - \dots - \Gamma_{\mu\beta_1}^{\nu} T_{\beta_1 \dots \nu}^{\alpha_1 \dots \alpha_r}. \quad (2.5)$$

Así, el transporte paralelo en una variedad curva exige una conexión (Γ) bien definida [12]. Esta conexión se denomina *Conexión de Levi-Civita*, que por el teorema fundamental de la geometría riemanniana es la única compatible con la métrica g y es simétrica, lo cual garantiza que la variedad sea libre de torsión [18].

Aunque la conexión (Γ) y la métrica (g) son dos objetos definidos de forma independiente sobre la variedad, estos se pueden relacionar si se impone la condición de que el transporte paralelo preserve el producto escalar entre vectores, lo cual es equivalente a exigir que la derivada covariante de la métrica sea nula;

$$\nabla g = 0, \quad (2.6)$$

De ahí se obtienen los elementos de la conexión $\Gamma_{\mu\nu}^{\lambda}$, llamados *Símbolos de Christoffel*, en términos de la métrica,

$$\Gamma_{\mu\nu}^{\lambda} = \frac{1}{2} g^{\lambda\kappa} (\partial_{\mu} g_{\kappa\nu} + \partial_{\nu} g_{\mu\kappa} - \partial_{\kappa} g_{\mu\nu}). \quad (2.7)$$

Teniendo en cuenta que el tensor métrico está directamente relacionado con los campos gravitacionales, se tiene que los símbolos de Christoffel representan los gradientes de estos campos en la Teoría de Gravitación de Einstein .

La definición de transporte paralelo permite finalmente determinar el tensor de curvatura (Tensor de Riemann) que caracteriza la geometría del espacio-tiempo. Este tensor se puede interpretar como el cambio que se produce en un vector cuando este es transportado paralelamente alrededor de un camino cerrado sobre la variedad. Dado un vector V^{μ} , el tensor de Riemann (\mathcal{R}) representa un operador multiplicativo definido por [5, 19]

$$\nabla_{\mu\nu} V^{\kappa} - \nabla_{\nu\mu} V^{\kappa} = -R^{\kappa}_{\lambda\mu\nu} V^{\lambda}. \quad (2.8)$$

La condición necesaria para que un espacio de Riemann admita una métrica de Minkowski es

$$\nabla_{\mu\nu} V^{\kappa} - \nabla_{\nu\mu} V^{\kappa} = 0, \quad (2.9)$$

por lo tanto, debido a la arbitrariedad de V^{κ} , el tensor de Riemann se anula en el espacio plano.

El tensor de curvatura de Riemann, en componentes, puede ser escrito en términos de las conexiones y sus derivadas como:

$$R^{\kappa}{}_{\lambda\mu\nu} = \partial_{\mu}\Gamma^{\kappa}_{\lambda\nu} - \partial_{\nu}\Gamma^{\kappa}_{\lambda\mu} + \Gamma^{\sigma}_{\lambda\nu}\Gamma^{\kappa}_{\sigma\mu} - \Gamma^{\sigma}_{\lambda\mu}\Gamma^{\kappa}_{\sigma\nu}. \quad (2.10)$$

Adicionalmente, este cumple las relaciones de simetría

$$\begin{aligned} R_{\kappa\lambda\mu\nu} &= -R_{\kappa\lambda\nu\mu} = -R_{\lambda\kappa\mu\nu} = R_{\mu\nu\kappa\lambda} \\ R_{\kappa\lambda\mu\nu} + R_{\kappa\mu\nu\lambda} + R_{\kappa\nu\lambda\mu} &= 0, \end{aligned} \quad (2.11)$$

y las *identidades de Bianchi*

$$\nabla_{\sigma}R_{\lambda\mu\nu\kappa} + \nabla_{\kappa}R_{\lambda\mu\sigma\nu} + \nabla_{\nu}R_{\lambda\mu\kappa\sigma} = 0, \quad (2.12)$$

con $R_{\kappa\lambda\mu\nu} = g_{\kappa\sigma}R^{\sigma}{}_{\lambda\mu\nu}$.

Ahora, considérese una partícula libre en el espacio plano. Si no hay presencia de ningún tipo de fuerza la partícula se moverá con velocidad constante describiendo una línea recta, que es el camino extremal entre dos puntos. En el caso de una variedad curva la generalización de una trayectoria en línea recta se denomina la *geodésica*. Una línea recta, en el espacio euclideo, es la única que transporta paralelamente su vector tangente, por lo que su derivada a lo largo de la curva es nula. Para generalizar este concepto se utiliza la ecuación (2.3) y se define la geodésica como la curva a lo largo de la cual su vector tangente es transportado paralelamente [9], así

$$\frac{\delta}{\delta u} \frac{dx^{\mu}}{du} = 0, \quad (2.13)$$

de donde se obtiene la ecuación de la geodésica, aplicando (2.5),

$$\frac{d^2x^{\mu}}{du^2} + \Gamma^{\mu}_{\rho\sigma} \frac{dx^{\rho}}{du} \frac{dx^{\sigma}}{du} = 0. \quad (2.14)$$

En el marco de la Relatividad General esta ecuación representa la trayectoria que sigue una partícula de prueba que se mueve libremente en un campo gravitacional y sin la influencia de ningún otro tipo de fuerza. Adicionalmente, la partícula de prueba, por definición, tampoco afecta por si misma la geometría, entonces no se consideran fenómenos de autofuerza como los que se presentan en electrodinámica. Entonces, existen dos casos en los que la ecuación (2.14) se puede aplicar, (1) partículas con masa, donde el parámetro afín u se toma como el tiempo propio tal que el vector tangente V^{μ} está normalizado, $g_{\mu\nu}V^{\mu}V^{\nu} = -1$, y (2) partículas sin masa, donde el vector tangente k^{μ} es nulo, luego $g_{\mu\nu}k^{\mu}k^{\nu} = 0$.

Con el fin de determinar todos los anteriores elementos es necesario encontrar una relación entre los campos gravitacionales, representados en el tensor métrico y sus derivadas, y las propiedades de la materia. En este sentido, el postulado de la conservación local de la energía juega un papel fundamental.

Postulado 2: Existe un tensor simétrico $T^{\mu\nu} = T^{\mu\nu}(\psi_i, \nabla\psi_i)$ que es función de los campos de materia y sus derivadas, hasta un orden finito, tal que:

i) $T_{\mu\nu} = 0$ sobre el abierto $\mathcal{U} \subset \mathcal{M}$, si y solo si $\psi_i = 0$ para todo i sobre \mathcal{U} .

$$ii) \quad \nabla_\nu T^{\mu\nu} = 0. \quad (2.15)$$

El tensor \mathcal{T} se conoce con el nombre de tensor momentum-energía. La primera condición expresa que todos los campos de materia contribuyen a la energía. La segunda tiene asociada una ley de conservación si el espacio-tiempo admite un campo vectorial de Killing. En general la existencia de un vector de Killing implica la existencia de un mapeo isométrico del espacio-tiempo sobre sí mismo, lo cual significa que existe una cierta simetría intrínseca en ese espacio-tiempo [20]. Se dice que un campo vectorial ξ^α es un campo de Killing (con respecto a $g_{\mu\nu}$) si la derivada de Lie de la métrica, dada por

$$\mathcal{L}_\xi g_{\mu\nu} = \xi^\kappa \nabla_\kappa g_{\mu\nu} + g_{\mu\kappa} \nabla_\nu \xi^\kappa + g_{\kappa\nu} \nabla_\mu \xi^\kappa, \quad (2.16)$$

es nula. Teniendo en cuenta (2.6), esto equivale a que ξ satisfaga la *ecuación de Killing*,

$$\nabla_\mu \xi_\nu + \nabla_\nu \xi_\mu = 0. \quad (2.17)$$

La ley de conservación mencionada está asociada con el siguiente lema [21]:

Lema 2.2.1. Sean $T_{\mu\nu}$ un tensor simétrico libre de divergencia, $\nabla_\nu T^{\mu\nu} = 0$, y ξ_μ un campo de Killing. Entonces $\nabla_\nu (\xi_\mu T^{\mu\nu}) = 0$.

Prueba: Puesto que T es simétrico

$$\nabla_\nu (\xi_\mu T^{\mu\nu}) = \nabla_{(\mu} \xi_{\nu)} T^{\mu\nu} + \xi_\mu \nabla_\nu T^{\mu\nu}.$$

Entonces, debido a la antisimetría de $\nabla_\mu \xi_\nu$ y a que \mathcal{T} es libre de divergencia,

$$\nabla_\nu (\xi_\mu T^{\mu\nu}) = 0. \quad (2.18)$$

Así, si \mathcal{D} es una región compacta y orientable, por el teorema de Gauss se tiene que

$$\int_{\partial\mathcal{D}} \xi_\nu T^{\mu\nu} d\Sigma_\mu = 0, \quad (2.19)$$

por lo tanto el flujo de la componente del tensor momentum-energía en la dirección del campo de Killing sobre una superficie cerrada se anula, lo cual representa una generalización del teorema de Noether. En el caso particular de una variedad lorentziana plana, los diez vectores de Killing están asociados con la conservación de la energía, el momentum y el momentum angular [13]. Sobre esto se volverá cuando se trate el problema de la dinámica de los cuerpos en Relatividad General .

Finalmente las ecuaciones de campo de Einstein fijan una relación entre la curvatura asociada con la métrica y los campos de materia.

Postulado 3: La métrica sobre una variedad espacio-tiempo (\mathcal{M}, g) está determinada por las ecuaciones de campo de Einstein

$$R_{\mu\nu} - \frac{1}{2}g_{\mu\nu}R = -\frac{8\pi G}{c^4}T_{\mu\nu}, \quad (2.20)$$

siendo $R_{\mu\nu}$ el tensor de Ricci, el cual se obtiene a partir del tensor de curvatura de Riemann por $R_{\mu\nu} = R_{\mu\lambda\nu}^{\lambda}$, R el escalar de curvatura ($R = g^{\mu\nu}R_{\mu\nu}$), G la constante de gravitación universal y c la velocidad de la luz en el vacío.

El lado izquierdo de la ecuación (2.20), definido como el tensor de Einstein $G_{\mu\nu}$, tiene la restricción geométrica

$$\nabla_{\nu}G^{\mu\nu} = 0, \quad (2.21)$$

la cual se deduce de las *identidades de Bianchi* para el tensor de Riemann (2.12).

El tensor $G_{\mu\nu}$ tiene diez componentes independientes debido a su simetría, entonces las Ecuaciones de campo de Einstein representan un sistema de diez ecuaciones diferenciales acopladas no lineales para la métrica y sus derivadas. El tensor métrico también tiene diez componentes algebraicas independientes, lo que debería garantizar que, bajo condiciones de frontera apropiadas, las Ecuaciones de campo de Einstein sean suficientes para determinar el tensor métrico unívocamente. Sin embargo, esto no es cierto pues las identidades de Bianchi (2.21) reducen las ecuaciones independientes a seis, proporcionando cuatro grados de libertad en las diez componentes desconocidas de la métrica. Esta libertad gauge corresponde al hecho de que si $g_{\mu\nu}$ es una solución de las ecuaciones de campo, también lo es $g'_{\mu\nu}$, la cual se determina a partir de $g_{\mu\nu}$ por una transformación general de coordenadas $x \rightarrow x'$. Esta transformación involucra cuatro funciones arbitrarias $x'^{\mu}(x)$, que aportan cuatro grados de libertad a las soluciones de (2.20) [10].

De las identidades de Bianchi también se tiene que las Ecuaciones de campo de Einstein implican la conservación local de la energía (Postulado 2), por lo tanto la no linealidad de la relación entre el campo g y sus fuentes \mathcal{T} es necesaria para que g pueda mediar una interacción entre ellas [22], entendiendolas

siempre como cualquier distribución de materia-energía. Esto quiere decir que el campo gravitacional en un punto del espacio-tiempo no corresponde a la superposición de los campos generados por cada fuente, pues la presencia de una afecta la geometría y, por tanto, el movimiento de la otra, ocasionando así que el campo generado por la última dependa de esa presencia. Esto también vale para un solo cuerpo que no sea de prueba, en el entendido que su propio movimiento “interno” afecta el campo que genera.

2.3. La función de mundo

Una herramienta bastante útil en el estudio del movimiento de los cuerpos, especialmente cuando se trata de movimiento relativo, es la función de mundo introducida por Synge en el cálculo tensorial [2]. Esta representa una función tensorial de dos puntos en el espacio-tiempo y es invariante bajo transformaciones de coordenadas en cada uno de ellos. Su importancia radica en que proporciona una medida de distancia entre dos puntos unidos por una geodésica.

Sean $P_1(x_1)$ y $P_2(x_2)$ dos puntos en el espacio-tiempo, unidos por una geodésica γ con ecuación $z^\mu = z^\mu(u)$, donde u es un parámetro afín que va desde u_1 hasta u_2 (figura 2.1(a)). Entonces la integral

$$\Omega(P_1, P_2) = \Omega(x_1, x_2) = \frac{1}{2}(u_2 - u_1) \int_{u_1}^{u_2} g_{\mu\nu} U^\mu U^\nu du, \quad (2.22)$$

tomada a lo largo de γ , con $U^\mu = dz^\mu/du$ el vector tangente a la geodésica, tiene un valor independiente del parámetro afín particular escogido. Si P_2 pertenece a la vecindad convexa normal $\mathcal{N}(P_1)$, es decir al conjunto de puntos que están unidos a P_1 por una única geodésica, entonces Ω es una función de las ocho variables x_1^μ, x_2^μ y se denominará la *función de mundo* del espacio-tiempo.

En virtud de la ecuación de la geodésica (2.14), $\frac{\delta U^\mu}{\delta u} = 0$, se tiene que la cantidad $g_{\mu\nu} U^\mu U^\nu$ es constante. Entonces, si la geodésica es temporal, el parámetro afín puede ser igualado al tiempo propio τ , luego $\Omega = -\frac{1}{2}(c\Delta\tau)^2$. Si la geodésica es espacial entonces el parámetro puede igualarse a la distancia propia s , así $\Omega = \frac{1}{2}(\Delta s)^2$. Si la geodésica es nula entonces $\Omega = 0$. En general la función de mundo es la mitad del cuadrado de la distancia geodésica entre sus argumentos [23].

En el caso de un espacio-tiempo plano, la geodésica que une P_1 y P_2 es una línea recta, entonces en coordenadas lorentzianas la función de mundo toma la forma:

$$\Omega(x_1, x_2) = \frac{1}{2}\eta_{\mu\nu}(x_2 - x_1)^\mu(x_2 - x_1)^\nu. \quad (2.23)$$

Con el fin de comprender las propiedades de transformación de la función de mundo, considérese dos sistemas de coordenadas, C_1 y C_2 , en los dominios D_1 y D_2 del espacio-tiempo (figura 2.1(b)). Estos dominios se sobrelapan, y en la intersección existe una transformación suave $C_1 \leftrightarrow C_2$. El punto P_1 se

localiza en el dominio D_1 y tiene coordenadas x_1^μ en el sistema C_1 , mientras que P_2 se encuentra en el dominio D_2 con coordenadas x_2^μ en el sistema C_2 . Entonces la expresión (2.22) es válida si se divide la integral en dos partes en algún punto de la intersección y se utiliza para cada una las coordenadas C_1 y C_2 , respectivamente. Se dice, entonces, que la función de mundo es un invariante de dos puntos en el sentido de que su valor no cambia si se transforma independientemente el sistema de coordenadas en D_1 y D_2 .

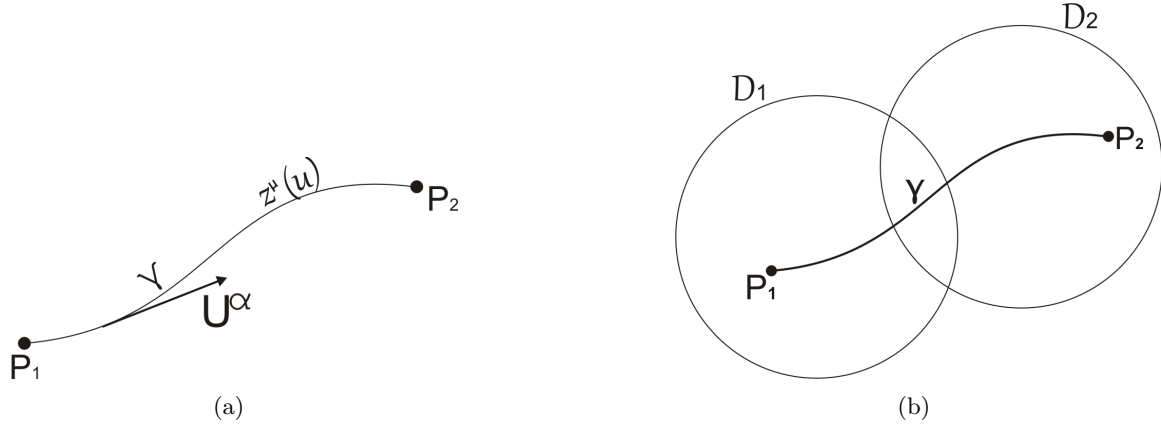


Figura 2.1: (a) Los puntos P_1 y P_2 unidos por una geodésica γ descrita por la relación $z^\mu(u)$. U^α es el vector tangente a la geodésica. (b) Los dominios D_1 y D_2 conteniendo los puntos P_1 y P_2 respectivamente, cada uno con sistema de coordenadas C_1 y C_2 . Los puntos son unidos por una geodésica γ que atraviesa el solapamiento de los dos dominios, donde hay una transformación suave $C_1 \leftrightarrow C_2$

La utilidad de la función de mundo para el tratamiento del movimiento de los cuerpos viene dada, principalmente, por sus derivadas covariantes, pues estas están relacionadas con los vectores tangentes a las geodésicas y los propagadores de Jacobi para campos vectoriales.

2.3.1. Diferenciación de la función de mundo

Considérese un invariante de dos puntos I , como es el caso de la función de mundo. La diferenciación covariante puede realizarse con respecto a las coordenadas en P_1 o en P_2 . Se admite la notación de Synge, en la cual las derivadas covariantes de estos invariantes se asocian con subíndices, cuyo orden indica el orden de las operaciones. En el caso en que la diferenciación se realice respecto a P_1 , el grupo de subíndices corresponderá a α, β, \dots , si se hace respecto a P_2 se tomará κ, λ, \dots . Las expresiones están dadas por:

$$I_\alpha = \partial_\alpha I, \quad I_{\alpha\beta} = \partial_\beta I_\alpha - \Gamma_{\alpha\beta}^\delta I_\delta, \quad (2.24)$$

donde los símbolos de Christoffel son evaluados en P_1 , y

$$I_\kappa = \partial_\kappa I, \quad I_{\kappa\lambda} = \partial_\lambda I_\kappa - \Gamma_{\kappa\lambda}^\mu I_\mu, \quad (2.25)$$

donde los símbolos de Christoffel son evaluados en P_2 . Es importante tener en cuenta que las cantidades son funciones de las coordenadas x_1 y x_2 , y son tensores de dos puntos. Además, las cantidades en (2.24) son un vector dual y un tensor covariante de segundo rango con respecto a transformaciones en P_1 , pero son invariantes con respecto a transformaciones en P_2 . Las diferenciaciones mixtas están dadas por:

$$I_{\alpha\kappa} = \partial_\kappa I_\alpha, \quad I_{\kappa\alpha} = \partial_\alpha I_\kappa. \quad (2.26)$$

De esta forma el orden en el que aparecen los índices determina el orden en el cual se realiza la diferenciación.

Cada una de las cantidades en (2.26) representa un vector dual bajo una u otra transformación. Adicionalmente, el ejercicio de subir y bajar índices se puede realizar con $g^{\alpha\beta}$ en P_1 y con $g^{\kappa\lambda}$ en P_2 , de la siguiente forma:

$$I^\alpha = g^{\alpha\beta} I_\beta, \quad I^\kappa = g^{\kappa\lambda} I_\lambda. \quad (2.27)$$

A partir de (2.24-2.26) se cumple que $I_{\kappa\alpha} = I_{\alpha\kappa}$.

Con el fin de evaluar las derivadas de la función de mundo se examina la forma en que cambia Ω cuando uno de sus puntos extremos varía [23]. Entonces, manteniendo fijo x_2 en (2.22) y variando x_1 como $x_1 \rightarrow x_1 + \delta x_1$, del cálculo variacional se obtiene, a primer orden en las variaciones,

$$\begin{aligned} \delta\Omega &= \frac{1}{2}(u_2 - u_1) \int_{u_1}^{u_2} \left[\partial_\gamma g_{\alpha\beta} \frac{dz^\alpha}{du} \frac{dz^\beta}{du} \delta z^\gamma + g_{\alpha\beta} \frac{d(\delta z^\alpha)}{du} \frac{dz^\beta}{du} + g_{\alpha\beta} \frac{dz^\alpha}{du} \frac{d(\delta z^\beta)}{du} \right] du \\ &= (u_2 - u_1) \int_{u_1}^{u_2} \left[\frac{1}{2} \partial_\gamma g_{\alpha\beta} \frac{dz^\alpha}{du} \frac{dz^\beta}{du} \delta z^\gamma + g_{\alpha\beta} \frac{dz^\alpha}{du} \frac{d(\delta z^\beta)}{du} \right] du. \end{aligned} \quad (2.28)$$

El último término de la integral puede ser integrado por partes tal que

$$\int_{u_1}^{u_2} g_{\alpha\beta} \frac{dz^\alpha}{du} \frac{d(\delta z^\beta)}{du} du = \left[g_{\alpha\beta} U^\alpha \delta z^\beta \right]_{u_1}^{u_2} - \int_{u_1}^{u_2} \left[\frac{dg_{\alpha\beta}}{du} \frac{dz^\alpha}{du} + g_{\alpha\beta} \frac{d^2 z^\alpha}{du^2} \right] \delta z^\beta du, \quad (2.29)$$

entonces

$$\delta\Omega = (u_2 - u_1) \left\{ \left[g_{\alpha\beta} U^\alpha \delta z^\beta \right]_{u_1}^{u_2} - \int_{u_1}^{u_2} \left[g_{\alpha\beta} \frac{d^2 z^\alpha}{du^2} \delta z^\beta + \partial_\gamma g_{\alpha\beta} \frac{dz^\alpha}{du} \frac{dz^\gamma}{du} \delta z^\beta - \frac{1}{2} \partial_\gamma g_{\alpha\beta} \frac{dz^\alpha}{du} \frac{dz^\beta}{du} \delta z^\gamma \right] du \right\}. \quad (2.30)$$

Los últimos dos términos se pueden redistribuir para obtener los símbolos de Christoffel de primera clase,

$$\Gamma_{\gamma\alpha\beta} = \frac{1}{2} (\partial_\alpha g_{\beta\gamma} + \partial_\beta g_{\alpha\gamma} - \partial_\gamma g_{\alpha\beta}). \quad (2.31)$$

Así, al hacer uso de la ecuación de las geodésicas (2.13 y 2.14), se obtiene

$$\delta\Omega = (u_2 - u_1) \left[g_{\alpha\beta} U^\alpha \delta z^\beta \right]_{u_1}^{u_2} - (u_2 - u_1) \int_{u_1}^{u_2} g_{\alpha\beta} \frac{\delta U^\alpha}{\delta u} \delta z^\beta du. \quad (2.32)$$

El último término se anula teniendo en cuenta que la curva que une los puntos es una geodésica. Debido a que $\delta z(u_1) = \delta x_1$ y $\delta z(u_2) = \delta x_2 = 0$, la variación de la función de mundo cumple

$$\frac{\partial\Omega}{\partial x_1^\beta} = -(u_2 - u_1) g_{\alpha\beta} U^\alpha. \quad (2.33)$$

Entonces la derivada covariante de Ω en el punto P_1 está dada por

$$\Omega_\alpha = -u U_\alpha, \quad (2.34)$$

con $u = u_2 - u_1$. Se puede observar que Ω^α es un vector tangente a la geodésica en P_1 , reescalado por u .

Un cálculo similar se sigue al mantener fijo x_1 y variar $x_2 \rightarrow x_2 + \delta x_2$. En este caso $\delta z(u_1) = 0$ y $\delta z(u_2) = \delta x_2$, luego

$$\Omega_\kappa = u U_\kappa. \quad (2.35)$$

Volviendo a la definición de la función de mundo (2.22), esta se puede integrar directamente si se considera que $g_{\alpha\beta} U^\alpha U^\beta = cte.$ a lo largo de γ , debido a la condición de geodésica, así

$$\Omega(P_1, P_2) = \frac{1}{2} (u_2 - u_1)^2 g_{\mu\nu} U^\mu U^\nu. \quad (2.36)$$

Sustituyendo las expresiones (2.34) o (2.35), se obtiene dos ecuaciones diferenciales parciales para la función de mundo, a saber

$$2\Omega = g^{\alpha\beta} \Omega_\alpha \Omega_\beta \quad \text{y} \quad 2\Omega = g^{\kappa\lambda} \Omega_\kappa \Omega_\lambda, \quad (2.37)$$

de donde se deduce que Ω^α es un vector tangente a la geodésica con su longitud igual a la de la geodésica [23]. Al derivar (2.37) se obtiene

$$\Omega^\alpha = \Omega^\alpha_\beta \Omega^\beta, \quad \Omega^\kappa = \Omega^\kappa_\alpha \Omega^\alpha, \quad \Omega^\kappa = \Omega^\kappa_\lambda \Omega^\lambda. \quad (2.38)$$

Considérese ahora los límites de las derivadas covariantes de la función de mundo cuando los dos puntos P_1 y P_2 tienden a coincidir. Entonces $P_1 \rightarrow P_2$ implica $x_1 \rightarrow x_2$. Estos límites se denominan *límites de coincidencia* y son útiles solo si son independientes del camino por el cual P_1 tiende a P_2 . Además, los límites son funciones tensoriales de un solo punto [2]. Partiendo de (2.36), (2.34) y (2.35), se observa que

$$\lim_{P_1 \rightarrow P_2} \Omega = 0, \quad \lim_{P_1 \rightarrow P_2} \Omega^\alpha = \lim_{P_1 \rightarrow P_2} \Omega^\kappa = 0. \quad (2.39)$$

Al reemplazar las ecuaciones (2.34) y (2.35) en (2.38), se obtienen las relaciones

$$U^\alpha = \Omega^\alpha_\beta U^\beta, \quad g_{\alpha\beta} U^\beta = \Omega_{\alpha\beta} U^\beta. \quad (2.40)$$

Debido a que los límites de coincidencia son independientes del camino, entonces son independientes del límite de U^α , luego

$$\lim_{P_1 \rightarrow P_2} \Omega^\alpha_\beta = \delta^\alpha_\beta, \quad \lim_{P_1 \rightarrow P_2} \Omega_{\alpha\beta} = g_{\alpha\beta}. \quad (2.41)$$

Tanto las ecuaciones diferenciales como los límites de la función de mundo son fundamentales cuando esta se aplica a métodos de expansión de campos tensoriales [23] o en métodos de aproximación en la Teoría de Gravitación de Einstein [24].

Finalmente, la interpretación de la derivada de la función de mundo como el vector tangente al punto respecto a cuyas coordenadas se deriva, la convierten en una herramienta adicional que permite definir las *coordenadas normales de Riemann*, con respecto a las cuales se anulan las componentes de la conexión en el punto origen, y que corresponden a un sistema de referencia localmente inercial asociado a una partícula en caída libre [11–13, 23].

2.4. La ecuación de desvío geodésico

Siguiendo [2, 8] se procederá a hacer una descripción de la *ecuación de desvío geodésico*, la cual da cuenta de la curvatura en una variedad y se constituye en la base para determinar la evolución de los campos vectoriales en ella.

Considérese un conjunto singular infinito de curvas $\gamma(v)$ con ecuaciones $x^\mu = x^\mu(u, v)$, donde v es constante a lo largo de cada curva. Las curvas $\gamma(v)$ tienen como parámetro afín a u y están unidas por curvas parametrizadas por v . El objetivo es hallar la desviación de cada punto entre $\gamma(v)$ y $\gamma(v + \delta v)$, donde el conjunto de curvas forma un biespacio (figura 2.2).

Sean U^α y V^α dos campos vectoriales tangentes a cada conjunto de curvas tal que

$$U^\alpha = \frac{\partial x^\alpha}{\partial u}, \quad V^\alpha = \frac{\partial x^\alpha}{\partial v}. \quad (2.42)$$

Entonces la expresión para la aceleración del vector desviación V^α (o, lo que es equivalente, del vector desviación infinitesimal $\eta^\alpha = V^\alpha \delta v$), se obtiene a partir de la segunda derivada direccional $\delta V^\alpha / \delta u$. Las derivadas direccionales de estos campos vectoriales respecto a u y v cumplen

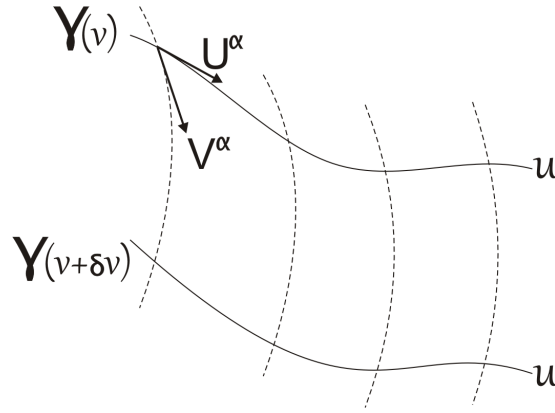


Figura 2.2: Conjunto de geodésicas con parámetro afín u , cada una de ellas con un valor de v constante. La evolución del vector V^α proporciona una medida de la desviación de las geodésicas.

$$\frac{\delta U^\alpha}{\delta v} = \frac{\delta V^\alpha}{\delta u}, \quad (2.43)$$

lo que resulta de reconocer su carácter tensorial y su validez en un sistema de coordenadas local donde los símbolos de Christoffel se anulan [2]. Es decir, en cada punto de cruce entre las curvas siempre se pueden elegir los campos vectoriales tal que

$$[U^\alpha, V^\beta] = U^\alpha V^\beta - U^\beta V^\alpha = 0. \quad (2.44)$$

Entonces

$$\frac{\delta^2 V^\alpha}{\delta u^2} = \frac{\delta^2 U^\alpha}{\delta u \delta v}. \quad (2.45)$$

A partir de la regla de conmutación (2.8) y de la definición de derivada direccional, se sigue

$$\frac{\delta^2 U^\alpha}{\delta u \delta v} - \frac{\delta^2 U^\alpha}{\delta v \delta u} + \left(\frac{\delta V^\beta}{\delta u} - \frac{\delta U^\beta}{\delta v} \right) \nabla_\beta U^\alpha = R^\alpha_{\beta\gamma\delta} U^\beta U^\gamma V^\delta. \quad (2.46)$$

Reemplazando las expresiones (2.43) y (2.45), se obtiene finalmente

$$\frac{\delta^2 V^\alpha}{\delta u^2} = \frac{\delta^2 U^\alpha}{\delta v \delta u} + R^\alpha_{\beta\gamma\delta} U^\beta U^\gamma V^\delta. \quad (2.47)$$

Desde el punto de vista del principio de equivalencia, esta ecuación es importante pues representaría la desviación de las geodésicas, lo que aseguraría la existencia de un campo gravitacional. Según este principio los experimentos que involucran gravedad conducen a resultados idénticos a los realizados en un sistema que se mueve aceleradamente (esto localmente). Entonces dos sistemas en cada contexto serían indistinguibles.

Para probar la existencia de efectos gravitacionales, se analizan las trayectorias de los cuerpos que caen bajo la influencia de estos. Por ejemplo, si dos cuerpos caen libremente en un campo gravitacional central, como el de la Tierra, la separación entre sus trayectorias disminuye continuamente de forma no lineal. Esto no ocurre en un sistema sobre el cual el campo gravitacional es uniforme [8].

Como se mencionó en la sección (2.1), partículas en caída libre en distintas regiones del espacio-tiempo están aceleradas una con respecto a la otra. En Relatividad General, las trayectorias seguidas por partículas libres son geodésicas, así que para ver los efectos gravitacionales es necesario hallar la aceleración del vector desviación entre ellas. Esta aceleración contendrá, entonces, la información de la curvatura del espacio-tiempo.

En el caso de curvas geodésicas se cumple (2.13); bajo este resultado y las propiedades de simetría del tensor de Riemann (2.11), la ecuación de desvío geodésico toma la siguiente forma:

$$\frac{\delta^2 V^\mu}{\delta u^2} + R^\mu{}_{\nu\kappa\lambda} U^\nu U^\lambda V^\kappa = 0. \quad (2.48)$$

Una solución a esta ecuación se determina al suministrar los valores de V^μ y $\delta V^\mu/\delta u$ para un valor fijo de u . Para ver esto considérese la derivada covariante de la función de mundo (2.34), tomando como valor inicial $z(v) = x(0, v)$ y derivando en ese punto, entonces

$$\Omega^\alpha(z(0, v), x(u, v)) = -uU^\alpha, \quad (2.49)$$

cuya derivada direccional respecto a v , teniendo en cuenta que la diferenciación actúa sobre cada argumento separadamente, está dada por

$$\Omega^\alpha{}_\beta V^\beta + \Omega^\alpha{}_\kappa V^\kappa = -u \frac{\delta U^\alpha}{\delta v}. \quad (2.50)$$

Multiplicando por $(\Omega^\kappa{}_\alpha)^{-1}$, definida como la inversa de la matriz $\Omega^\alpha{}_\kappa$, y aplicando (2.43) se tiene

$$V^\kappa = (-\Omega^\kappa{}_\alpha)^{-1} \Omega^\alpha{}_\beta V^\beta - u (\Omega^\kappa{}_\alpha)^{-1} \frac{\delta V^\alpha}{\delta u}. \quad (2.51)$$

Si se considera esta ecuación con $v = 0$, entonces $x(u, 0)$ representa una geodésica γ a lo largo de la cual el vector $V^\kappa(u, 0)$ satisface la ecuación de desvío geodésico con valores iniciales de V^κ y su derivada calculados en $u = 0$. Sin embargo, si se escoge una familia de geodésicas adecuada, γ puede asumirse como una geodésica arbitraria con valores iniciales arbitrarios V^α y $\delta V^\alpha/\delta u$. Por lo tanto, la expresión (2.51) es la solución formal de la ecuación de desvío geodésico (2.48) [25, 26].

En este punto es importante notar que un campo vectorial de Killing, fundamental en el estudio de cantidades conservadas (lema 2.2.1), satisface la ecuación (2.48). Para mostrarlo considérese la segunda derivada del campo de Killing ξ^κ ,

$$\frac{\delta^2 \xi^\kappa}{\delta u^2} = U^\mu \nabla_\mu (U^\nu \nabla_\nu \xi^\kappa), \quad (2.52)$$

puesto que la derivada covariante es leibniziana se cumple

$$\frac{\delta^2 \xi^\kappa}{\delta u^2} = \frac{\delta U^\nu}{\delta u} \nabla_\nu \xi^\kappa + U^\mu U^\nu \nabla_{\nu\mu} \xi^\kappa. \quad (2.53)$$

donde $\delta U^\nu / \delta u = 0$ por la condición de curvas geodésicas, así

$$\frac{\delta^2 \xi^\kappa}{\delta u^2} = U^\mu U^\nu \nabla_{\nu\mu} \xi^\kappa. \quad (2.54)$$

De acuerdo con la ecuación (2.8) un campo vectorial de Killing satisface

$$\nabla_{\mu\nu} \xi_\kappa - \nabla_{\nu\mu} \xi_\kappa = R_{\lambda\kappa\mu\nu} \xi^\lambda. \quad (2.55)$$

Aplicando las ecuaciones de simetría del tensor de Riemann (2.11) y la ecuación de Killing (2.17), se tiene

$$\nabla_{\mu\nu} \xi_\kappa + \nabla_{\nu\kappa} \xi_\mu - \nabla_{\nu\mu} \xi_\kappa = 0, \quad (2.56)$$

luego

$$\nabla_{\mu\nu} \xi_\kappa = R_{\kappa\mu\nu\lambda} \xi^\lambda. \quad (2.57)$$

Por lo tanto, al reemplazar en la ecuación (2.54), esta se reduce a

$$\frac{\delta^2 \xi^\kappa}{\delta u^2} + R^\kappa_{\lambda\mu\nu} U^\lambda U^\nu \xi^\mu = 0, \quad (2.58)$$

concluyendo que un campo vectorial de Killing satisface la ecuación de desvío geodésico. Entonces, los valores de ξ^α y $\frac{\delta \xi^\alpha}{\delta u}$ pueden ser usados para hallar ξ^κ en otro punto. Debido a (2.51), la solución a (2.58) con valores iniciales conocidos se puede escribir como

$$\xi^\kappa = (-\Omega^\kappa_\alpha)^{-1} \Omega^\alpha_\beta \xi^\beta - u (\Omega^\kappa_\alpha)^{-1} \frac{\delta \xi^\alpha}{\delta u}. \quad (2.59)$$

Las derivadas de la función de mundo en (2.51) son llamadas los *propagadores de Jacobi* y los campos que satisfacen (2.48) a lo largo de la geodésica se denominan *campos de Jacobi*. Para los propagadores se utilizará la siguiente notación:

$$H^\kappa_\alpha \equiv (-\Omega^\alpha_\kappa)^{-1}, \quad K^\kappa_\alpha \equiv H^\kappa_\beta \Omega^\beta_\alpha, \quad (2.60)$$

cuyos límites de coincidencia están dados por

$$\lim_{x \rightarrow z} H^\kappa_\alpha = \lim_{x \rightarrow z} K^\kappa_\alpha = \delta^\kappa_\alpha. \quad (2.61)$$

Con esta notación y empleando las expresiones (2.4), (2.17) y (2.34), la ecuación (2.59) toma la forma

$$\xi_\kappa(x) = K_\kappa^\alpha \xi_\alpha(z) + H_\kappa^\alpha \Omega^\beta \nabla_{[\alpha} \xi_{\beta]}(z). \quad (2.62)$$

Finalmente, un campo vectorial ξ^κ , no necesariamente de Killing, que satisfaga la ecuación (2.51) deja a Ω^α invariante bajo la derivada de Lie. Haciendo actuar esta derivada sobre cada parámetro de Ω^α de forma separada, se tiene

$$\mathcal{L}_\xi \Omega^\alpha = \xi^\beta \Omega^\alpha_{\beta} + \xi^\kappa \Omega^\alpha_{\kappa} - \Omega^\beta \nabla_\beta \xi^\alpha, \quad (2.63)$$

lo cual se anula pues es igual a la ecuación (2.50) [26].

Dinámica de los cuerpos extendidos

El propósito de este capítulo es presentar un método general que permita describir la dinámica de sistemas de cuerpos extendidos aislados, dotados de una estructura interna y con dimensiones finitas.

En el marco de la Teoría de Gravitación de Einstein un cuerpo físico está descrito por una región cuatridimensional del espacio-tiempo. Sin embargo, esta región no es independiente de la relación íntima que existe entre gravedad y geometría; por el contrario, hace parte de ella, es decir, está sujeta a la existencia misma del espacio-tiempo. Esto genera cierta dificultad para establecer las leyes de movimiento del cuerpo, pues su trayectoria, denominada *línea de mundo*, se ve afectada por la geometría que depende de la distribución de momentum-energía de otros cuerpos, de él mismo y del campo gravitacional. Adicionalmente, se debe determinar si la línea de mundo es una geodésica, y si puede ser asociada con un centro de masa definido a partir de los momentos multipolares del cuerpo.

Con el fin de relacionar la línea de mundo con un centro de masa se considera el programa que se sigue en la Teoría de Gravedad de Newton. En efecto, la teoría admite que los cuerpos sean representados por puntos dotados de masa, lo cual tiene su fundamento en las leyes de Newton. Esto permite definir el sistema centro de masa, respecto al cual se analizan los movimientos de las componentes del cuerpo, y un sistema de referencia global que de cuenta del movimiento del cuerpo como un todo. El programa ha sido ampliamente desarrollado y hace parte de un tratamiento clásico [27, 28], cuya intención principal es descomponer el problema en dos: el problema externo, donde se determina el movimiento de los centros de masa de cada cuerpo, y el problema interno, donde se trata el movimiento de cada cuerpo alrededor de su centro de masa. En el primero de ellos, el efecto dominante se debe a los potenciales gravitacionales generados por los objetos restantes; la estructura de cada cuerpo tiene una influencia secundaria en el movimiento de los centros de masa, de tal forma que el problema se aproxima al de

una partícula puntual. En el segundo caso, las fuerzas internas, debidas a presiones y esfuerzos, junto a las fuerzas inerciales cumplen un papel más importante que el de las fuerzas de marea generadas por los potenciales gravitacionales de los cuerpos restantes. Como resultado final se obtendría un conjunto de ecuaciones diferenciales que darían cuenta del movimiento de los cuerpos.

A pesar de las relaciones que se puedan establecer entre los métodos desarrollados en la teoría de Newton y los correspondientes a la teoría de Einstein, las dificultades técnicas y conceptuales de esta última han sido un obstáculo en el estudio de la dinámica de los cuerpos. Adicionalmente, un intento por asociar los conceptos propios de cada teoría puede ser peligroso, ya que esto en ocasiones conduce a una interpretación newtoniana de la Teoría de Gravitación de Einstein, por ejemplo, en lo relacionado con la estructura del espacio-tiempo y la definición de cuerpo extendido. Sin embargo, esto no ha sido un impedimento para que, desde el nacimiento de la Relatividad General, el problema haya sido atacado, logrando avances significativos que, aunque no han conducido a una solución definitiva, han permitido responder satisfactoriamente a las observaciones astronómicas. Uno de los acercamientos generales más conocidos es el desarrollado por Dixon [1, 25, 29, 30], quien traza un programa que emula el newtoniano, definiendo centro de masa, momentum, momentum angular, fuerza y torque relativistas. Este tratamiento será un fundamento importante a lo largo de este trabajo y es el objeto del presente capítulo.

3.1. Dinámica de los cuerpos extendidos en Mecánica Newtoniana

Como se mencionó anteriormente, se pretende estudiar un sistema aislado compuesto por un número finito de cuerpos cuya longitud característica individual es mucho menor que las separaciones mutuas, pero lo suficientemente grande para que la estructura interna de cada objeto deba ser considerada. La condición relacionada con el aislamiento del sistema tiene su fundamento en la jerarquía que involucra la influencia gravitacional de los cuerpos que constituyen el universo, por ejemplo, se puede argumentar que las estrellas de las galaxias generan solo fuerzas de marea despreciables sobre el sistema solar, dejando su dinámica interna inalterada, aunque puede afectar el movimiento total del sistema [28].

El fundamento del programa newtoniano, descrito por diferentes autores [14] [1] [28], es considerar el movimiento de cada cuerpo como un todo y caracterizarlo por un número finito de parámetros, tales como las coordenadas del centro de masa, los valores de sus masas, sus momentos de inercia, etc. Se requiere que estos parámetros sean suficientes para caracterizar las fuerzas ejercidas sobre otros cuerpos, los cuales determinan sus movimientos. En el problema tratado las fuerzas son gravitacionales, entonces los parámetros que caracterizan un cuerpo, como un todo, deben escogerse de tal manera que permitan una determinación precisa del campo gravitacional producido en la región que contiene los cuerpos. Para construir las ecuaciones de movimiento, es necesario establecer los grados de libertad que se proponen estudiar. Estos grados de libertad corresponden al movimiento traslacional de cada cuerpo y a la rotación de cada uno respecto a su centro de masa.

El punto de partida son las ecuaciones newtonianas que gobiernan el movimiento de una distribución de materia [1, 26]. Sean x_i las componentes del vector posición $\mathbf{x}(t)$ de un punto con respecto a un origen fijo y $\rho = \rho(t, \mathbf{x})$ la densidad de masa, restringida por un soporte compacto que consiste en N componentes conectadas que no se traslapan, siendo N el número de cuerpos del sistema. Las ecuaciones que describen la dinámica total del sistema, escritas en coordenadas rectangulares, son:

I) la ecuación de continuidad

$$\frac{\partial \rho}{\partial t} + \partial_i(\rho v_i) = 0, \quad (3.1)$$

con $v_i = \dot{x}_i(t, \mathbf{x})$ el campo de velocidades de la materia;

II) las ecuaciones de Euler para el movimiento local del fluido

$$\rho \left(\frac{\partial v_i}{\partial t} + v_j \partial_j v_i \right) = \partial_j \sigma_{ij} + \rho \partial_i \phi, \quad (3.2)$$

donde σ_{ij} es el tensor de esfuerzos, el cual es simétrico como consecuencia del balance de momentum angular [31], y ϕ es el potencial gravitacional; y

III) la ecuación de Poisson

$$\nabla^2 \phi = -4\pi G \rho. \quad (3.3)$$

El supuesto inicial de considerar un sistema finito aislado puede interpretarse como una caída del potencial gravitacional fuera del sistema, tal que

$$\lim_{\substack{|\mathbf{x}| \rightarrow \infty \\ t = cte.}} \phi(t, \mathbf{x}) = 0, \quad (3.4)$$

lo cual se constituye en una condición de frontera para (3.3); por lo tanto, la única solución aceptable a la ecuación de Poisson es [32]:

$$\phi(t, \mathbf{x}) = G \int \frac{\rho(t, \mathbf{x}')}{|\mathbf{x} - \mathbf{x}'|} d^3 x'; \quad (3.5)$$

$|\mathbf{x}|$ y $d^3 x$ son la norma y el volumen euclidianos respectivamente.

La dinámica del sistema se describe por la evolución en el tiempo t de la densidad de masa y del campo de velocidades, gobernadas por (3.1) y (3.2), donde el tensor de esfuerzos y el potencial gravitacional pueden escribirse en términos de ρ . De esta manera, el problema se reduce a solucionar las ecuaciones

acopladas (3.1-3.3).

La suposición de un sistema compuesto por cuerpos distantes permite encontrar una expresión, de forma aproximada, para la ecuación de movimiento de cada cuerpo. Esto se logra realizando una expansión multipolar de la masa, el momentum y los esfuerzos, respecto a cierto origen, y tomando los términos hasta el orden que se requiera. El proceso es fundamental en la separación del problema en uno externo y uno interno, técnica propuesta por Tisserand [27].

3.1.1. Momentos de masa, de momentum y de esfuerzos

La validez de la expansión multipolar que se lleva a cabo en esta instancia radica en la completez del conjunto de los momentos que determinan una función escalar. Supóngase que la función escalar $f : \mathbb{R}^3 \rightarrow \mathbb{R}$ tiene soporte compacto¹, entonces sus momentos con respecto al origen se definen como:

$$F^{a_1 \dots a_n} \equiv \int x^{a_1} \dots x^{a_n} f(\mathbf{x}) d^3 x. \quad (3.6)$$

La función se puede expresar en términos de sus momentos a través de la transformada de Fourier, a saber

$$\tilde{f}(\mathbf{k}) = \int f(\mathbf{x}) e^{i\mathbf{k} \cdot \mathbf{x}} d^3 x. \quad (3.7)$$

Expandiendo la función exponencial,

$$\begin{aligned} \tilde{f}(\mathbf{k}) &= \sum_{n=0}^{\infty} \int f(\mathbf{x}) \frac{i^n}{n!} k_{a_1} \dots k_{a_n} x^{a_1} \dots x^{a_n} d^3 x \\ &= \sum_{n=0}^{\infty} \frac{i^n}{n!} k_{a_1} \dots k_{a_n} F^{a_1 \dots a_n}. \end{aligned} \quad (3.8)$$

Al tomar la transformada inversa,

$$f(\mathbf{x}) = \sum_{n=0}^{\infty} \left((2\pi)^{-3} \int \frac{i^n}{n!} k_{a_1} \dots k_{a_n} e^{-i\mathbf{k} \cdot \mathbf{x}} d^3 k \right) F^{a_1 \dots a_n}, \quad (3.9)$$

por lo tanto los momentos multipolares definidos en (3.6) describen completamente la función $f(\mathbf{x})$ [25]. Este resultado puede ser aplicado a las funciones densidad de masa, de momentum y de esfuerzos de sistemas localizados y acotados.

¹Una función tiene soporte compacto si se anula afuera de algún conjunto compacto contenido en el espacio. El soporte de una función f , $\text{supp}(f)$, es la clausura del conjunto donde $f(\mathbf{x}) \neq 0$. Esto garantiza que la función representa un objeto de tamaño finito.

Considérese un solo cuerpo afectado por el campo gravitacional generado por él mismo y por fuentes externas. Sea \mathbf{r} el vector relativo a un punto origen en movimiento \mathbf{z} , tal que sus componentes están dadas por

$$r_i(t) = x_i(t) - z_i(t). \quad (3.10)$$

Se definen los momentos de densidad de masa, de momentum y de esfuerzos, respectivamente, como

$$m_{a_1 a_2 \dots a_n} \equiv \int_V r_{a_1} r_{a_2} \dots r_{a_n} \rho d^3 x, \quad (3.11)$$

$$p_{a_1 a_2 \dots a_n b} \equiv \int_V r_{a_1} r_{a_2} \dots r_{a_n} \rho v_b d^3 x, \quad (3.12)$$

$$t_{a_1 a_2 \dots a_n bc} \equiv \int_V r_{a_1} r_{a_2} \dots r_{a_n} (\rho v_b v_c - \sigma_{bc}) d^3 x, \quad (3.13)$$

para cada entero $n \geq 0$, donde las integrales son tomadas sobre algún volumen espacial V que contiene al cuerpo estudiado. En (3.13) σ_{bc} representa el tensor simétrico de esfuerzos.

Teniendo en cuenta que la variación temporal de estas integrales es importante en el desarrollo de la ecuación de movimiento del cuerpo, es necesario notar que la derivada temporal de cualquier integral que incluya la densidad de masa cumple

$$\frac{d}{dt} \int f(t, \mathbf{x}) \rho(t, \mathbf{x}) d^3 x = \int \frac{df(t, \mathbf{x})}{dt} \rho(t, \mathbf{x}) d^3 x. \quad (3.14)$$

De acuerdo con la ecuación de continuidad (3.1) y aplicando la regla de la cadena, la función $f = f(t, \mathbf{x})$ satisface

$$\frac{\partial}{\partial t} (f \rho) + \partial_i (f \rho v_i) = \rho \frac{df}{dt}, \quad (3.15)$$

luego

$$\begin{aligned} \frac{d}{dt} \int f(t, \mathbf{x}) \rho(t, \mathbf{x}) d^3 x &= \int \frac{\partial}{\partial t} (f \rho) d^3 x \\ &= \int \rho \frac{df}{dt} d^3 x - \int \rho \partial_i (f \rho v_i) d^3 x. \end{aligned} \quad (3.16)$$

Teniendo como base el teorema de Gauss y asumiendo que la densidad de masa se anula en la frontera, el último término en la parte derecha de la ecuación se anula. De ahí que la expresión (3.14) se cumpla.

3.1.2. Centro de masa

La masa total y el centro de masa de un cuerpo, en un tiempo t , pueden ser definidas a partir de la ecuación (3.11). La masa representa el monopolo de densidad de masa,

$$m := \int_V \rho d^3x. \quad (3.17)$$

Se sigue de (3.14) que la masa se conserva, ya que

$$\frac{dm}{dt} = 0. \quad (3.18)$$

El centro de masa de un sistema, en mecánica clásica, se define como el punto con respecto al cual el momento dipolar de masa se anula [33],

$$m_a = 0. \quad (3.19)$$

Con el fin de establecer la existencia del centro de masa, supóngase que el punto origen z cumple

$$z_i(t) = \frac{\int_V x_i \rho(t, \mathbf{x}) d^3x}{\int_V \rho(t, \mathbf{x}) d^3x}; \quad (3.20)$$

por consiguiente, el momento dipolar (3.11) del sistema es

$$m_a = \int_V r_a \rho d^3x = \int_V x_a \rho d^3x - z_a \int_V \rho d^3x, \quad (3.21)$$

el cual se anula por (3.20), luego \mathbf{z} es el centro de masa.

La unicidad se establece considerando dos centros de masa z y z' , con respecto a los cuales las posiciones de un punto dentro del cuerpo son \mathbf{r} y \mathbf{r}' . Entonces, por definición se tendrá

$$\int_V r_i \rho d^3x = 0, \quad \int_V r'_i \rho d^3x' = 0, \quad (3.22)$$

con

$$r'_i = r_i - (z'_i - z_i); \quad (3.23)$$

combinando con (3.22), esto conduce a que $z'_i - z_i = 0$. Por lo tanto, el centro de masa es único.

Adicionalmente, el caracter positivo de la masa ($\rho \geq 0$) garantiza que el centro de masa sea un punto representativo adecuado para describir la posición del cuerpo, pues pertenece a su envolvente convexa.

En el espacio Euclidiano, un conjunto convexo se caracteriza por el requerimiento de que dos puntos cualesquiera, que pertenezcan a ese conjunto, pueden unirse por medio de una línea recta que pertenezca al conjunto [21]. La intersección de todos los conjuntos convexos que contienen al cuerpo (que está localizado) es un subconjunto convexo del espacio, denominado envolvente convexa. En geometría, la envolvente convexa de un subconjunto S del espacio coincide con el conjunto de los baricentros de los puntos de S , dotados de masa positiva [34]. Debido a la asociatividad del baricentro, se puede afirmar que este pertenece al subconjunto S que contiene al cuerpo. Es importante aclarar que el término *baricentro* usado en la presente sección corresponde al centro de masa de un sistema discreto o con densidad de masa homogénea.

Un resultado adicional que indica la conveniencia del centro de masa como punto representativo del cuerpo, se obtiene al analizar la variación del momento dipolar con respecto al tiempo. Derivando $m_a(t)$ y haciendo uso de la ecuación (3.14), se tiene que

$$\frac{dm_a}{dt} = \int_V \frac{dr_a}{dt} \rho d^3x, \quad (3.24)$$

lo cual representa el momentum lineal respecto al punto origen en \mathbf{z} . Reemplazando (3.10) en r_a ,

$$\frac{dm_a}{dt} = \int_V (v_a - \dot{z}_a) \rho d^3x, \quad (3.25)$$

y dada la definición (3.12),

$$\frac{dm_a}{dt} = p_a - m\dot{z}_a; \quad (3.26)$$

por lo tanto, bajo la definición clásica de centro de masa, se sigue que

$$p_a = m\dot{z}_a. \quad (3.27)$$

De ahí se puede interpretar que el momentum total de un sistema es igual al de una partícula, cuya masa es constante, igual a la masa total del sistema, y que se desplaza a la velocidad \dot{z}_a del centro de masa.

3.1.3. Fuerza y Torque

Considérese el momento correspondiente a la densidad de momentum para $n = 0$,

$$p_a = \int_V \rho v_a d^3x; \quad (3.28)$$

haciendo uso de la ecuación (3.14), la derivada con respecto al tiempo estará dada por

$$\frac{dp_a}{dt} = \int_V \rho \frac{dv_a}{dt} d^3x. \quad (3.29)$$

Al aplicar la regla de la cadena sobre la derivada temporal del campo de velocidades y reemplazándola por el término de la derecha de la ecuación (3.2), se obtiene

$$\frac{dp_a}{dt} = \int_V (\rho \partial_b \sigma_{ab} + \rho \partial_a \phi) d^3x; \quad (3.30)$$

de esta manera se define la fuerza, tal que

$$\frac{dp_a}{dt} \equiv F_a = \int_V (\rho \partial_b \sigma_{ab} + \rho \partial_a \phi) d^3x. \quad (3.31)$$

Gracias a la linealidad de la ecuación (3.3) se puede aplicar el principio de superposición para expresar el potencial gravitacional como la suma de un potencial gravitacional interno $\phi_{(s)}$, producido por el cuerpo estudiado, y un potencial gravitacional externo $\phi_{(e)}$, debido a los cuerpos restantes que componen el sistema. Entonces la fuerza se descompone en la fuerza interna total,

$$F_{a(s)} := \int_V (\rho \partial_b \sigma_{ab} + \rho \partial_a \phi_{(s)}) d^3x \quad (3.32)$$

y la fuerza externa total,

$$F_{a(e)} := \int_V \rho \partial_a \phi_{(e)} d^3x. \quad (3.33)$$

Sean A, B, C, \dots las etiquetas correspondientes a cada cuerpo, entonces

$$\phi_{(s)A}(t, \mathbf{x}) := G \int_{V_A} \frac{\rho(t, \mathbf{x}')}{|\mathbf{x} - \mathbf{x}'|} d^3x', \quad (3.34)$$

con $\mathbf{x} \in A$; y

$$\phi_{(e)A}(t, \mathbf{x}) := \sum_{B \neq A} G \int_{V_B} \frac{\rho(t, \mathbf{x}')}{|\mathbf{x} - \mathbf{x}'|} d^3x', \quad (3.35)$$

integrando sobre los cuerpos restantes.

Un análisis cuidadoso de la ecuación (3.32) da como resultado la nulidad de la fuerza interna total. Esto se debe a que el término de divergencia se anula, al aplicar el teorema de Gauss, pues σ_{ab} es cero en la frontera. Adicionalmente, de acuerdo con la ecuación (3.34), el último término en (3.32) es tal que

$$\int \rho(t, \mathbf{x}) \partial_a \phi_{(s)} d^3x = -G \int \int \frac{\rho(t, \mathbf{x}) \rho(t, \mathbf{x}')}{|\mathbf{x} - \mathbf{x}'|^3} (\mathbf{x} - \mathbf{x}')_a d^3x d^3x', \quad (3.36)$$

lo cual se anula debido a la antisimetría de la integral en \mathbf{x} y \mathbf{x}' , como se esperaba por cuenta de la tercera ley de Newton. En consecuencia, la fuerza total definida en (3.31), queda determinada por

$$F_a = \int_V \rho \partial_a \phi_{(e)} d^3x, \quad (3.37)$$

luego

$$\frac{dp_a}{dt} = \int_V \rho \partial_a \phi_{(e)} d^3x. \quad (3.38)$$

Para determinar el torque total, inicialmente se define el momentum angular total como la parte antisimétrica del dipolo de densidad de momentum (3.12) del cuerpo con respecto al punto origen $z_a(t)$, Entonces

$$S_{ab} \equiv 2p_{[ab]} = 2 \int_V \rho r_{[a} v_{b]} d^3x. \quad (3.39)$$

La derivada de p_{ab} con respecto al tiempo vendría dada por

$$\frac{dp_{ab}}{dt} = \int_V (r_a \dot{v}_b + \dot{r}_a v_b) \rho d^3x, \quad (3.40)$$

donde \dot{r}_a , es la velocidad relativa a z_a . Reemplazando r_a por la expresión (3.10), en la segunda integral, la ecuación (3.40) toma la forma

$$\frac{dp_{ab}}{dt} = \int_V (r_a \dot{v}_b + v_a v_b - \dot{z}_a v_b) \rho d^3x, \quad (3.41)$$

que se puede reescribir. por medio de la ecuación (3.2), como

$$\frac{dp_{ab}}{dt} = \int_V (r_a \partial_c \sigma_{bc} + r_a \rho \partial_b \phi + \rho v_a v_b - \rho \dot{z}_a v_b) d^3x. \quad (3.42)$$

El término correspondiente a la derivada del tensor de esfuerzos estaría dado por

$$\int_V r_a \partial_c \sigma_{bc} d^3x = \int_V \partial_c (r_a \sigma_{bc}) d^3x - \int_V \delta_{ac} \sigma_{bc} d^3x, \quad (3.43)$$

eliminando el término divergencia, debido a la nulidad de σ_{bc} en la frontera, y reemplazando en (3.42)

$$\frac{dp_{ab}}{dt} = \int_V (\rho v_a v_b - \sigma_{ba} + r_a \rho \partial_b \phi - \rho \dot{z}_a v_b) d^3x. \quad (3.44)$$

Teniendo en cuenta de la definiciones de momentos (3.12-3.13),

$$\frac{dp_{ab}}{dt} = -\dot{z}_a p_b + t_{ab} + \int_V r_a \rho \partial_b \phi d^3x; \quad (3.45)$$

donde t_{ab} es simétrico, por la propiedad de simetría del tensor de esfuerzos. Por lo tanto, la ecuación para el momentum angular total es

$$\frac{dS_{ab}}{dt} = 2p_{[a}\dot{z}_{b]} + 2 \int_V r_{[a}\rho\partial_{b]}\phi d^3x. \quad (3.46)$$

Sea

$$L_{ab} := 2 \int_V r_{[a}\rho\partial_{b]}\phi d^3x, \quad (3.47)$$

el torque total que actúa sobre el cuerpo; entonces

$$\frac{dS_{ab}}{dt} - 2p_{[a}\dot{z}_{b]} = L_{ab}. \quad (3.48)$$

Así, en general, la variación temporal del momentum angular tiene una contribución del torque, que depende del campo gravitacional y de la posición instantánea de z , y una contribución que involucra la cinemática de este punto, la cual es nula cuando se escoge z como el centro de masa.

Es interesante notar que en este caso los campos gravitacionales internos tampoco contribuyen a la evolución del momentum angular (por 3.36), es decir, el torque total interno se anula. Entonces, el cuerpo satisfará ecuaciones de evolución que son instantáneamente idénticas a las correspondientes a un cuerpo de prueba con momentos multipolares en un campo $\phi_{(e)}$ que cumple la ecuación de Laplace [35]. Esto se verá en lo que sigue.

3.1.4. El problema externo y el problema interno

Como se mencionó anteriormente, un método adecuado para estudiar el problema del cuerpo extendido, cuya dinámica estaría determinada por las ecuaciones de movimiento (3.38) y (3.48), es separarlo en un problema externo y uno interno. Esta división es útil ya que los dos problemas sólo están débilmente acoplados [28]. El estudio de los aspectos que encierra este acoplamiento permite hablar de una baja influencia de la estructura interna del cuerpo en el problema externo, que principalmente se relaciona con la traslación, y de una incidencia reducida de las fuerzas externas en el tratamiento del movimiento de los cuerpos con respecto a su centro de masa.

Para estudiar el movimiento del cuerpo como un todo es aconsejable recurrir a la definición del centro de masa como punto representativo de este. Haciendo uso del resultado obtenido en (3.27), la ecuación (3.38) se transforma en una ecuación de movimiento para el centro de masa, dada por

$$m \frac{d^2 z_a}{dt^2} = \int_V \rho \partial_a \phi_{(e)} d^3x; \quad (3.49)$$

donde el campo gravitacional externo interactúa con todo el cuerpo, por lo cual la estructura interna afecta el movimiento del cuerpo.

Una circunstancia que reduce la influencia de la estructura interna es la suposición inicial de que los cuerpos están separados por distancias grandes en comparación con sus tamaños.

Para medir la magnitud del acoplamiento geométrico entre los cuerpos extendidos, considérese el parámetro adimensional

$$\alpha := \frac{L}{R}, \quad (3.50)$$

con L la dimensión característica de los cuerpos y R la separación característica entre ellos. Se pretende entonces, solucionar el problema en términos de una expansión asintótica en $\alpha \rightarrow 0$.

Realizando una expansión Taylor del campo gravitacional sobre el cuerpo A alrededor de $\mathbf{r} = 0$, se tiene

$$\partial_i \phi_{(e)A}(\mathbf{z}_A + \mathbf{r}_A) = \partial_i \phi_{(e)A}(\mathbf{z}_A) + r_A^j \partial_{ij} \phi_{(e)A}(\mathbf{z}_A) + \frac{1}{2} r_A^j r_A^k \partial_{ijk} \phi_{(e)A}(\mathbf{z}_A) + O(|\mathbf{r}_A|^3); \quad (3.51)$$

al reemplazar en (3.49),

$$m_A \frac{d^2 z_{iA}}{dt^2} = \partial_i \phi_{(e)A}(\mathbf{z}_A) \int_{V_A} \rho d^3 r_A + \partial_{ij} \phi_{(e)A}(\mathbf{z}_A) \int_{V_A} r_A^j \rho d^3 r_A + \frac{1}{2} \partial_{ijk} \phi_{(e)A}(\mathbf{z}_A) \int_{V_A} r_A^j r_A^k \rho d^3 r_A + \dots \quad (3.52)$$

Por la definición de centro de masa (3.19) la segunda integral se anula. Definiendo el tensor de inercia I como el momento cuadrupolar de densidad de masa, se sustituye (3.11) en (3.52) obteniendo

$$m_A \frac{d^2 z_{iA}}{dt^2} = m_A \partial_i \phi_{(e)A}(\mathbf{z}_A) + \frac{1}{2} I_A^{jk} \partial_{ijk} \phi_{(e)A}(\mathbf{z}_A) + O(\alpha^3). \quad (3.53)$$

Debido a que la densidad de masa de los cuerpos diferentes al cuerpo A -ésimo es nula, medida al interior de él, el potencial gravitacional externo satisface

$$\nabla^2 \phi_{(e)A} = 0; \quad (3.54)$$

entonces, la traza en el segundo término de la expansión en (3.53) se anula. Por lo tanto, I^{jk} se puede reemplazar por el tensor cuadrupolar, que es la parte libre de traza de I ,

$$Q_A^{ij} := I_A^{ij} - \frac{1}{3} \delta^{ij} I_A^{kk}. \quad (3.55)$$

Un indicador adicional del orden de magnitud del segundo término de la expansión en (3.53) es el parámetro de elipticidad, el cual se define como

$$\varepsilon := \sup_A \left(\frac{|Q_A^{ij}|}{|I_A^{ij}|} \right), \quad (3.56)$$

con $|\cdot|$ la norma euclidea de tensores. Así, el orden de magnitud del término estudiado es $\varepsilon\alpha^2 < \alpha$, teniendo en cuenta que en los sistemas planetarios, generalmente, $\varepsilon \ll 1$.

A partir de la expansión de Taylor en potencias de \mathbf{r}_B de la función $|\mathbf{x} - \mathbf{z}_B - \mathbf{r}_B|^{-1}$, el potencial externo (3.35),

$$\phi_{(e)A}(t, \mathbf{x}) = \sum_{B \neq A} G \int_{V_B} \frac{\rho(t, \mathbf{r}_B)}{|\mathbf{x} - \mathbf{z}_B - \mathbf{r}_B|} d^3r_B, \quad (3.57)$$

toma la forma

$$\phi_{(e)A}(t, \mathbf{x}) = \sum_{B \neq A} \left\{ Gm_B |\mathbf{x} - \mathbf{z}_B|^{-1} + \frac{1}{2} G Q_B^{ij} \partial_{ij} |\mathbf{x} - \mathbf{z}_B|^{-1} \right\} + O(\alpha^3); \quad (3.58)$$

donde se ha utilizado la nulidad del momento dipolar de masa y de la ecuación de Laplace (3.54). Finalmente, sustituyendo (3.58) en (3.53), la ecuación de movimiento del centro de masa (movimiento externo), expandida con respecto a α , es

$$m_A \frac{d^2 z_{iA}}{dt^2} = \sum_{B \neq A} \left\{ Gm_A m_B \partial_i^A |\mathbf{z}_A - \mathbf{z}_B|^{-1} + \frac{1}{2} G \left(m_A Q_B^{jk} + m_B Q_B^{jk} \right) \partial_{ijk}^A |\mathbf{z}_A - \mathbf{z}_B|^{-1} \right\} + O(\alpha^3), \quad (3.59)$$

Con $\partial_i^A = \partial / \partial z_{iA}$. En la ecuación (3.59), la influencia del problema interno en el problema externo está representada en la estructura interna dada por $Q(t)$, cuya contribución es del orden de $\varepsilon m L^2$. Entonces, la contribución del segundo término en la ecuación de movimiento es $\varepsilon\alpha^2$ veces más pequeña que la del primer término y/o $\varepsilon\alpha^2$ veces más pequeña que la fuerza entre dos masas puntuales. por lo tanto, es posible hablar, introduciendo la terminología usada por Brillouin [36] y Levi-Civita [37], de un principio de enmascaramiento (*principe d'effacement*) que representa la supresión sistemática de las contribuciones internas, la cual se hace rigurosa en Mecánica Newtoniana debido a la tercera ley (anulación de la fuerza interna total) y a la suposición de cuerpos apreciablemente distanciados con respecto a su tamaño.

Es importante notar que, en contraste con el problema de cuerpos puntuales, cuando se consideran momentos multipolares de orden superior, el movimiento puede tornarse indeterminado debido a la falta de información sobre la dependencia temporal de esos momentos. Por esta razón, se hace necesario el uso de algunos modelos para los objetos, como es el caso del cuerpo rígido.

En el caso correspondiente al problema interno, la ecuación básica de movimiento está dada por la transformación galileana de la ecuación (3.2) entre un sistema de referencia inercial y el sistema acelerado centro de masa. Entonces

$$\rho \frac{d^2 r_i}{dt^2} = \partial_j \sigma_{ij} + \rho \partial_i \phi - \rho \frac{d^2 z_i}{dt^2}. \quad (3.60)$$

El último término tiene un origen inercial, que puede ser escrito en términos dinámicos, asignando a z la condición de centro de masa, por medio de la ecuación (3.49), como

$$\rho \frac{d^2 z_i}{dt^2} = \frac{\rho}{m} \int \rho(t, \mathbf{r}) \partial_a \phi_{(e)}(\mathbf{z} + \mathbf{r}) d^3 x. \quad (3.61)$$

Así, la ecuación de movimiento interno para el cuerpo A puede expresarse en términos de factores puramente internos y puramente externos,

$$\rho \frac{d^2 r_i}{dt^2} = \left\{ \partial_j \sigma_{ij} + \rho \partial_i \phi_{(s)} \right\}_{(s)A} + \left\{ \rho \partial_i \phi_{(e)} - \frac{\rho}{m} \int \rho(t, \mathbf{r}) \partial_a \phi_{(e)}(\mathbf{z} + \mathbf{r}) d^3 x \right\}_{(t)A}, \quad (3.62)$$

donde el término con subíndice t representa una densidad de fuerza de marea de origen externo. Al realizar la expansión de Taylor del potencial gravitacional externo (3.51), y aplicando la ecuación (3.54) y la definición de tensor cuadrupolar, se tiene

$$\rho \frac{d^2 r_i}{dt^2} = \left\{ \partial_j \sigma_{ij} + \rho \partial_i \phi_{(s)} \right\}_{(s)A} + \rho r_A^j \partial_{ij} \phi_{(e)A}(\mathbf{z}_A) + \frac{1}{2} \left(r_A^j r_A^k - \frac{Q^{jk}}{m_A} \right) \partial_{ijk} \phi_{(e)A}(\mathbf{z}_A) + \dots \quad (3.63)$$

Entonces la influencia de las fuerzas de marea sobre el término de origen interno es de orden superior a α^3 . Por lo tanto, se puede extender la terminología y hablar de un enmascaramiento de la estructura externa en el problema interno.

Un acercamiento alternativo a los problemas interno y externo consiste en definir un potencial efectivo local cuyo gradiente gobierne el movimiento de los elementos de masa con respecto al sistema acelerado del cuerpo [4], con origen en un punto z cualquiera dentro del cuerpo. Esto con el propósito de establecer una relación para la variación del momento dipolar de masa similar a la satisfecha por la densidad de momentum en (3.38), es decir

$$\int_{V_A} \rho(t, \mathbf{r}_A) \frac{d^2 r_a^A}{dt^2} d^3 x = \int_{V_A} \rho(t, \mathbf{r}_A) \partial_a \phi_{(ef)A}(t, \mathbf{r}_A) d^3 x. \quad (3.64)$$

Con base en la ecuación (3.60) para el problema interno y la expresión (3.64), teniendo en cuenta que la integral de la divergencia del tensor de esfuerzos se anula, se define el potencial efectivo sobre el cuerpo A como

$$\phi_{(ef)A}(\mathbf{r}_A) \equiv \phi(\mathbf{z}_A + \mathbf{r}_A) - \frac{d^2 z_i^A}{dt^2} r_A^i + C(t), \quad (3.65)$$

donde $C(t)$ es una función arbitraria del tiempo y el segundo término representa los efectos inerciales asociados con la aceleración del sistema de referencia con origen en z . Adicionalmente, este potencial efectivo puede expresarse como la superposición del potencial interno y un potencial complementario que contiene contribuciones inerciales y externas. Así

$$\phi_{(ef)A} = \phi_{(s)A} + \phi'_A, \quad (3.66)$$

tal que

$$\phi'_A(\mathbf{r}_A) = \phi_{(e)A}(\mathbf{z}_A + \mathbf{r}_A) - \frac{d^2 z_i^A}{dt^2} r_A^i + C(t). \quad (3.67)$$

Debido a la contribución que tienen los términos externos en la ecuación de movimiento para el problema interno (3.62), se puede realizar una expansión en series de Taylor del potencial complementario en potencias de \mathbf{r}_A , obteniendo

$$\phi'_A(\mathbf{r}_A) = \phi_{(e)A}(\mathbf{z}_A) + C(t) + \left[\partial_i \phi_{(e)A}(\mathbf{z}_A) - \frac{d^2 z_i^A}{dt^2} \right] r_A^i + \frac{1}{2} \partial_{ij} \phi_{(e)A} r_A^i r_A^j + \dots \quad (3.68)$$

Sean $G_{i_1 \dots i_l}^A(t)$ los *momentos de marea* locales que experimenta el cuerpo A , tal que [4]

$$\begin{aligned} G^A(t) &\equiv \phi_{(e)A}(\mathbf{z}_A) + C(t), \\ G_i^A(t) &\equiv \partial_i \phi_{(e)A}(\mathbf{z}_A) - \frac{d^2 z_i^A}{dt^2}, \\ G_{i_1 \dots i_l}^A(t) &\equiv \partial_{i_1 \dots i_l} \phi_{(e)A}(\mathbf{z}_A), \end{aligned} \quad (3.69)$$

entonces

$$\phi'_A(\mathbf{r}_A) = \sum_{l=0} \frac{1}{l!} G_{i_1 \dots i_l}^A r^{i_1} \dots r^{i_l}. \quad (3.70)$$

En (3.69) se puede observar que los momentos de marea locales son libres de traza, debido a que el potencial complementario satisface la ecuación de Laplace afuera de los cuerpos que generan el campo gravitacional. Por otro lado, el momento de monopolo puede anularse si se escoge $C(t) = -\phi_{(e)A}(\mathbf{z}_A)$. Una elección análoga de la aceleración del centro de masa para anular el momento dipolar de marea es inadecuada, debido a que tal aceleración depende de la estructura del cuerpo, es decir, no sigue la trayectoria de un cuerpo de prueba que cae bajo la influencia de potenciales externos [38].

Regresando a la ecuación (3.64), ya que la fuerza interna total se anula por la tercera ley de Newton, la variación del momento dipolar de masa queda expresado en términos del gradiente del potencial complementario. Entonces, al sustituir (3.70) en (3.64) y considerar (3.11) y (3.14), se tiene

$$\boxed{\frac{d^2 m_i}{dt^2}(t) = \sum_{l=0} \frac{1}{l!} m_{i_1 \dots i_l} G_{i i_1 \dots i_l}} \quad (3.71)$$

Esta ecuación relaciona la aceleración del centro de masa con la aceleración producida por los momentos de marea externos acoplados con los momentos de masa del sistema [39]. La forma de transformar la ecuación de evolución en el sistema acelerado (3.71) en la ecuación de movimiento en el sistema inercial (3.53), es asignando el origen del sistema de referencia local del cuerpo A al centro de masa del mismo. De esta manera, el momento dipolar de masa es nulo. Por lo tanto, la ecuación (3.71) se transforma en una expresión algebraica que relaciona el momento dipolar de marea y los momentos multipolares de marea de orden superior. Como el momento dipolar de marea contiene la contribución de la aceleración del centro de masa, se tiene que

$$m_A \frac{d^2 z_i}{dt^2} = m \partial_i \phi_{(e)A}(\mathbf{z}_A) + \sum_{l=2}^{\infty} \frac{1}{l!} m^{i_1 \dots i_l}(s) \partial_i \partial_{i_1 \dots i_l} \phi_{(e)A}(\mathbf{z}_A). \quad (3.72)$$

que bajo la aproximación cuadrupolar es idéntica a la ecuación (3.53).

En el caso del movimiento rotacional, considérese el momentum angular local, el cual está dado por

$$\bar{S}_{ab} \equiv 2 \int_V \rho r_{[a} \dot{r}_{b]} d^3 r. \quad (3.73)$$

Por lo tanto, la relación entre el momentum angular en el sistema acelerado y el momentum angular en el sistema inercial (3.39) está dada porci

$$\bar{S}_{ab} = S_{ab} - 2m_{[a} \dot{z}_{b]}. \quad (3.74)$$

Debido a la antisimetría del momentum angular, este solo tiene tres componentes independientes. Se define entonces el vector espín local del cuerpo A como

$$\bar{S}_i(t) \equiv \epsilon_{iab} \int_{V_A} \rho_A r_{[a}^A \dot{r}_{b]}^A d^3 r, \quad (3.75)$$

con ϵ_{iab} el tensor de Levi-Civita. A partir de la definición del potencial efectivo en (3.64) y siguiendo un procedimiento similar al del momento dipolar de masa, se obtiene la ecuación de movimiento para el momentum angular local,

$$\frac{d\bar{S}_i}{dt} = \epsilon_{iab} \sum_{l \geq 1} \frac{1}{l!} m_{a i_1 \dots i_l} G_{b i_1 \dots i_l}. \quad (3.76)$$

Tomando el centro de masa como el origen del sistema de referencia acelerado del cuerpo A , considerando la relación (3.74) y las definiciones (3.69), la ecuación del movimiento para el momentum angular en el sistema inercial toma la forma

$$\boxed{\frac{dS_i^A}{dt} = \epsilon_{iab} \sum_{l \geq 1}^{\infty} \frac{1}{l!} m_{ai_1 \dots i_l} \partial_{bi_1 \dots i_l} \phi_{(e)A}(\mathbf{z}_A)} \quad (3.77)$$

3.1.5. Ecuaciones de movimiento bajo un formalismo geométrico

Con el fin de desarrollar un método que permita describir el movimiento de cuerpos extendidos en Relatividad General, se trata el problema en gravedad newtoniana desde el punto de vista geométrico.

Considérese un cuerpo modelado como una configuración independiente del tiempo sobre un espacio euclidiano tridimensional, determinado por la variedad (\mathcal{M}, g_{ab}) , donde la métrica es tal que $g_{ab}r^a r^b = r^2$. Se asume que el cuerpo tiene un volumen finito acotado por una región compacta $\Sigma_s \subset \mathcal{M}$ para cualquier tiempo s , la cual representa una vecindad abierta que no contiene materia excepto la del cuerpo que confina. Adicionalmente el cuerpo está caracterizado por su densidad de masa $\rho(x, s) \geq 0$ y su velocidad $v^a(x, s)$, para cualquier $x \in \mathcal{M}$ y $s \in \mathbb{R}$.

En general el sistema está determinado por las ecuaciones (3.1-3.3), las cuales se pueden expresar independientemente de las coordenadas en términos de índices generales [11], de la siguiente forma

$$\frac{\partial \rho}{\partial s} + \nabla_a(\rho v^a) = 0, \quad (3.78)$$

$$\rho \left(\frac{\partial v^a}{\partial s} + v^b \nabla_b v^a \right) = \nabla_b \sigma^{ab} + \rho g^{ab} \nabla_b \phi. \quad (3.79)$$

Tradicionalmente el momentum lineal y el momentum angular se definen por medio de las integrales (3.28) y (3.39) de tal forma que la ecuación (3.79) restringe su evolución. Sin embargo, con el objeto de definir un momentum geométrico generalizado, es indispensable evitar cualquier escogencia de coordenadas particulares. Esto se logra considerando la conservación el momentum lineal y el momentum angular como una invarianza traslacional y rotacional del espacio euclidiano respectivamente [35]. Estas invariancias se relacionan con campos vectoriales de Killing asociados a las propiedades del espacio-tiempo.

Dado cualquier campo euclideano de Killing ξ^a y cualquier tiempo s , considérese $P_\xi(s)$, tal que

$$P_\xi(s) := \int_{\Sigma_s} \rho(x, s) v^a(x, s) g_{ab}(x) \xi^b(x) dV, \quad (3.80)$$

como el funcional generalizado de momentum en gravedad newtoniana [25, 35]. Este es un funcional lineal en el espacio hexadimensional de campos de Killing. En el caso de la métrica euclidiana, $g_{ab} = \delta_{ab}$, los campos de Killing traslacionales y rotacionales corresponden a

$$\left\{ \frac{\partial}{\partial X^1}, \frac{\partial}{\partial X^2}, \frac{\partial}{\partial X^3} \right\}, \quad (3.81)$$

$$\left\{ X^2 \frac{\partial}{\partial X^3} - X^3 \frac{\partial}{\partial X^2}, X^3 \frac{\partial}{\partial X^1} - X^1 \frac{\partial}{\partial X^3}, X^1 \frac{\partial}{\partial X^2} - X^2 \frac{\partial}{\partial X^1} \right\}$$

respectivamente. Entonces, si por ejemplo $\zeta^a = \partial/\partial X^1$ es el vector de Killing asociado a traslaciones en la dirección X^1 , al reemplazar en (3.80) el funcional de momentum equivaldrá a la componente euclidiana $p_1(s) = g_{ab}p^a\zeta^b$ del momentum lineal, tal como se definió en (3.28). Análogamente, si se toma el primer vector de Killing rotacional en (3.81), el funcional de momentum será igual a la componente euclidiana $S_1(s)$ del momentum angular, definida en (3.39).

En general, el funcional de momentum es una combinación lineal del momentum angular y el momentum lineal, lo cual se deduce de las propiedades de los campos vectoriales de Killing. En efecto, los vectores de Killing satisfacen la ecuación de desvío geodésico (2.58), con $R^a{}_{0b0} = \partial_a\partial_b\phi$ y $\frac{\delta}{\delta u} = \frac{d}{ds}$, de donde se sigue que $\xi^a(x)$ queda totalmente determinado si se conocen $\xi^a(z)$ y $\nabla_b\xi^a(z)$. Adicionalmente, los vectores de Killing cumplen la relación (2.59). Teniendo en cuenta que en el caso euclidiano

$$\Omega^a(x, z) = (X(x) - X(z))^a, \quad \Omega^a{}_i(x, z) = -\partial_i(X(x) - X(z))^a = -\delta_i^a, \quad \Omega^i{}_a(x, z) = \partial_a(X(x) - X(z))^i = -\delta_a^i, \quad (3.82)$$

entonces (2.59) se reduce a

$$\begin{aligned} \xi^i(x) &= -\Omega^i{}_b\xi^b(z) + \Delta s \frac{d\xi^i}{ds}(z) \\ &= \xi^i(z) + \Omega^j{}_i\nabla_j\xi^i(z). \end{aligned} \quad (3.83)$$

Por consiguiente $\xi^a(x)$ se puede expresar como una combinación lineal de $\xi^a(z)$ y $\nabla_b\xi^a(z)$. Sustituyendo (3.83) en la definición (3.80) y aplicando la ecuación de Killing (2.17), se tiene

$$P_\xi(s) = \left[\int_{\Sigma_s} \rho(x, s)v^a(x, s)g_{ab}(x)dV \right] \xi^b(z) + \left[\int_{\Sigma_s} \rho(x, s)r^{[c}v^{a]}(x, s)g_{ab}(x)dV \right] \nabla_c\xi^b(z). \quad (3.84)$$

Entonces

$$P_\xi(s) = p^a(z, s)\xi_a(z) + \frac{1}{2}S^{ab}(z, s)\nabla_a\xi_b(z). \quad (3.85)$$

Una ventaja importante del uso del funcional de momentum es que permite manipular el momentum lineal y el momentum angular simultáneamente. Así, las ecuaciones de movimiento para los momentums se pueden derivar de la variación de P_ξ . Derivando (3.85) con respecto al tiempo s , se tiene

$$\frac{dP_\xi}{ds} = \frac{dp^a}{ds}\xi_a + \frac{1}{2}S^{ab}\frac{d}{ds}(\nabla_a\xi_b) + \frac{1}{2}\nabla_a\xi_b\left(\frac{dS^{ab}}{ds} - p^a\dot{z}^b\right). \quad (3.86)$$

Aplicando la ecuación de Killing y el hecho de que las segundas derivadas de los campos de Killing (3.81) se anulan en el espacio euclidiano (esto es distinto a considerar la variación del campo vectorial a lo largo de una curva, en cuyo caso se deben considerar los campos gravitacionales), la expresión (3.86) se reduce a

$$\frac{dP_\xi}{ds} = \frac{dp^a}{ds}\xi_a + \frac{1}{2}\left(\frac{dS^{ab}}{ds} - 2p^{[a}\dot{z}^{b]}\right)\nabla_a\xi_b, \quad (3.87)$$

donde z es un punto origen dentro del cuerpo que suele corresponder al centro de masa. En el caso de la existencia de una invarianza traslacional y rotacional, el lado derecho de (3.87) se anula, de tal manera que el momentum generalizado se conserva. Si sucede lo contrario, se infiere que deben existir fuerzas y torques. Por lo tanto, es útil definir la fuerza F^a y el torque L^{ab} tal que

$$\frac{dP_\xi}{ds} = F^a\xi_a + \frac{1}{2}L^{ab}\nabla_a\xi_b, \quad (3.88)$$

por consiguiente

$$\frac{dp^a}{ds} = F^a, \quad (3.89)$$

$$\frac{dS^{ab}}{ds} = 2p^{[a}\dot{z}^{b]} + L^{ab}. \quad (3.90)$$

El problema ahora radica en encontrar una expresión para la fuerza y el torque. Como se vió anteriormente, estos elementos dependen de los potenciales gravitacionales y de la estructura del cuerpo que se estudia. Siguiendo el presente método, al considerar la ecuación (3.88), la solución a este problema debería ser posible si se halla la variación del funcional de momentum.

Tomando la derivada de P_ξ en la ecuación (3.80) y empleando la relación (3.14), se obtiene

$$\frac{dP_\xi}{ds}(s) = \int_{\Sigma_s} \rho(x, s) \frac{dv^a}{ds}(x, s) g_{ab}(x) \xi^b(x) dV, \quad (3.91)$$

que debido a (3.79) se reduce a

$$\frac{dP_\xi}{ds}(s) = \int_{\Sigma_s} \nabla_c \sigma^{ac} \xi_a dV + \int_{\Sigma_s} \rho \xi^b \nabla_b \phi dV, \quad (3.92)$$

donde

$$\int_{\Sigma_s} \xi_a \nabla_c \sigma^{ac} dV = \int_{\Sigma_s} \nabla_c (\xi_a \sigma^{ac}) dV - \int_{\Sigma_s} \sigma^{ac} \nabla_c \xi_a dV. \quad (3.93)$$

En esta ecuación el primer término de la derecha es cero debido a que el tensor de esfuerzos se anula en la frontera. Por su parte, el segundo término se anula debido a la ecuación de Killing y la simetría de σ^{ab} . Por lo tanto, aplicando la definición de la derivada de Lie a la ecuación (3.92), la variación del funcional de momentum se puede escribir como

$$\frac{dP_\xi}{ds}(s) = \int_{\Sigma_s} \rho(x, s) \mathcal{L}_\xi \phi(x, s) dV. \quad (3.94)$$

Entonces, las expresiones (3.88) y (3.94) pueden ser igualadas. Debido a que la evolución de P_ξ , expresada en (3.94), es lineal en ϕ , es pertinente hallar la fuerza y el torque generados por las componentes externas e internas del potencial gravitacional, tal como se hizo en (3.33, 3.32). Considérese el efecto del potencial interno. Este puede ser definido en términos de una función de Green simétrica [35] dada por

$$g^{ab} \nabla_{ab} G_s(x, x') = -4\pi \delta(x, x'), \quad (3.95)$$

tal que, en coordenadas cartesianas,

$$G_s(x, x') = \frac{1}{|X(x) - X(x')|}. \quad (3.96)$$

Así,

$$\phi_s(x, s) := G \int_{\Sigma_s} \rho(x', s) G_s(x, x') dV', \quad (3.97)$$

lo cual implica [32]

$$g^{ab} \nabla_{ab} \phi_s = -4\pi G \rho \quad (3.98)$$

en Σ_s . Puesto que el potencial gravitacional total satisface (3.3), se tiene que la diferencia

$$\phi_e := \phi - \phi_s \quad (3.99)$$

cumple la ecuación (3.54), a saber

$$g^{ab} \nabla_{ab} \phi_e = 0, \quad (3.100)$$

en Σ_s . Reemplazando (3.99) y (3.97) en la ecuación (3.94) se obtiene

$$\frac{dP_\xi}{ds} = \int_{\Sigma_s} \rho(x, s) \mathcal{L}_\xi \phi_e(x, s) dV + \frac{1}{2} G \int_{\Sigma_s} dV \int_{\Sigma'_s} \rho'(x', s) \mathcal{L}_\xi G_s(x, x') dV', \quad (3.101)$$

lo que involucra la derivada de Lie de un escalar de dos puntos, la cual actúa sobre cada argumento de forma separada tal que

$$\mathcal{L}_\xi G_s(x, x') = \xi^a(x) \nabla_a G_s(x, x') + \xi^{a'}(x') \nabla_{a'} G_s(x, x'). \quad (3.102)$$

Considerando los vectores de Killing en (3.81) se tiene que $G_s(x, x')$ es invariante respecto a traslaciones y rotaciones, luego

$$\mathcal{L}_\xi G_s(x, x') = 0. \quad (3.103)$$

Por lo tanto (3.101) se reduce a

$$\frac{dP_\xi}{ds}(s) = \int_{\Sigma_s} \rho(x, s) \mathcal{L}_\xi \phi_e(x, s) dV. \quad (3.104)$$

Suponiendo que el campo externo varía lentamente dentro de Σ_s y que, además, es analítico en esa región, es adecuado realizar una expansión en series de Taylor para $\phi_e(x)$ alrededor de un punto $z \in \Sigma_s$. Esto es análogo a suponer que el tamaño característico del cuerpo es mucho menor a las distancias entre los cuerpos que componen un sistema autogravitante y tomar como parámetro de una expansión la razón entre esas dos longitudes. Partiendo de estas consideraciones, la derivada de Lie del potencial externo se puede escribir como

$$\mathcal{L}_\xi \phi_e(x') = \sum_{n=0}^{\infty} \frac{(-1)^n}{n!} \Omega_{a_1}(z, x') \cdots \Omega_{a_n}(z, x') g^{a_1 b_1}(z) \cdots g^{a_n b_n}(z) \mathcal{L}_\xi \nabla_{b_1 \dots b_n} \phi_e(z), \quad (3.105)$$

para todo $x' \in \Sigma_s$. Donde $\Omega_a(z, x') = -(x' - z)_a$ representa el vector radial entre x' y el punto fijo z . Además, se ha tenido en cuenta la nulidad de la derivada de Lie de la variación de la función de mundo (ecuación 2.63). Sustituyendo en (3.104)

$$\frac{dP_\xi}{ds}(s) = \sum_{n=0}^{\infty} \frac{(-1)^n}{n!} g^{a_1 b_1}(z) \cdots g^{a_n b_n}(z) \left[\int_{\Sigma_s} \rho(x', s) \Omega_{a_1}(z, x') \cdots \Omega_{a_n}(z, x') dV' \right] \mathcal{L}_\xi \nabla_{b_1 \dots b_n} \phi_e(z). \quad (3.106)$$

El término encerrado entre paréntesis cuadrados en la ecuación (3.106) corresponde a la definición de los momentos multipolares de densidad de masa, en (3.11), con $\Omega_a = -r^a$. De esta forma

$$\frac{dP_\xi}{ds}(s) = \sum_{n=0}^{\infty} \frac{1}{n!} m^{a_1 \dots a_n}(s) \mathcal{L}_\xi \nabla_{a_1 \dots a_n} \phi_e(z). \quad (3.107)$$

Luego la ecuación (3.87) se reduce a

$$\frac{dp^a}{ds} \xi_a + \frac{1}{2} \left(\frac{dS^{ab}}{ds} - 2p^{[a \dot{z} b]} \right) \nabla_a \xi_b = \sum_{n=0}^{\infty} \frac{1}{n!} m^{a_1 \dots a_n}(s) \mathcal{L}_\xi \nabla_{a_1 \dots a_n} \phi_e. \quad (3.108)$$

La derivada de Lie de las derivadas del potencial gravitacional se escribe de forma explícita como

$$\mathcal{L}_\xi \nabla_{a_1 \dots a_n} \phi_e(z) = \xi_b \nabla_b \nabla_{a_1 \dots a_n} \phi_e(z) + \sum_{j=1}^n \nabla_b [\nabla_{a_1 \dots a_{j-1} a_{j+1} \dots a_n} \phi_e] \nabla_{a_j} \xi_b. \quad (3.109)$$

Por otro lado, si se escoge z como el centro de masa del cuerpo entonces el momento dipolar de densidad de masa se anula y la ecuación (3.27) se satisface. Entonces, al reemplazar (3.109) en (3.108) y teniendo en cuenta que el monopolo de densidad de masa es la masa del cuerpo m , el momentum lineal cumple la ecuación de movimiento [35]

$$\boxed{\frac{dp^a}{ds} = g^{ab}(z) \left[m \nabla_b \phi_e(z) + \sum_{n=2}^{\infty} \frac{1}{n!} m^{c_1 \dots c_n}(s) \nabla_b \nabla_{c_1 \dots c_n} \phi_e(z) \right]}, \quad (3.110)$$

que bajo la condición de centro de masa es idéntica a la ecuación (3.72).

En el caso del momentum angular es útil definir un vector que represente las componentes no nulas e independientes del tensor S^{ab} definido en (3.39). Se define la 1-forma momentum angular como

$$S_a := \frac{1}{2} \epsilon_{abc} S^{bc}, \quad (3.111)$$

con ϵ_{abc} el tensor de Levi-Civita. Así, al sustituir el segundo término de (3.109) en (3.108), la ecuación de movimiento para el vector momentum angular es [35]

$$\boxed{\frac{dS_a}{ds} = \epsilon_{abc} g^{cd}(z) \sum_{n=2}^{\infty} \frac{1}{(n-1)!} m^{b_1 \dots b_n}(s) \nabla_d \nabla_{b_2 \dots b_n} \phi_e(z)}. \quad (3.112)$$

Vale notar que los momentos de densidad de masa que intervienen en las ecuaciones de movimiento son simétricos en todos sus índices y, adicionalmente, que están unívocamente determinados por la distribución de masa. Sin embargo, estos no están unívocamente determinados por el potencial gravitacional ϕ_e , pues, debido a la ecuación (3.100), pueden ser reemplazados por tensores libres de traza sin afectar las ecuaciones [40]. Un ejemplo de ello se vió al definir el tensor cuadrupolar como la parte libre se traza del momento de inercia en (3.55).

Las expresiones (3.110), (3.112) y la conservación de la masa en (3.18) constituyen el sistema de ecuaciones de movimiento en la teoría de gravitación de Newton. Una vez se precisa el modelo de materia para los cuerpos estudiados, la libertad en la escogencia de los momentos multipolares de masa se anula, obteniendo así una solución para el problema del movimiento de cuerpos extendidos en esta teoría.

3.2. Dinámica de los cuerpos extendidos en Relatividad General

Como se mencionó al inicio de este capítulo, una transición desde los métodos usados en la gravitación Newtoniana hacia la teoría de gravitación de Einstein, más allá de la estructura del programa desarrollado, implica grandes desafíos debido a las concepciones distintas que se tiene en cada teoría con respecto a la materia y la energía y su relación con la geometría del espacio-tiempo. Mientras en mecánica Newtoniana es muy frecuente y adecuado representar cuerpos como puntos dotados de masa moviéndose en un espacio-tiempo fijo y preexistente, en Relatividad General estos corresponden a distribuciones de momentum-energía-esfuerzo soportadas por líneas de mundo temporales en un espacio-tiempo dinámico del cual no pueden desvincularse. Adicionalmente, en una teoría con una estructura espacio-temporal suministrada *a priori* no existen mayores inconvenientes en la definición de sistemas aislados, pues la condición de frontera para los campos gravitacionales permite jerarquizar la influencia de los cuerpos que constituyen el universo. Sin embargo, en el caso relativista, donde la variedad espacio-temporal está determinada por el contenido de materia y las condiciones de frontera, la definición de sistema aislado se torna más compleja pues no es claro que condiciones de frontera son adecuadas físicamente y compatibles con las ecuaciones de campo de Einstein [41].

Existen unas condiciones mínimas para definir un modelo de sistema aislado compuesto por un conjunto de cuerpos gravitacionalmente interactuantes [22], a saber: (i) Un espacio-tiempo (\mathcal{M}, g) que contenga un número finito de cuerpos, satisfaciendo las ecuaciones de campo de Einstein (2.20) y por consiguiente la ley de movimiento local (2.15); (ii) una condición que garantice que (\mathcal{M}, g) es asintóticamente plano, o que se ajusta asintóticamente dentro de un modelo cosmológico; (iii) una condición que exprese que, al menos en algún tiempo avanzado (cono de luz entrante), no haya radiación gravitacional entrante.

Tanto (ii) como (iii) aseguran unas condiciones de frontera adecuadas para determinar la forma de los campos gravitacionales y, por lo tanto, de la métrica. Estos son discutidos a profundidad en [41] y [42, 43]. De acuerdo con (i), un cuerpo extendido se modela como un *tubo de mundo* temporal, espacialmente compacto, el cual coincide con una componente conexa del soporte del tensor momentum-energía \mathcal{T} . El objetivo es, entonces, obtener las leyes de movimiento para los cuerpos integrando la ecuación local de movimiento (2.15) sobre secciones espaciales de sus tubos de mundo.

Antes de definir el tubo de mundo es importante considerar la definición de foliación. De acuerdo con [44]

Definición 3.2.1. Una foliación p -dimensional de clase C^r de una variedad \mathcal{M} , m -dimensional, es una descomposición de \mathcal{M} en una unión de subconjuntos disyuntos conexos $\{\Sigma_s\}_{s \in \mathbb{R}}$, llamados las *hojas* de la foliación, con la siguiente propiedad: Cada punto en \mathcal{M} tiene una vecindad U y un sistema de coordenadas locales, de clase C^r , $x = (x^1, \dots, x^m) : U \rightarrow \mathbb{R}^m$ tal que, para cada hoja Σ_s , las componentes de $U \cap \Sigma_s$ están descritas por las ecuaciones $x^{p+1} = \text{constante}, \dots, x^m = \text{constante}$.

En otras palabras, una foliación es una partición en subvariedades diferenciables de una variedad diferenciable, todas con la misma dimensión pero menor que la correspondiente a la variedad original. Con el fin de comprender este concepto considérese un espacio Euclideo de dimensión $(n - 1)$. El hecho de que el tiempo tenga una dimensión indica que el espacio-tiempo puede ser *foliado* por subespacios de dimensión $(n - 1)$, cada uno con una estructura euclidea. Cualquier foliación corresponde a un mapeo lineal $t : \mathbb{R}^n \rightarrow \mathbb{R}$ si dados dos eventos, x y y , estos están en el mismo hiperespacio (hoja) si y solo si $t(x - y) = 0$. Entonces el mapeo t puede ser interpretado como un reloj de mundo, siendo $t(x - y)$ la diferencia temporal entre los dos eventos [21]. Se quiere, entonces, definir hiperespacios que permitan estudiar un cuerpo en cada instante (en relación con un parámetro afín determinado).

Partiendo de este concepto y siguiendo [21], se define el tubo de mundo.

Definición 3.2.2. Sea $\{\Sigma_s\}_{s \in \mathbb{R}}$ una foliación de \mathcal{M} en hipersuperficies espaciales con vectores normales \mathbf{n}_s dirigidos hacia el futuro. Un *Tubo de mundo* con respecto a $\{\Sigma_s\}_{s \in \mathbb{R}}$ es un subconjunto abierto \mathcal{W} de \mathcal{M} con frontera temporal, suave a tramos, tal que la intersección $\mathcal{W} \cap \Sigma_s$ está conectada para todo s . Si \mathcal{W} es un tubo de mundo con respecto a $\{\Sigma_s\}_{s \in \mathbb{R}}$ entonces se denota \mathcal{W}_{s_1, s_2} como el subconjunto $\bigcup_{s \in [s_1, s_2]} \mathcal{W} \cap \Sigma_s$ y \mathcal{W}_{sb} como la parte de la frontera que no está contenida en $\Sigma_{s_1} \cup \Sigma_{s_2}$.

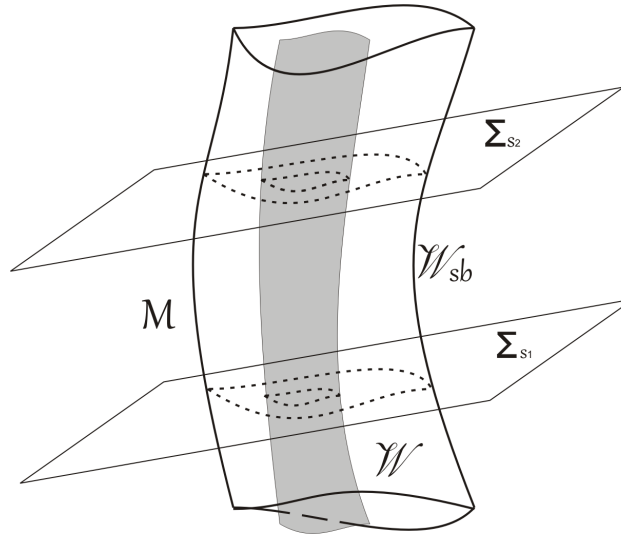


Figura 3.1: Tubo de mundo conteniendo la distribución de materia-energía. Dos hipersuperficies dividen el tubo y en la frontera \mathcal{W}_{sb} se cumple $T^{\mu\nu} = 0$.

De acuerdo con esta definición, para garantizar que un cuerpo sea finito y esté localizado se debe imponer la condición de que el tubo de mundo contenga el soporte de \mathcal{T} (figura 3.1). De esta forma se asegura que la distribución de momento-energía se anule en la frontera, teniendo como consecuencia del segundo postulado una ley de conservación. Esta se enuncia en el siguiente corolario [21]:

Corolario 3.2.1. Sean $T^{\alpha\beta}$ un tensor simétrico con $\nabla_\beta T^{\alpha\beta} = 0$ y ξ^α un campo de Killing. Sean $s_1 < s_2$

y \mathcal{W} un tubo de mundo con respecto a $\{\Sigma_s\}_{s \in \mathbb{R}}$ tal que $\text{supp}(\mathcal{T}) \cap \mathcal{W}_{sb} = \emptyset$. Entonces la siguiente ley de conservación se cumple.

$$\int_{\Sigma_{s_2} \cap \mathcal{W}_{s_1, s_2}} \xi_\beta T^{\alpha\beta} d\Sigma_\alpha = \int_{\Sigma_{s_1} \cap \mathcal{W}_{s_1, s_2}} \xi_\beta T^{\alpha\beta} d\Sigma_\alpha \quad (3.113)$$

Sea \mathcal{D} la región \mathcal{W}_{s_1, s_2} que incluye alguna porción del tubo de mundo \mathcal{W} , cuya superficie es temporal en todo lugar y está acotada por dos hipersuperficies espaciales no interactuantes Σ_{s_1} y Σ_{s_2} , tal que Σ_{s_2} es el futuro de Σ_{s_1} . Entonces al integrar la ecuación (2.18) sobre \mathcal{D} se tiene

$$\int_{\mathcal{D}} \sqrt{-g} \nabla_\alpha (\xi_\beta T^{\alpha\beta}) d^4x = 0, \quad (3.114)$$

donde $\nabla_\alpha (\xi_\beta T^{\alpha\beta})$ representa la divergencia de un vector, que de acuerdo con la ecuación (2.5) está dada por

$$\nabla_\alpha (\xi_\beta T^{\alpha\beta}) = \partial_\alpha (\xi_\beta T^{\alpha\beta}) + \Gamma_{\alpha\gamma}^\gamma (\xi_\beta T^{\alpha\beta}). \quad (3.115)$$

Debido a que la conexión y el determinante de la métrica se relacionan por $\Gamma_{\alpha\gamma}^\gamma = \partial_\alpha \ln \sqrt{-g}$ (apéndice B), la ecuación (3.115) es reescrita tal que

$$\begin{aligned} \sqrt{-g} \nabla_\alpha (\xi_\beta T^{\alpha\beta}) &= \sqrt{-g} \left[\partial_\alpha (\xi_\beta T^{\alpha\beta}) + (\xi_\beta T^{\alpha\beta}) \partial_\alpha \ln \sqrt{-g} \right] \\ &= \partial_\alpha \left[\sqrt{-g} \xi_\beta T^{\alpha\beta} \right], \end{aligned} \quad (3.116)$$

así la ecuación (3.114) se puede escribir como

$$\int_{\mathcal{D}} \partial_\alpha (\sqrt{-g} \xi_\beta T^{\alpha\beta}) d^4x = 0. \quad (3.117)$$

Por el teorema de Gauss

$$\int_{\partial\mathcal{D}} \xi_\beta T^{\alpha\beta} d\Sigma_\alpha = 0, \quad (3.118)$$

con $\partial\mathcal{D}$ la frontera de la región \mathcal{D} . Escribiendo la contribución de cada frontera de \mathcal{D} por separado,

$$\int_{\Sigma_{s_1} \cap \mathcal{D}} \xi_\beta T^{\alpha\beta} d\Sigma_\alpha + \int_{\Sigma_{s_2} \cap \mathcal{D}} \xi_\beta T^{\alpha\beta} d\Sigma_\alpha + \int_{\mathcal{W}_{sb}} \xi_\beta T^{\alpha\beta} d\Sigma_\alpha = 0. \quad (3.119)$$

Puesto que \mathcal{T} se anula sobre la frontera que no está contenida en $\Sigma_{s_1} \cup \Sigma_{s_2}$, entonces

$$\int_{\Sigma_{s_1} \cap \mathcal{D}} \xi_\beta T^{\alpha\beta} d\Sigma_\alpha = - \int_{\Sigma_{s_2} \cap \mathcal{D}} \xi_\beta T^{\alpha\beta} d\Sigma_\alpha. \quad (3.120)$$

Así

$$\int_{\Sigma} \xi_{\beta} T^{\alpha\beta} d\Sigma_{\alpha} = C, \quad (3.121)$$

es una constante de movimiento independiente de la hipersuperficie escogida.

Existe una estrecha relación entre las cantidades conservadas para sistemas aislados en mecánica newtoniana, asociadas con la invarianza traslacional y rotacional del espacio euclideo, y las definiciones de momentum lineal y momentum angular en esta teoría. Esto indica que es posible desarrollar un procedimiento que permita definir momentum lineal y momentum angular en Relatividad General, partiendo de una ley de conservación vinculada con la presencia de simetrías en el espacio-tiempo.

3.2.1. Momentum lineal y momentum angular

La ley de conservación establecida en (3.121) motiva la definición del siguiente “funcional de momentum” [35]

$$P_{\xi}(\Sigma) := \int_{\Sigma} g_{\alpha\beta} \xi^{\alpha} T^{\beta\delta} d\Sigma_{\delta}. \quad (3.122)$$

Basado en las anteriores definiciones, el argumento de $P_{\xi}(\Sigma)$ es una hipersuperficie Σ que biseca \mathcal{W} y ξ^{α} es un campo vectorial que satisface la ecuación de desvío geodésico (2.58).

Para describir el movimiento de un cuerpo es fundamental determinar la evolución del funcional de momentum. Para ello se debe establecer la familia de hipersuperficies que especifican el funcional y el estado del objeto en cada instante de tiempo. Esto requiere la definición de una línea de mundo temporal $\gamma = \{z(s) | s \in \mathbb{R}\}$ y un campo vectorial temporal n_s^{α} en el espacio tangente al punto $z(s)$ de la variedad ($n_s^{\alpha} \in T_{z(s)}\mathcal{M}$) a lo largo de γ (figura 3.2). De acuerdo con la definición (3.2.2), el campo vectorial n_s^{α} especifica una familia de hipersuperficies espaciales Σ_s que proporcionan una función de “tiempo” $\Sigma_s \ni x \rightarrow s$ al interior del tubo de mundo del cuerpo. **Para un valor fijo de s , las hipersuperficies están definidas como la unión de todas las geodésicas que pasan a través de $z(s)$ y son ortogonales al vector n_s^{α} en ese punto, es decir $\Sigma_s(z, \mathbf{n}) := \{x | n_{\alpha} \Omega^{\alpha}(z, x) = 0\}$.** Se asume que el cuerpo es lo suficientemente pequeño para que las geodésicas no se crucen unas con otras en un punto distinto a $z(s)$ o con otras hipersuperficies. Entonces, dos puntos cualesquiera que pertenezcan a $\text{supp}(\mathcal{T})$ estarían unidos por una única geodésica, lo cual restringe el tamaño del cuerpo respecto a la escala típica del campo, en otras palabras se supone que el campo gravitacional varía lentamente sobre el cuerpo. Una elección adecuada de γ , z , n_s^{α} y Σ conlleva a una definición única para el centro de masa, alrededor del cual se calculan los momentos multipolares.

De la expresión (3.122) se puede deducir que P_{ξ} es lineal en $\xi^{\alpha}(x)$. Puesto que este vector resulta de sus valores iniciales en z , de la ecuación (2.59) se sigue que el funcional de momentum puede ser escrito como una combinación lineal de $\xi^{\alpha}(z(s))$ y $\nabla_{\beta} \xi^{\alpha}(z(s))$. Los coeficientes apropiados para esta

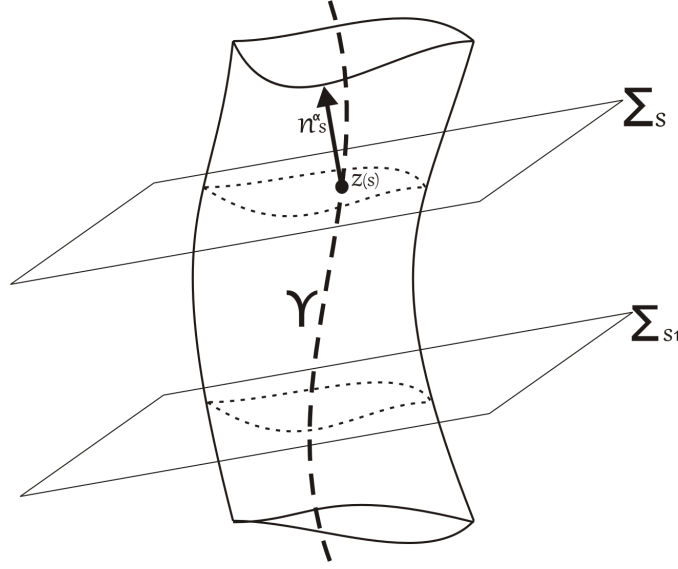


Figura 3.2: Tubo de mundo conteniendo una línea de mundo temporal γ cuya intersección con las hipersuperficies se denota por $z(s)$.

combinación son el momentum lineal p^α y el tensor antisimétrico momentum angular, $S^{\alpha\beta} = S^{[\alpha\beta]}$. Entonces

$$P_\xi(\Sigma_s) = p^\alpha(s)\xi_\alpha(z(s)) + \frac{1}{2}S^{\alpha\beta}(s)\nabla_\alpha\xi_\beta(z(s)). \quad (3.123)$$

A diferencia del caso newtoniano, el tensor momentum angular no tiene asociado un vector momentum angular (espín) pues, debido a su antisimetría, tiene seis componentes independientes, así que un vector no tiene la información suficiente para reemplazarlo. Sin embargo, una elección adecuada de γ permite reducir las componentes independientes y definir el espín.

Partiendo de (2.62) la ecuación (3.121) se puede reescribir de la forma

$$\int_\Sigma \left(K_\alpha^\kappa(z, x)\xi_\kappa(z) + H_\alpha^\kappa(z, x)\Omega^\lambda(z, x)\nabla_{[\kappa}\xi_{\lambda]}(z) \right) T^{\alpha\beta}d\Sigma_\beta = C, \quad (3.124)$$

De acuerdo con Dixon [25], se definen el momentum y el momentum angular como

$$p^\kappa(z, \Sigma) \equiv \int_\Sigma T^{\alpha\beta}K_\alpha^\kappa d\Sigma_\beta \quad (3.125)$$

$$S^{\kappa\lambda}(z, \Sigma) \equiv 2 \int_\Sigma T^{\alpha\beta}H_\alpha^{[\kappa}\Omega^{\lambda]} d\Sigma_\beta. \quad (3.126)$$

El caracter de función de dos puntos de la función de mundo asegura que p^κ y $S^{\kappa\lambda}$ sean un vector y un tensor antisimétrico en z respectivamente. Estas definiciones no dependen del campo de Killing, por lo

tanto pueden ser usadas para un espacio-tiempo arbitrario que no posea simetrías. Sin embargo, cuando el espacio-tiempo admite isometrías, la ecuación (3.124) implica la existencia de una combinación lineal del momentum y del momentum angular que es constante, entonces $P_\xi(\Sigma_s)$ se conservaría.

Partiendo de (2.23) se tiene, en espacio plano,

$$\Omega_\beta = -(x-z)_\beta, \quad \Omega_\kappa = (x-z)_\kappa, \quad \Omega_\beta^\alpha = \delta_\beta^\alpha \quad (3.127)$$

y

$$H^\kappa_\alpha = \delta^\kappa_\alpha, \quad K^\alpha_\kappa = \delta^\alpha_\kappa, \quad (3.128)$$

de tal forma que el límite en relatividad especial de (3.125) y (3.126) es

$$p^\kappa = \int_\Sigma T^{\kappa\beta} d\Sigma_\beta \quad (3.129)$$

y

$$S^{\kappa\lambda} = 2 \int_\Sigma (x-z)^{[\lambda} T^{\kappa]\beta} d\Sigma_\beta, \quad (3.130)$$

las cuales son las definiciones usuales en teoría clásica de campos. De ahí que p^κ y $S^{\kappa\lambda}$ en (3.125) y (3.126) se interpreten como el momentum y el momentum angular del cuerpo.

Para determinar la forma en que varía P_ξ se procede a derivar (3.123) con respecto a s , así

$$\frac{\delta P_\xi}{\delta s} = \frac{\delta}{\delta s} \left[p^\kappa \xi_\kappa + \frac{1}{2} S^{\kappa\lambda} \nabla_{[\kappa} \xi_{\lambda]} \right]. \quad (3.131)$$

Entonces

$$\frac{\delta P_\xi}{\delta s} = \frac{\delta p^\kappa}{\delta s} \xi_\kappa + p^\kappa \frac{\delta \xi_\kappa}{\delta s} + \frac{1}{2} \left(\frac{\delta S^{\kappa\lambda}}{\delta s} \nabla_{[\kappa} \xi_{\lambda]} + S^{\kappa\lambda} \frac{\delta}{\delta s} \nabla_{[\kappa} \xi_{\lambda]} \right), \quad (3.132)$$

donde

$$\frac{\delta \xi_\kappa}{\delta s} = \frac{dz^\kappa}{ds} \nabla_{[\kappa} \xi_{\lambda]} = v^\kappa \nabla_{[\kappa} \xi_{\lambda]},$$

con v^κ el vector tangente a la curva γ en z . De acuerdo con (2.57) finalmente se tiene

$$\frac{\delta P_\xi}{\delta s} = \xi_\nu \left(\frac{\delta p^\nu}{\delta s} - \frac{1}{2} R_{\kappa\lambda\mu}{}^\nu S^{\kappa\lambda} v^\mu \right) + \frac{1}{2} \nabla_{[\kappa} \xi_{\lambda]} \left(\frac{\delta S^{\kappa\lambda}}{\delta s} - 2p^{[\kappa} v^{\lambda]} \right). \quad (3.133)$$

Lo cual es cero para un espacio-tiempo maximalmente simétrico si cada término entre paréntesis se anula. Sin embargo, en el caso general, los multipolos de orden superior del cuerpo dan origen a una fuerza y un torque, los cuales se definen como

$$F^\nu \equiv \frac{\delta p^\nu}{\delta s} - \frac{1}{2} S^{\kappa\lambda} v^\mu R_{\kappa\lambda\mu}{}^\nu \quad (3.134)$$

y

$$L^{\kappa\lambda} \equiv \frac{\delta S^{\kappa\lambda}}{\delta s} - 2p^{[\kappa} v^{\lambda]}. \quad (3.135)$$

La diferencia entre estas ecuaciones y las equivalentes en mecánica Newtoniana (3.31) y (3.48) es la presencia de la curvatura del espacio-tiempo representada en el tensor de Riemann.

En el caso en que P_ξ satisfaga la ecuación (3.121), es decir, se conserve, la fuerza y el torque se relacionan por medio de

$$\xi_\kappa F^\kappa + \frac{1}{2} \nabla_{[\kappa} \xi_{\lambda]} L^{\kappa\lambda} = 0. \quad (3.136)$$

Es importante notar que las ecuaciones para la fuerza y el torque no están completamente determinadas. La condición (3.136) se cumple para todas las elecciones de Σ_s , pero F^ν y $L^{\kappa\lambda}$ dependen de la elección particular que se realice. Entonces la fuerza y el torque quedan definidas adecuadamente cuando se especifica la línea de mundo γ , la parametrización s de esta línea y la familia de hipersuperficies Σ_s [1]. Esto se puede lograr al definir la línea de mundo centro de masa.

3.2.2. Centro de masa

Una propiedad importante que tiene la posición del centro de masa (3.20) en la teoría de Newton es su independencia con respecto al sistema de referencia inercial en donde este se calcula. Esta propiedad no se presenta en la Teoría de la Relatividad, pues en el caso de la Relatividad Especial la masa de las partículas depende de la velocidad de las mismas y en Relatividad General también lo hace de la curvatura del espacio-tiempo. Adicionalmente, el momentum de un sistema de partículas o de un cuerpo extendido en mecánica Newtoniana es proporcional a la velocidad del centro de masa (ecuación 3.27), donde la constante de proporcionalidad es la masa total del sistema, que no cambia bajo transformaciones entre sistemas inerciales o por la presencia de gravedad. Sin embargo, en la Teoría Especial de la Relatividad existe el sistema de referencia centro de masa, definido como el sistema en donde el cuadrimomentum total, el cual es temporal y dirigido al futuro, no tiene componentes espaciales. De esta forma, el cuadrimomentum se puede escribir como el producto de la masa total medida en sistema centro de masa y su velocidad [13].

Con el fin de establecer la línea de mundo del centro de masa es necesario remitirse a su definición newtoniana, la cual puede hacerse a través del momento dipolar de masa (3.21). Sea z el centro de masa para todo tiempo, entonces

$$\int \rho z_a d^3x = \int \rho x_a d^3x.$$

Considérese ahora el caso de espacio-tiempo plano. Entonces $\rho = T^{00}$ y la generalización natural del caso newtoniano es

$$z^a \int_{x^0=cte} T^{\alpha\beta} \eta_\alpha \eta_\beta d\Sigma = \int_{x^0=cte} T^{\alpha\beta} \eta_\alpha \eta_\beta x^a d\Sigma, \quad (3.137)$$

con $\eta_\alpha = \delta_\alpha^0$. Entonces

$$\eta_\alpha \int (z^a - x^a) T^{\alpha\beta} \eta_\beta d\Sigma = 0. \quad (3.138)$$

La definición de momentum angular en espacio plano está dada por (3.130), contrayéndola con η_α se tiene

$$\eta_\alpha S^{\alpha\beta} = 2\eta_\alpha \int_\Sigma (z - x)^{[\alpha} T^{\beta]\gamma} \eta_\gamma d\Sigma, \quad (3.139)$$

usando el hecho de que en cada hipersuperficie $z^0 = x^0$,

$$\eta_\alpha S^{\alpha\beta} = -\eta_\alpha \int_\Sigma (z - x)^a T^{\alpha\beta} \eta_\beta d\Sigma, \quad (3.140)$$

por lo tanto

$$\eta_\alpha S^{\alpha\beta} = 0. \quad (3.141)$$

El vector η^α puede interpretarse físicamente como aquel que define el sistema de referencia en reposo, es decir, en el cual el momentum es nulo, en el sentido que

$$p^\kappa = M\eta^\kappa, \quad (3.142)$$

donde η^κ es un vector unitario temporal y M es una constante positiva, considerada la masa total del cuerpo.

En un espacio curvo la definición del centro de masa reduce la arbitrariedad en las definiciones de línea de mundo $z^\alpha(s)$ y las hipersuperficies de integración Σ_s . Su desarrollo está formalmente plasmado en los trabajos de Pryce [45], Beiglböck [46] y Schattner [47], quienes demuestran su existencia y unicidad bajo ciertas condiciones.

Asumiendo que \mathcal{T} satisface el segundo postulado de la Relatividad General ; bajo la definición 3.2.2, el corolario 3.2.1 y las condiciones establecidas para γ y Σ_s en la anterior sección, se puede mostrar que

en cada punto $z \in \Sigma \cap \mathcal{W}$ siempre debe existir un vector unitario temporal \mathbf{u} dirigido hacia el futuro, tal que

$$p^{[\alpha} u^{\beta]} = 0, \quad u_\beta u^\beta = -1. \quad (3.143)$$

En estas condiciones, la arbitrariedad en la escogencia de z puede ser removida seleccionando el punto z_0 en $\Sigma \cap \mathcal{W}$ donde

$$u_\alpha(z_0) S^{\alpha\beta}(z_0) = 0. \quad (3.144)$$

Como Σ varia en una familia uniparamétrica de secciones transversales $\Sigma(s)$, $z_0(s)$ describe una línea de mundo γ_0 en \mathcal{W} , la cual, por analogía con (3.141), se define como el centro de masa del cuerpo.

En general u^α es diferente de v^α , el cual, siendo tangencial a γ_0 , describe el cuádrivector velocidad del cuerpo. Sin embargo γ_0 puede ser parametrizada de forma que

$$u_\kappa v^\kappa = -1, \quad (3.145)$$

lo cual corresponde a la elección de ds , en cada punto de la línea de mundo, como el intervalo de tiempo transcurrido en el sistema en el cual la componente espacial del cuádrimomentum es cero [1].

A lo largo de γ_0 se tiene, a partir de (3.143)

$$p^\kappa = M u^\kappa, \quad (3.146)$$

donde M es una cantidad positiva interpretada como la masa total del cuerpo, que no es necesariamente constante. Esta ecuación establece que la foliación $\{\Sigma_s\}$ es aquella que es escogida por observadores de momentum cero.

Con base en esta construcción se define la línea de mundo centro de masa como la curva γ_0 suave (C^1), parametrizada por $z_0(s)$, con $z_0(s) \in \text{supp}(\mathcal{T})$ para todo s , tal que $m^\alpha(z_0(s)) = 0$, con m^α el momento dipolar. Schattner [47] muestra que $z \notin \text{supp}(\mathcal{T})$ implica $m^\alpha(z) \neq 0$ y que la intersección de cualquier hipersuperficie espacial con $\text{supp}(\mathcal{T})$ contiene al menos un z_0 tal que $m^\alpha(z_0) = 0$.

Al remover la arbitrariedad en la escogencia de z se selecciona una familia de hipersuperficies Σ_s , definidas como la unión de todas las geodésicas ortogonales a u^α que pasan a través de z_0 . Por lo tanto, $x \in \Sigma_s$ implica

$$u_\alpha(z_0) \Omega^\alpha(z_0, x) = 0. \quad (3.147)$$

Definiendo el momento dipolar de masa como

$$m^\alpha \equiv u_\beta(z_0)S^{\alpha\beta}(z_0), \quad (3.148)$$

por (3.126) y (3.147) se tiene

$$m^\alpha \equiv - \int_{\Sigma(z)} \Omega^\alpha u_\delta H_\epsilon^\delta T^{\epsilon\beta} d\Sigma_\beta. \quad (3.149)$$

Entonces la definición de centro de masa en relatividad especial puede generalizarse a un espacio-tiempo arbitrario, usando la definición de momentum siendo paralelo a u^α , como

$$p_\alpha S^{\alpha\beta} = 0, \quad (3.150)$$

es decir, la noción de que la posición del centro de masa del cuerpo es el punto alrededor del cual su momento dipolar de masa se anula en el sistema de momentum cero.

Nótese que bajo la condición (3.150) las componentes independientes del tensor momentum angular se reducen de seis a tres, lo que permite definir un vector espín que contenga toda la información de este tensor. Esto se escribe explícitamente como

$$S^\kappa = \frac{1}{2} \sqrt{-g} \epsilon_{\kappa\lambda\mu\nu} u^\nu S^{\lambda\mu}, \quad (3.151)$$

donde $\epsilon_{\alpha\beta\gamma\delta}$ es el símbolo de Levi-Civita.

Es importante analizar la forma en que cambia la masa total del cuerpo a lo largo de γ_0 . Derivando la ecuación (3.146) y contrayendo con u_κ , se tiene

$$\frac{\delta p^\kappa}{\delta s} u_\kappa = \frac{\delta M}{\delta s} u^\kappa u_\kappa + M \frac{\delta u^\kappa}{\delta s} u_\kappa. \quad (3.152)$$

Teniendo en cuenta que M es un escalar y aplicando la ecuación (3.143)

$$\frac{dM}{ds} = - \frac{\delta p^\kappa}{\delta s} u_\kappa, \quad (3.153)$$

que en términos de la fuerza (3.134) está dada por

$$\frac{dM}{ds} = \frac{1}{2} S^{\mu\nu} v^\lambda u_\kappa R_{\mu\nu\lambda}{}^\kappa + F^\kappa u_\kappa. \quad (3.154)$$

Por lo tanto en espacio-tiempo plano la masa total del cuerpo es constante a lo largo de γ_0 . Sin embargo, esto también ocurre cuando el espacio-tiempo es maximalmente simétrico, en cuyo caso se debe expresar la variación de la masa en términos de la fuerza y el torque.

Contrayendo la ecuación (3.134) con respecto a v_κ y derivando el momentum en (3.146), se obtiene

$$F^\kappa v_\kappa = \frac{dM}{ds} u^\kappa v_\kappa + M \frac{\delta u^\kappa}{\delta s} v_\kappa - \frac{1}{2} S^{\mu\nu} v^\lambda v_\kappa R_{\mu\nu\lambda}{}^\kappa. \quad (3.155)$$

Debido a las propiedades de antisimetría del tensor de Riemann el último término se anula, entonces

$$F^\kappa v_\kappa = \frac{dM}{ds} u^\kappa v_\kappa + M \frac{\delta u^\kappa}{\delta s} v_\kappa. \quad (3.156)$$

La relación con el torque se obtiene contrayendo la ecuación (3.135) con respecto a $u_\kappa \frac{\delta u_\lambda}{\delta s}$, luego

$$L^{\kappa\lambda} u_\kappa \frac{\delta u_\lambda}{\delta s} = \frac{\delta S^{\kappa\lambda}}{\delta s} u_\kappa \frac{\delta u_\lambda}{\delta s} + M v^\lambda \frac{\delta u_\lambda}{\delta s} + p^\lambda v^\kappa u_\kappa \frac{\delta u_\lambda}{\delta s}. \quad (3.157)$$

Al derivar (3.144) y contraer con respecto a $\frac{\delta u_\lambda}{\delta s}$, se deduce que

$$u_\kappa \frac{\delta u_\lambda}{\delta s} \frac{\delta S^{\kappa\lambda}}{\delta s} = 0, \quad (3.158)$$

entonces

$$L^{\kappa\lambda} u_\kappa \frac{\delta u_\lambda}{\delta s} = M v^\lambda \frac{\delta u_\lambda}{\delta s} + p^\lambda v^\kappa u_\kappa \frac{\delta u_\lambda}{\delta s}. \quad (3.159)$$

Aplicando (3.146) y (3.143) el último término se anula, reduciéndose la expresión a

$$M v^\lambda \frac{\delta u_\lambda}{\delta s} = L^{\kappa\lambda} u_\kappa \frac{\delta u_\lambda}{\delta s}. \quad (3.160)$$

Por lo tanto la ecuación (3.156) toma la forma

$$F^\kappa v_\kappa = \frac{dM}{ds} u^\kappa v_\kappa + L^{\kappa\lambda} u_\kappa \frac{\delta u_\lambda}{\delta s}, \quad (3.161)$$

así, aplicando la antisimetría de $L^{\kappa\lambda}$, se obtiene

$$\frac{dM}{ds} = (u^\kappa v_\kappa)^{-1} \left[F^\mu v_\mu + u_\nu \frac{\delta u_\mu}{\delta s} L^{\mu\nu} \right]. \quad (3.162)$$

Como resultado adicional se tiene que el primer momento multipolar que causa una pérdida o una absorción de energía gravitacional, por parte del cuerpo, es el cuadrupolo, pues la fuerza y el torque representan esos órdenes superiores en la expansión multipolar.

La discusión sobre el centro de masa en Relatividad General se completa al encontrar la ecuación análoga a (3.27), que proporciona la velocidad del centro de masa en términos de las propiedades del cuerpo. Esta analogía no está determinada por la relación (3.146), debido a que el momentum no es paralelo a la velocidad por acción de la fuerza [1]. Entonces la velocidad del centro de masa debe estar relacionada, en general, con la fuerza y el torque, es decir, con la estructura multipolar del cuerpo de orden superior al cuadrupolo. La manipulación algebraica que conduce a la solución de este problema fue desarrollada

en [48] y se presenta a continuación siguiendo [1, 26].

Como primer paso se deriva la ecuación (3.150) a lo largo de z_0 , luego

$$\frac{\delta}{\delta s} (p_\sigma S^{\mu\sigma}) = \frac{\delta p_\sigma}{\delta s} S^{\mu\sigma} + p_\sigma \frac{\delta S^{\mu\sigma}}{\delta s} = 0. \quad (3.163)$$

Utilizando (3.135) y (3.146) en el último término se tiene

$$\frac{\delta p_\sigma}{\delta s} S^{\mu\sigma} + M u_\sigma \left[L^{\mu\sigma} + 2M u^{[\mu} v^{\sigma]} \right] = 0, \quad (3.164)$$

lo cual, aplicando (3.145), se reduce a

$$\frac{\delta p_\sigma}{\delta s} S^{\mu\sigma} + M u_\sigma L^{\mu\sigma} + M^2 v^\mu - M^2 u^\mu = 0. \quad (3.165)$$

Sea $M^2 t^\mu = M u_\sigma L^{\mu\sigma} - M^2 u^\mu$, entonces

$$\frac{\delta p_\sigma}{\delta s} S^{\mu\sigma} + M^2 (t^\mu + v^\mu) = 0. \quad (3.166)$$

Despejando la velocidad se obtiene

$$v^\mu = -t^\mu - \frac{1}{M^2} \frac{\delta p_\sigma}{\delta s} S^{\mu\sigma}. \quad (3.167)$$

Al reemplazar en (3.134) da como resultado

$$\frac{\delta p_\nu}{\delta s} = F_\nu - \frac{1}{2} S^{\kappa\lambda} R_{\kappa\lambda\mu\nu} t^\mu - \frac{1}{2M^2} S^{\kappa\lambda} S^{\mu\sigma} R_{\kappa\lambda\mu\nu} \frac{\delta p_\sigma}{\delta s}. \quad (3.168)$$

Contrayendo esta ecuación con $S^{\tau\nu}$ y aprovechando las relaciones de simetría del tensor de Riemann (2.11),

$$S^{\tau\nu} \frac{\delta p_\nu}{\delta s} = S^{\tau\nu} \left(F_\nu - \frac{1}{2} S^{\kappa\lambda} R_{\kappa\lambda\mu\nu} t^\mu \right) - \frac{1}{2M^2} S^{\kappa\lambda} S^{\tau[\nu} S^{\mu]\sigma} R_{\kappa\lambda\mu\nu} \frac{\delta p_\sigma}{\delta s}. \quad (3.169)$$

A partir de la antisimetría del tensor momentum angular y la relación (3.144) se sigue que $S^{\tau\nu}$ tiene un rango a lo más de 2. En consecuencia $S^{[\tau\nu} S^{\mu]\sigma}$ debe anularse, lo cual implica que

$$S^{\tau[\nu} S^{\mu]\sigma} = \frac{1}{2} S^{\mu\nu} S^{\tau\sigma}. \quad (3.170)$$

Entonces, la ecuación (3.169) se reduce a

$$S^{\tau\sigma} \frac{\delta p_\sigma}{\delta s} \left(1 + \frac{1}{4M^2} S^{\kappa\lambda} S^{\mu\nu} R_{\kappa\lambda\mu\nu} \right) = S^{\tau\nu} \left(F_\nu - \frac{1}{2} S^{\kappa\lambda} R_{\kappa\lambda\mu\nu} t^\mu \right). \quad (3.171)$$

Sustituyendo (3.166) se tiene

$$-M^2 (t^\tau + v^\tau) \left(1 + \frac{1}{4M^2} S^{\kappa\lambda} S^{\mu\nu} R_{\kappa\lambda\mu\nu} \right) = S^{\tau\nu} \left(F_\nu - \frac{1}{2} S^{\kappa\lambda} R_{\kappa\lambda\mu\nu} t^\mu \right). \quad (3.172)$$

Para despejar la velocidad se hace uso de la relación (3.146) y se despliega t^τ , de tal forma que

$$Mv^\mu = p^\mu - u_\nu L^{\mu\nu} - \frac{S^{\mu\nu} [MF_\nu - \frac{1}{2} S^{\kappa\lambda} (p^\tau - u_\sigma L^{\tau\sigma}) R_{\kappa\lambda\nu\tau}]}{M^2 + \frac{1}{4} S^{\kappa\lambda} S^{\tau\nu} R_{\kappa\lambda\tau\nu}}. \quad (3.173)$$

Así pues, en el límite de espacio-tiempo plano, el cuádrimomentum total será igual al producto de la masa en reposo del cuerpo en el sistema centro de masa y la cuádrivelocidad de este sistema, como se espera de la Teoría Especial de la Relatividad [13].

La ecuación (3.173) diverge si el término que está en el denominador es nulo, lo cual se puede interpretar como una restricción sobre $S^{\kappa\lambda}/M$. Esta restricción es considerada como una de las condiciones requeridas para que el centro de masa exista y sea único [35, 47].

El problema de la dinámica de un cuerpo extendido se reduce, entonces, a un sistema de ecuaciones diferenciales ordinarias para la velocidad del centro de masa v^μ , el momentum lineal p^μ y el momentum angular $S^{\mu\nu}$. Resta encontrar la forma para la fuerza y el torque en (3.134) y (3.135) que, en analogía con el caso newtoniano, se espera que esté en términos de los momentos multipolares del cuerpo y las derivadas de los potenciales gravitacionales.

3.2.3. Fuerza y Torque

Habiendo encontrado la ecuación de movimiento para P_ξ en términos del momentum lineal p^μ y del momentum angular $S^{\mu\nu}$, es necesario estudiar el cambio del momentum generalizado de acuerdo con su definición. Esto permite encontrar una expresión para la fuerza y el torque, siguiendo un método similar al desarrollado en el caso newtoniano en la sección (3.1.5).

Considérese la definición del funcional de momentum, precisada en (3.122). La diferencia en P_ξ entre dos tiempos s_1 y $s_2 > s_1$ está dada por

$$\delta P_\xi(\Sigma_{s_1}, \Sigma_{s_2}) := P_\xi(\Sigma_{s_2}) - P_\xi(\Sigma_{s_1}). \quad (3.174)$$

Siguiendo el mismo análisis del corolario 3.2.1 se tiene que

$$\begin{aligned} \delta P_\xi(\Sigma_{s_1}, \Sigma_{s_2}) &= \int_{\mathcal{D}} \nabla_\beta (\xi_\alpha T^{\alpha\beta}) dV \\ &= \int_{\mathcal{D}} T^{\alpha\beta} \nabla_\beta \xi_\alpha dV + \int_{\mathcal{D}} \xi_\alpha \nabla_\beta T^{\alpha\beta} dV, \end{aligned} \quad (3.175)$$

con $dV = \sqrt{-g}d^4x$. Aplicando el segundo postulado y la definición de la derivada de Lie de la métrica (2.16), se obtiene

$$\delta P_\xi(\Sigma_{s_1}, \Sigma_{s_2}) = \frac{1}{2} \int_{\mathcal{D}} T^{\alpha\beta} \mathcal{L}_\xi g_{\alpha\beta} dV. \quad (3.176)$$

Esta ecuación se puede expresar en forma diferencial tomando el elemento $dS := t^\alpha d\Sigma_\alpha$, donde t^α es el vector evolución temporal para $\{\Sigma_s\}$, así [35]

$$\frac{dP_\xi}{ds}(\Sigma_s) = \frac{1}{2} \int_{\Sigma_s} T^{\alpha\beta} \mathcal{L}_\xi g_{\alpha\beta} dS. \quad (3.177)$$

Entonces, el problema se reduce a encontrar una expresión para la derivada de Lie de la métrica. En efecto, si los campos vectoriales ξ^μ son de Killing, la derivada de Lie de la métrica es nula, luego el momentum generalizado se conserva. Sin embargo, un espacio-tiempo general puede carecer de campos de Killing.

En el caso newtoniano, tanto el momentum lineal como el momentum angular podían ser definidos por medio del funcional de momentum, considerando la existencia de seis vectores de Killing independientes (ver 3.1.5). Por su parte, las definiciones de los momentums en Relatividad General son independientes de los campos de Killing (ecuaciones 3.125 y 3.126). Sin embargo, estas definiciones se realizan a partir de la ecuación (3.123), la cual requiere que el campo vectorial ξ^α sea escogido de un espacio vectorial de diez dimensiones (para definir el cuádrimomentum y el tensor de segundo orden antisimétrico momentum angular) con la propiedad de que cada vector está determinado sobre una hipersuperficie Σ_s , bajo la existencia de una uno-forma arbitraria $\Xi_\alpha(z)$ y una dos-forma arbitraria $\nabla_\alpha \Xi_\beta(z)$ en el punto $z \in \Sigma_s$ [35]. Se asume, entonces, que ξ^α toma la forma

$$\xi^\alpha = g^{\alpha\beta} \Xi_\beta, \quad (3.178)$$

donde Ξ_α es un *campo de Killing generalizado*, el cual se construye a partir de la métrica y de la definición de una línea temporal $\gamma = \{z(s) | s \in \mathbb{R}\}$ [35, 49]. Estos campos comparten varias propiedades con los campos de Killing, entre ellas que el conocimiento de su valor inicial y su primera derivada en un punto de la línea de mundo, fija el campo vectorial a través de un subconjunto abierto de la variedad $W \supset \mathcal{W}$ (contiene al cuerpo), el cual es vecindad de γ . La dependencia de valores iniciales es lineal y no degenerada. Para un sistema dado, existe entonces diez campos de Killing generalizados en cada espacio-tiempo cuatridimensional, que satisfacen

$$\mathcal{L}_\xi g_{\alpha\beta}|_\gamma = \nabla_\alpha \mathcal{L}_\xi g_{\alpha\beta}|_\gamma = 0. \quad (3.179)$$

Se considera a partir de ahora que ξ representa un campo generalizado de Killing. Los campos de Killing generalizados son derivados a partir de una familia uniparamétrica de campos de Jacobi $\psi^\alpha(x, s)$, por

$$\xi^\alpha(x) = \psi^\alpha(x, s), \quad (3.180)$$

entonces

$$\begin{aligned} \mathcal{L}_\xi g_{\kappa\lambda}(x) &= \nabla_\kappa \psi_\lambda + \nabla_{\kappa s} \frac{d\psi_\lambda}{ds} + \nabla_\lambda \psi_\kappa + \nabla_{\lambda s} \frac{d\psi_\lambda}{ds} \\ &= \mathcal{L}_\psi g_{\kappa\lambda} + 2\nabla_{(\kappa s} \frac{d}{ds} \psi_{\lambda)}. \end{aligned} \quad (3.181)$$

Siguiendo el mismo método utilizado en mecánica newtoniana, la derivada de Lie de los potenciales gravitacionales, representados en el tensor métrico, se obtiene a partir de una expansión de Taylor de la métrica alrededor de $z \in \gamma$. Empleando coordenadas normales de Riemann (apéndice A) se tiene

$$g_{\kappa\lambda}(x) = \Omega_\kappa^\alpha \Omega_\lambda^\beta \sum_{n=0}^N \frac{(-1)^n}{n!} \Omega^{\gamma_1} \dots \Omega^{\gamma_n} g_{\alpha\beta, \gamma_1 \dots \gamma_n}(z), \quad (3.182)$$

donde $g_{\alpha\beta, \gamma_1 \dots \gamma_n}(z)$ es la n -ésima extensión de $g_{\alpha\beta}$ evaluada en el punto z [29]. Teniendo en cuenta que la derivada de Lie del vector tangente Ω^α es nula

$$\mathcal{L}_\psi \Omega^\alpha(x, z) = \mathcal{L}_\psi \Omega_\kappa^\alpha(x, z) = 0, \quad (3.183)$$

entonces, según la expansión para la métrica (3.182), el primer término de (3.181) toma la forma

$$\mathcal{L}_\psi g_{\kappa\lambda} = \Omega_\kappa^\alpha \Omega_\lambda^\beta \left\{ \mathcal{L}_\psi g_{\alpha\beta} - \mathcal{L}_\psi(\Omega^{\lambda_1} g_{\alpha\beta, \gamma_1}) + \sum_{n=2}^N \frac{(-1)^n}{n!} \Omega^{\gamma_1} \dots \Omega^{\gamma_n} \mathcal{L}_\psi g_{\alpha\beta, \gamma_1 \dots \gamma_n} \right\}_{(x, s)}. \quad (3.184)$$

Teniendo en cuenta que la derivada de Lie de la métrica alrededor de la línea de mundo es nula y que en coordenadas normales la derivada de la métrica es cero por lo que $g_{\alpha\beta, \gamma_1} = 0$, se sigue que

$$\boxed{\mathcal{L}_\psi g_{\kappa\lambda} = \Omega_\kappa^\alpha \Omega_\lambda^\beta \left\{ \sum_{n=2}^N \frac{(-1)^n}{n!} \Omega^{\gamma_1} \dots \Omega^{\gamma_n} \mathcal{L}_\psi g_{\alpha\beta, \gamma_1 \dots \gamma_n} \right\}_{(x, s)}}. \quad (3.185)$$

Hace falta encontrar $d\psi/ds$. Extendiendo el término de mano izquierda en la ecuación (3.183)

$$\psi^\beta \Omega_\beta^\alpha + \psi^\kappa \Omega_\kappa^\alpha - \Omega^\beta \nabla_\beta \psi^\alpha = 0 \quad (3.186)$$

y tomando la derivada covariante ∇_γ se obtiene

$$\Omega_\kappa^\alpha \nabla_\gamma \psi^\kappa = -\psi^\kappa \nabla_\gamma \Omega_\kappa^\alpha - \Omega_\beta^\alpha \nabla_\gamma \psi^\beta - \psi^\beta \nabla_\gamma \Omega_\beta^\alpha + \Omega_\gamma^\beta \nabla_\beta \psi^\alpha + \Omega^\beta \nabla_\beta \psi^\alpha, \quad (3.187)$$

donde

$$\nabla_\gamma \Omega^\alpha_\kappa = \nabla_\kappa \Omega^\alpha_\gamma \quad (3.188)$$

por la regla de intercambio para las derivadas de la función de mundo.

De acuerdo con (2.58), los campos de Jacobi cumplen las ecuaciones

$$\frac{\delta \psi_\alpha}{\delta s} - \frac{dz^\beta}{ds} \nabla_\beta \psi_\alpha(z, s) = 0 \quad (3.189)$$

y

$$\frac{\delta}{\delta s} \nabla_\alpha \psi_\beta(z, s) + R_{\alpha\beta\gamma}{}^\delta \frac{dz^\gamma}{ds} \psi_\delta(z, s) = 0, \quad (3.190)$$

de donde se obtiene

$$\nabla_{\beta\gamma} \psi^\alpha = -R^\alpha_{\eta\beta\gamma} \psi^\eta + \nabla_{\gamma\beta} \psi^\alpha. \quad (3.191)$$

Adicionalmente, de la definición del tensor de Riemann (2.8) se tiene

$$\nabla_\gamma \Omega^\alpha_\beta = -R^\alpha_{\eta\beta\gamma} \Omega^\eta + \nabla_\beta \Omega^\alpha_\gamma. \quad (3.192)$$

Por lo tanto, sustituyendo en la ecuación (3.187) se sigue que

$$\Omega^\alpha_\kappa \nabla_\gamma \psi^\kappa = -\psi^\kappa \nabla_\kappa \Omega^\alpha_\gamma - \psi^\beta \nabla_\beta \Omega^\alpha_\gamma + \Omega^\beta_\gamma \nabla_\beta \psi^\alpha - \Omega^\alpha_\beta \nabla_\gamma \psi^\beta + \Omega^\eta R^\alpha_{\eta\beta\gamma} \psi^\beta + \Omega^\beta \nabla_{\beta\gamma} \psi^\alpha. \quad (3.193)$$

Dado

$$\mathcal{L}_\psi \Omega^\alpha_\beta = \psi^\gamma \nabla_\gamma \Omega^\alpha_\beta + \psi^\kappa \nabla_\kappa \Omega^\alpha_\beta - \Omega^\gamma_\beta \nabla_\gamma \psi^\alpha + \Omega^\alpha_\gamma \nabla_\beta \psi^\gamma, \quad (3.194)$$

la ecuación (3.193) toma la forma

$$\Omega^\alpha_\kappa \frac{dz^\gamma}{ds} \nabla_\gamma \psi^\kappa = -\frac{dz^\gamma}{ds} \mathcal{L}_\psi \Omega^\alpha_\gamma + \Omega^\eta R^\alpha_{\eta\beta\gamma} \frac{dz^\gamma}{ds} \psi^\beta + \Omega^\beta \frac{dz^\gamma}{ds} \nabla_{\beta\gamma} \psi^\alpha. \quad (3.195)$$

De acuerdo con la ecuación (3.190) los dos últimos términos de la ecuación (3.195) se anulan, por lo tanto la variación para el campo de Jacobi está dada por

$$\Omega^\alpha_\kappa \frac{d\psi^\kappa}{ds} = -\frac{dz^\gamma}{ds} \mathcal{L}_\psi \Omega^\alpha_\gamma, \quad (3.196)$$

que en términos del propagador de Jacobi (2.60), es

$$\frac{d\psi^\kappa}{ds} = \frac{dz^\gamma}{ds} H^\kappa_\alpha \mathcal{L}_\psi \Omega^\alpha_\gamma. \quad (3.197)$$

De esta forma, con el fin de encontrar una expresión para la variación de ψ con respecto al parámetro s en la ecuación (3.181), es necesario hallar $\mathcal{L}_\psi \Omega^\alpha_\beta$. De acuerdo con (2.37) y (2.38), derivando dos veces la función de mundo con respecto a las coordenadas del punto z , se obtiene

$$\Omega^\alpha_\beta = \Omega^\kappa \Omega^\alpha_{\beta\kappa} + \Omega^\alpha_\kappa \Omega^\kappa_\beta. \quad (3.198)$$

Sea $\omega(u)$ una geodésica afinmente parametrizada que conecta z con x , se tiene [49]

$$0 = \left[u^2 \frac{d}{du} (u^{-1} \mathcal{L}_\psi \Omega^\alpha_\beta) - \Omega^{\alpha\rho} \Omega_\beta^\sigma \mathcal{L}_\psi g_{\rho\sigma} \right]_{(\omega(u), z)}, \quad (3.199)$$

Normalizando u tal que $\omega(0) = z$ y $\omega(1) = x$, la expresión anterior conduce a una solución para la ecuación dada por

$$\mathcal{L}_\psi \Omega^\alpha_\beta(x, z) = \int_0^1 du u^{-2} \Omega^{\alpha\rho}(\omega, z) \Omega_\beta^\sigma(\omega, z) \mathcal{L}_\psi g_{\rho\sigma}(\omega). \quad (3.200)$$

Por lo tanto este resultado junto con (3.197) conduce a

$$\frac{d\psi_\kappa}{ds} = \frac{dz^\beta}{ds} H_\kappa^\alpha \int_0^1 du u^{-2} \Omega_\alpha^\rho(\omega, z) \Omega_\beta^\sigma(\omega, z) \mathcal{L}_\psi g_{\rho\sigma}(\omega), \quad (3.201)$$

Entonces, haciendo uso de (3.195) se tiene

$$\frac{d\psi_\kappa}{ds} \simeq \frac{dz^\beta}{ds} H_\kappa^\alpha \int_0^1 du u^{-2} \Omega_\alpha^\rho(\omega, z) \Omega_\beta^\sigma(\omega, z) \left[\Omega_\rho^\delta \Omega_\sigma^\epsilon \sum_{n=2}^N \frac{(-1)^n}{n!} \Omega^{\gamma_1} \dots \Omega^{\gamma_n} \mathcal{L}_\psi g_{\delta\epsilon, \gamma_1 \dots \gamma_n} \right]_{(\omega, s)}. \quad (3.202)$$

Sustituyendo (3.185) y (3.202) en la ecuación (3.181), la derivada de Lie de la métrica queda expresada como

$$\mathcal{L}_\xi g_{\kappa\lambda}(x) \simeq \sum_{n=2}^N \frac{1}{n!} \left\{ \left[\Omega_\kappa^\alpha \Omega_\lambda^\beta + \frac{2}{n-1} \Theta_{(n)}^{\alpha\beta} z^\epsilon H_{(\lambda}^\delta \nabla_{\kappa)} s \right] \Omega^{\gamma_1} \dots \Omega^{\gamma_n} \mathcal{L}_\xi g_{\alpha\beta, \gamma_1 \dots \gamma_n}(z) \right\}_{(x, s)} \quad (3.203)$$

Donde

$$\Theta_{(n)}^{\kappa\lambda\mu\nu}(z, x) = (n-1) \int_0^1 \left[\Omega^{\kappa\rho} \Omega_{(\mu}^\rho \Omega_{\nu)}^\sigma \Omega^{\lambda\sigma} \right]_{(\omega, z)} u^{n-2} du, \quad (3.204)$$

para $n \geq 2$, que en espacio plano se reduce a

$$\Theta_{(n)}^{\kappa\lambda\mu\nu}(z, x) = g^{\kappa(\mu} g^{\nu)\lambda},$$

para todo n y todo x , por lo cual se incluye el factor $(n - 1)$ en la definición [30].

A partir de (3.177) se sigue que la fuerza y el torque pueden ser expandidos en series, de tal forma que el momentum generalizado satisfaga

$$\frac{dP_\xi}{ds}(\Sigma_s) = \frac{1}{2} \sum_{n=2}^{\infty} \frac{1}{n!} I^{\gamma_1 \dots \gamma_n \alpha \beta}(s) \mathcal{L}_\xi g_{\alpha \beta, \gamma_1 \dots \gamma_n}(z). \quad (3.205)$$

Donde, en analogía con el caso newtoniano, los coeficientes $I^{\gamma_1 \dots \gamma_n \alpha \beta}(s)$ representan los momentos multipolares asociados a la distribución de momentum-energía, representada en $T^{\alpha \beta}$. Entonces, la fuerza y el torque están directamente relacionados con los momentos de órdenes igual o superiores al cuadrupolar. Estos momentos cumplen las siguientes relaciones de simetría:

$$\begin{aligned} I^{\gamma_1 \dots \gamma_n \mu \nu} &= I^{(\gamma_1 \dots \gamma_n)(\mu \nu)}, \quad \text{para } n \geq 0 \\ I^{(\gamma \mu \nu)} &= 0 \quad \text{y} \quad I^{(\gamma_1 \dots \gamma_n \mu) \nu} = 0, \quad \text{para } n \geq 2. \end{aligned} \quad (3.206)$$

Considerando las ecuaciones (3.203), (3.205) y (3.133), se definen las componentes los momentos multipolares como [30]

$$\begin{aligned} t^{\kappa_1 \dots \kappa_n \lambda \mu}(s) &:= (-1)^n \int_{\Sigma_s} \Omega^{\kappa_1} \dots \Omega^{\kappa_n} \Omega^\lambda \Omega^\mu T^{\alpha \beta} dS, \quad \text{si } n \geq 2, \\ p^{\kappa_1 \dots \kappa_n \lambda \mu \nu}(s) &:= 2(-1)^n \int_{\Sigma_s} \Omega^{\kappa_1} \dots \Omega^{\kappa_n} \Theta^{\rho \nu \lambda \mu} H_{\alpha \rho} T^{\alpha \beta} d\Sigma_\beta, \quad \text{si } n \geq 2. \end{aligned} \quad (3.207)$$

Existen dos formas equivalentes de expresar los momentos multipolares, dependiendo de las relaciones de simetría que cumplen las integrales que dan origen a estos. Una de ella es mediante el tensor \mathcal{J} , el cual posee las mismas simetrías de los momentos multipolares de esfuerzos en (3.13), que se define como

$$\mathcal{J}^{\kappa_1 \dots \kappa_n \mu \nu \rho} = t^{\kappa_1 \dots \kappa_n [\lambda [\nu \mu] \rho]} + \frac{1}{n+1} p^{\kappa_1 \dots \kappa_n [\lambda [\nu \mu] \rho] \tau} v_\tau, \quad \text{para } n \geq 0. \quad (3.208)$$

Este se relaciona con el tensor I por medio de [50]

$$I^{\kappa_1 \dots \kappa_n \lambda \mu} = \frac{4(n-1)}{n+1} \mathcal{J}^{(\kappa_1 \dots \kappa_{n-1} |\lambda| \kappa_n) \mu}, \quad \text{para } n \geq 2. \quad (3.209)$$

a partir de (3.207) es claro que los momentos multipolares definidos, dependen de la distribución de materia-energía y de los potenciales gravitacionales representados por el tensor métrico. Al reemplazar (3.205) en la ecuación (3.133), teniendo en cuenta la definición de la derivada de Lie, se obtienen las ecuaciones de evolución para el momentum lineal y el momentum angular, las cuales están dadas por

$$\boxed{\frac{\delta p^\nu}{\delta s} = \frac{1}{2} S^{\kappa \lambda} v^\mu R_{\kappa \lambda \mu}{}^\nu + \frac{1}{2} g^{\mu \nu} \sum_{n=2}^N \frac{1}{n!} I^{\gamma_1 \dots \gamma_n \alpha \beta}(s) \nabla_\mu g_{\alpha \beta, \gamma_1 \dots \gamma_n}(z)} \quad (3.210)$$

y

$$\boxed{\frac{\delta S^{\kappa\lambda}}{\delta s} = 2p^{[\kappa}v^{\lambda]} + \sum_{n=1}^{N-1} \frac{1}{n!} g^{\eta[\kappa} I^{\lambda]\gamma_1 \dots \gamma_n \alpha\beta} g_{\{\eta\beta, \alpha\}\gamma_1 \dots \gamma_n}} \quad (3.211)$$

Se espera que estas series sean aproximaciones adecuadas para N pequeños. Esto se tiene como condición esencial en el cálculo de los momentos, pues para realizar la expansión de la métrica se consideró que los campos varían lentamente dentro de los cuerpos, es decir, que su tamaño característico es pequeño en comparación con la curvatura.

Las ecuaciones de movimiento (3.210), (3.211) y (3.173), junto con la ecuación de variación de la masa (3.162), constituyen el conjunto de ecuaciones diferenciales acopladas, que bajo la elección particular de un modelo de materia, dan solución al problema del movimiento de un cuerpo en Relatividad General .

Ecuaciones de movimiento para un cuerpo de prueba con estructura en una métrica estática e isotrópica

Una simplificación fundamental se obtiene cuando se considera el movimiento de un cuerpo cuyo tamaño se asume muy pequeño en comparación con los objetos que producen el campo en el cual se encuentra inmerso. En este caso se ignoran las autofuerzas, es decir, se supone que la influencia de dicho cuerpo sobre el campo gravitacional es despreciable. Sin embargo, el cuerpo puede guardar una estructura interna que afecte sus ecuaciones de movimiento. Dicho objeto se denomina *cuerpo de prueba extendido*.

En el caso en que el cuerpo de prueba considerado tenga una estructura monopolar, los términos correspondientes al momentum angular, la fuerza y el torque en las ecuaciones (3.134) y (3.135) se anulan, por lo tanto su ecuación de movimiento corresponderá a la de una geodésica. Pero cuando posea una estructura multipolar su movimiento se alejará de esta. Como se mencionó en el capítulo 3, las ecuaciones de movimiento de un cuerpo de prueba dependen de su momentum lineal, su momentum angular, la curvatura del espacio-tiempo y de fuerzas y torques que son expresados en términos de una expansión que depende de las derivadas de la métrica y de los momentos multipolares del tensor momentum-energía.

Considérese, entonces un cuerpo de prueba con estructura, el cual se mueve inmerso en un espacio-tiempo descrito por una métrica estática e isotrópica, que en coordenadas esféricas está dada por [10]

$$ds^2 = -A(r)c^2dt^2 + B(r)dr^2 + r^2(\sin^2\theta d\phi^2 + d\theta^2). \quad (4.1)$$

El movimiento del cuerpo estará gobernado por el sistema de ecuaciones acopladas (3.134) y (3.135), más una relación adicional que defina una línea de mundo particular al interior del tubo de mundo que contiene al cuerpo, para un tensor de curvatura, una fuerza y un torque correspondientes a la métrica (4.1).

La ecuación que define la línea de mundo es conocida en la literatura como la *condición suplementaria de espín*. Existen diferentes condiciones, cada una de las cuales da origen a distintas posiciones del centro de masa del cuerpo. La ecuación (3.150) es una de ellas y define el centro de masa como el punto alrededor del cual el momentum dipolar de masa del cuerpo se anula en el sistema de momentum cero. Un ejemplo adicional es la condición suplementaria de Corinaldesi-Papapetrou [51], que determina el centro de masa en el sistema en reposo del cuerpo atractor.

El objetivo de este capítulo es plantear y comparar las ecuaciones de movimiento de un cuerpo de prueba extendido en una métrica estática e isotrópica, para las dos condiciones suplementarias propuestas.

4.1. Ecuaciones de movimiento de Papapetrou

En esta sección se obtendrán las ecuaciones de movimiento de Papapetrou [3, 52] partiendo de las ecuaciones generales propuestas por Dixon e incorporando los términos relacionados con la fuerza y el torque, los cuales representan la contribución multipolar del cuerpo. Estas ecuaciones se presentan de forma covariante y son independientes de la escogencia de un centro de masa particular.

Considérense las ecuaciones generales de movimiento (3.134,3.135). Contrayendo (3.135) con u_ν y aplicando (3.143), (3.145) y (3.146), se tiene

$$u_\nu \frac{\delta S^{\mu\nu}}{\delta s} = -p^\mu + Mv^\mu + u_\nu L^{\mu\nu}. \quad (4.2)$$

Así el momentum se puede reescribir como

$$p^\mu = Mv^\mu - u_\sigma \frac{\delta S^{\mu\sigma}}{\delta s} + u_\sigma L^{\mu\sigma}, \quad (4.3)$$

el cual se sustituye en (3.135) para obtener

$$\frac{\delta S^{\mu\nu}}{\delta s} + 2u_\sigma v^{[\nu} \frac{\delta S^{\mu]\sigma}}{\delta s} + 2u_\sigma v^{[\mu} L^{\nu]\sigma} - L^{\mu\nu} = 0. \quad (4.4)$$

Esta expresión corresponde a la forma covariante de la ecuación de movimiento de Papapetrou para el momentum angular. Estrictamente es idéntica a dicha ecuación cuando se desprecia el torque, en cuyo caso se habla de la aproximación dipolar.

La antisimetría del tensor momentum angular reduce el número de ecuaciones en (4.4) a seis. Sin embargo, la elección de una condición suplementaria adecuada origina una relación adicional entre las componentes no nulas de $S^{\mu\nu}$, lo cual restringe el número de ecuaciones linealmente independientes. Considerando esta situación, resulta útil escribir las componentes espaciales de (4.4) como

$$\frac{\delta S^{ij}}{\delta s} + \frac{v^j}{v^0} \frac{\delta S^{0i}}{\delta s} - \frac{v^i}{v^0} \frac{\delta S^{0j}}{\delta s} - \frac{2}{v^0} v^{[i} L^{j]0} - L^{ij} = 0. \quad (4.5)$$

Por otro lado, la ecuación (4.3) implica una diferencia sustancial entre el momentum lineal del cuerpo y la velocidad del sistema asociado a un centro de masa, cuyo origen es la propia estructura del cuerpo. Escribiendo de forma explícita las componentes de (4.3) se tiene

$$\begin{aligned} p^0 &= Mv^0 - u_\sigma \frac{\delta S^{0\sigma}}{\delta s} + u_\sigma L^{0\sigma} \\ p^i &= Mv^i - u_0 \frac{\delta S^{i0}}{\delta s} - u_j \frac{\delta S^{ij}}{\delta s} + u_\sigma L^{i\sigma}. \end{aligned} \quad (4.6)$$

Reemplazando la ecuación (4.5) y teniendo en cuenta la antisimetría del tensor momentum angular, (4.6) se reduce a

$$p^\mu = M_* v^\mu - \frac{1}{v^0} \frac{\delta S^{0\mu}}{\delta s} + \frac{1}{v^0} L^{0\mu}, \quad (4.7)$$

donde M_* representa una masa efectiva asociada con la masa del cuerpo más una componente energética producto de la interacción entre la estructura multipolar del cuerpo y la curvatura del espacio-tiempo. Esta masa está dada por

$$M_* = M + M_s + M_L, \quad \text{con} \quad M_s = \frac{u_\sigma}{v^0} \frac{\delta S^{\sigma 0}}{\delta s} \quad \text{y} \quad M_L = \frac{u_\sigma}{v^0} L^{0\sigma}. \quad (4.8)$$

A partir de (4.7) se obtiene la ecuación de movimiento,

$$\frac{\delta M_* v^\mu}{\delta s} - \frac{\delta p^\mu}{\delta s} - \frac{\delta}{\delta s} \left(\frac{1}{v^0} \frac{\delta S^{0\mu}}{\delta s} \right) + \frac{\delta}{\delta s} \left(\frac{1}{v^0} L^{0\mu} \right) = 0, \quad (4.9)$$

donde la variación del momentum está dada por (3.134). Empleando las relaciones de simetría del tensor momentum angular y del tensor de Riemann,

$$\frac{\delta p^\mu}{\delta s} = -S^{\kappa\lambda} v^\nu \left(\partial_\kappa \Gamma_{\nu\lambda}^\mu + \Gamma_{\sigma\kappa}^\mu \Gamma_{\nu\lambda}^\sigma \right) + F^\mu. \quad (4.10)$$

Cuando se desprecian la estructura cuadrupolar y de orden superior del cuerpo, representadas en $L^{\mu\nu}$, (4.7) queda reducida a la ecuación de Papapetrou para el momentum lineal, con $M_* = M + M_s$. Donde M_s representa una forma de energía asociada con el acoplamiento espín-órbita.

4.2. Condición suplementaria de espín de Corinaldesi-Papapetrou

La condición suplementaria utilizada por Corinaldesi-Papapetrou es

$$S^{i0} = 0, \quad (4.11)$$

lo cual simplifica los cálculos en las ecuaciones (4.5) y (4.7) y reduce de manera evidente las componentes independientes del momentum angular a tres. Sin embargo, esta ecuación carece de significado, a menos que se especifique el sistema de referencia en el cual se cumple. Esto se logra si se considera el sistema en el cual el cuerpo central, cuya presencia gravitacional es muy superior a la del cuerpo de prueba, está en reposo. Este sistema se denomina el sistema de referencia en reposo del campo de Schwarzschild [20, 51].

Con el fin de fijar este sistema, introdúzcase una familia de observadores que realizan sus observaciones respecto a un conjunto de tétradas ortonormales λ_a^μ (apéndice A), definido por

$$\lambda_a^\mu g_{\mu\nu} \lambda_b^\nu = \eta_{ab}. \quad (4.12)$$

Por lo tanto el ejercicio de índices que etiquetan los vectores de la base de realiza con la métrica Minkowskiana. Los resultados de las posibles observaciones, referidas a esta base, realizadas por un observador con cuadrivelocidad λ_0^μ , se relacionan con las componentes físicas del tensor correspondiente $F^{\mu\nu\dots}$ así

$$F^{\mu\nu\dots} = \lambda_\mu^a \lambda_\nu^b \dots F^{\mu\nu\dots}. \quad (4.13)$$

Relacionando con cada punto de la línea de mundo un observador en reposo con respecto al campo de fondo, se tiene

$$\lambda_a^\mu = (a, 0, 0, 0), \quad (4.14)$$

donde a se calcula a partir de (4.12) tal que

$$\lambda_a^\mu = ((-g_{00})^{-1/2}, 0, 0, 0). \quad (4.15)$$

De acuerdo con (4.13) las componentes del tensor momentum angular cumplen

$$S^{a0} = (-g_{00})^{1/2} \lambda_\mu^a S^{\mu 0} = 0. \quad (4.16)$$

Esta elección particular de las componentes del momentum angular genera una condición sobre la ecuación (3.126), la cual se traduce en una restricción sobre los propagadores de Jacobi, que dependen del punto origen z , fijando de esta forma un centro de masa para el cuerpo.

La ecuación (4.11) implica que

$$\frac{\delta S^{ij}}{\delta s} = \frac{dS^{ij}}{ds} + \Gamma_{\kappa\lambda}^i v^\kappa S^{\lambda j} + \Gamma_{\kappa\lambda}^j v^\kappa S^{i\lambda}, \quad (4.17)$$

$$\frac{\delta S^{0i}}{\delta s} = \Gamma_{\kappa\lambda}^0 v^\kappa S^{\lambda i}. \quad (4.18)$$

La variación de S^{00} es en general nula debido a la antisimetría del tensor momentum angular. Reemplazando (4.17,4.18) en la ecuación (4.5) se obtiene

$$\frac{\delta S^{ij}}{\delta s} + \Gamma_{\kappa\lambda}^0 \frac{v^\kappa}{v^0} \left(v^j S^{\lambda i} - v^i S^{\lambda j} \right) - \frac{2}{v^0} L^{0[iv^j]} - L^{ij} = 0, \quad (4.19)$$

que corresponde a la ecuación de movimiento de momentum angular en el sistema de referencia en reposo de Schwarzschild. La ecuación de movimiento en este sistema viene dada por (4.9,4.10), de tal forma que

$$\frac{\delta(M_* v^\mu)}{\delta s} - \frac{\delta}{\delta s} \left(\frac{1}{v^0} \Gamma_{\kappa\lambda}^0 v^\kappa S^{\lambda\mu} \right) + S^{\kappa\lambda} v^\nu \left(\partial_\kappa \Gamma_{\nu\lambda}^\mu + \Gamma_{\sigma\kappa}^\mu \Gamma_{\nu\lambda}^\sigma \right) + F^\mu + \frac{\delta}{\delta s} \left(\frac{1}{v^0} L^{0\mu} \right) = 0. \quad (4.20)$$

4.2.1. Ecuaciones de movimiento en coordenadas isotrópicas

El uso de coordenadas isotrópicas para escribir las ecuaciones de movimiento, conducen a una mejor comprensión de la masa efectiva M_s y permiten un análisis más directo de los términos que las componen.

Considérese un sistema de referencia representado por las coordenadas x^0, x^1, x^2 y x^3 , donde las coordenadas espaciales están abreviadas por medio del vector \mathbf{r} con $r^2 = x^i x^j \delta_{ij}$. La métrica estática e isotrópica bajo este sistema está dada por

$$g_{00} = -A(r), \quad y \quad g_{ij} = \delta_{ij} - \frac{(1-B(r))}{r^2} x^i x^j, \quad (4.21)$$

de tal forma que los símbolos de Christoffel no nulos son:

$$\Gamma_{0i}^0 = \frac{\mu'_A}{2r} x^i, \quad \Gamma_{00}^i = \frac{A'}{2rB} x^i \quad (4.22)$$

$$\Gamma_{jk}^i = \left\{ \frac{1}{2r^2} \left[\mu'_B + \frac{2(1-B)}{rB} \right] x^j x^k - \frac{(1-B)}{rB} \delta_{jk} \right\} \frac{x^i}{r},$$

donde el símbolo prima denota diferenciación con respecto a r , con $\mu'_A = A'/A$ y $\mu'_B = B'/B$.

Como se mencionó anteriormente, la condición suplementaria de Corinaldesi-Papapetrou reduce las componentes del tensor momentum angular a tres, de tal manera que se puede definir un vector que las represente por medio de

$$S^k = \frac{1}{2} \epsilon_{ijm} \delta^{km} S^{ij}, \quad (4.23)$$

siendo ϵ_{ijk} el símbolo de Levi-Civita. Reemplazando (4.21) y (4.22) en la ecuación (4.19) la ecuación de movimiento de momentum angular se reduce a

$$\dot{\mathbf{S}} + \frac{1}{2r}(\mu'_B - \mu'_A)(\mathbf{r} \cdot \mathbf{v})\mathbf{S} + \frac{(1-B)}{r^2B}(\mathbf{r} \cdot \mathbf{S})\mathbf{v} + \frac{\mu'_A}{2r}(\mathbf{v} \cdot \mathbf{S})\mathbf{r} - \frac{1}{2r^3} \left[\mu'_B + \frac{2(1-B)}{rB} \right] (\mathbf{r} \cdot \mathbf{v})(\mathbf{r} \cdot \mathbf{S})\mathbf{r} - \boldsymbol{\tau} = 0. \quad (4.24)$$

Con

$$\boldsymbol{\tau} = \frac{1}{2}\epsilon_{ijm} \left(\frac{1}{2}L^{ij} + \frac{1}{v^0}L^{0[iv^j]} \right) \delta^{km}, \quad (4.25)$$

el cual es un vector que representa la contribución del torque. En (4.24) el punto denota derivada total con respecto al parámetro s , fijado mediante la relación (3.145).

Aplicando la condición suplementaria de espín en la ecuación (4.20) se obtiene la ecuación de movimiento, la cual está dada por

$$\boxed{\frac{d}{ds}(M_*v^0) + M_*\lambda^0 - F^0 = 0} \quad (4.26)$$

y

$$\boxed{\frac{d}{ds}(M_*\mathbf{v}) + M_*\boldsymbol{\lambda} + f(r)[\mathbf{S} \cdot (\mathbf{r} \times \mathbf{v})]\mathbf{r} + g(r)(\mathbf{r} \cdot \mathbf{v})(\mathbf{r} \times \mathbf{S}) + h(r)(\mathbf{v} \times \mathbf{S}) + \mathbf{F} - \frac{\mu'_A}{2r}(\mathbf{r} \times \boldsymbol{\tau}) - \boldsymbol{\varsigma} = 0}. \quad (4.27)$$

Donde

$$\lambda^0 = c\frac{\mu'_A}{r}(\mathbf{r} \cdot \mathbf{v})\dot{t}, \quad (4.28)$$

$$\boldsymbol{\lambda} = \frac{1}{2r} \left\{ \frac{c^2A'}{B}\dot{t}^2 - \frac{2(1-B)}{rB}|\mathbf{v}|^2 + \frac{1}{r^2} \left[\mu'_B + \frac{2(1-B)}{rB} \right] (\mathbf{r} \cdot \mathbf{v})^2 \right\} \mathbf{r},$$

$$\boldsymbol{\varsigma} = \frac{\delta}{\delta s} \left(\frac{1}{v^0}L^{0i} \right), \quad (4.29)$$

y f , g y h son funciones de las coordenadas, relacionadas con los potenciales gravitacionales, tal que

$$f(r) = -\frac{1}{2r^4B}(2 - 2B + \mu'_B r), \quad h(r) = \frac{1}{2r^2B}(2 - 2B - \mu'_A r), \quad (4.30)$$

$$g(r) = -\frac{1}{2r^4B}(2 - 2B - \mu'_A r) - \frac{1}{4r^3} \left(2\frac{A''}{A}r + 2\mu'_B - \mu'_A\mu'_B r - \mu'^2_A r \right).$$

Finalmente, la ecuación (4.8) que define la cantidad M_s , toma la forma

$$M_s = \frac{\mu'_A}{2rM} (\mathbf{r} \times \mathbf{p}) \cdot \mathbf{S}. \quad (4.31)$$

Por lo tanto M_s toma la forma característica de la interacción espín-órbita. No obstante, se debe tener en cuenta que el vector momentum no es igual a la masa por la velocidad del centro de masa y que su comportamiento está delimitado por la ecuación (3.134), que adquiere la forma vectorial

$$\frac{\delta \mathbf{p}}{\delta s} - f(r) [\mathbf{S} \cdot (\mathbf{r} \times \mathbf{v})] \mathbf{r} + \frac{(2 - 2B + rB')}{2r^2 B} (\mathbf{r} \cdot \mathbf{v})(\mathbf{r} \times \mathbf{S}) - \frac{(1 - B)}{r^2 B} (\mathbf{v} \times \mathbf{S}) - \mathbf{F} = 0. \quad (4.32)$$

Como se mencionó en el capítulo 3, la nulidad de la fuerza y el torque señala la existencia de simetrías que se relacionan con leyes de conservación. De esta forma, en el límite de aproximación dipolar las ecuaciones (4.26,4.27) determinan cantidades conservadas. Si se anula F^0 en la expresión (4.26) y se aplica (2.4) se tiene la ecuación

$$\frac{d}{ds} (AM_* v^0) = 0, \quad (4.33)$$

con $M_* = M + M_s$. De esta ecuación se obtiene la integral de energía, representada por $E = AM_* v^0$ [20,51].

4.3. Condición suplementaria de espín de Tulczyjew-Dixon

La condición suplementaria que aquí se denominará de Tulczyjew-Dixon [53,54], determina el centro de masa del cuerpo en el sistema en reposo de este, y corresponde a la restricción

$$p_\nu S^{\mu\nu} = 0. \quad (4.34)$$

De esta manera las ecuaciones de movimiento estarán determinadas por (3.173,3.134,3.135). La expresión (4.34) representa un sistema de ecuaciones que reduce el número de componentes independientes del tensor momentum energía a tres, tal que

$$S^{0i} = \frac{P_j}{P_0} S^{ij}. \quad (4.35)$$

Por lo tanto, se puede recurrir nuevamente a la definición del vector momentum angular dada por (4.23). Al aplicar el ejercicio de índices con la métrica (4.21), la ecuación (4.35) se reduce a

$$S^{0i} = -\frac{1}{Ap^0} \left[(\mathbf{p} \times \mathbf{S}) - \frac{(1 - B)}{r^2} (\mathbf{r} \cdot \mathbf{p})(\mathbf{r} \times \mathbf{S}) \right]^i. \quad (4.36)$$

Reemplazando la ecuación (3.173) para la velocidad del centro de masa en (3.135), se tiene que el término cinemático de la ecuación solo depende del torque y de términos cuadráticos del momentum angular. La ecuación de movimiento para el momentum angular, obtenida de esta forma es

$$\begin{aligned} \dot{\mathbf{S}} - \frac{\mu'_A}{2rBM_*} \left[\mathbf{r} \times (\mathbf{p} \times \mathbf{S}) - \frac{(1-B)}{r^2} (\mathbf{r} \cdot \mathbf{p})(\mathbf{r} \times (\mathbf{r} \times \mathbf{S})) \right] + \frac{1}{2r^3} \left[\mu'_B + \frac{2(1-B)}{rB} \right] (\mathbf{r} \cdot \mathbf{v}) [r^2 \mathbf{S} - (\mathbf{r} \cdot \mathbf{S}) \mathbf{r}] \\ + \frac{(1-B)}{r^2 B} [(\mathbf{r} \cdot \mathbf{S}) \mathbf{v} - (\mathbf{r} \cdot \mathbf{v}) \mathbf{S}] + \mathbf{N} = 0. \end{aligned} \quad (4.37)$$

Con

$$M_* = \frac{p^0}{v^0}, \quad (4.38)$$

por la ecuación (4.7). La contribución del torque y de los términos cuadráticos de S se agrupan en \mathbf{N} tal que

$$\mathbf{N} = \frac{1}{2} \epsilon_{ijm} \left\{ \frac{u_\nu p^{[i} L^{j]\nu}}{M} + \frac{p^{[i} S^{j]\nu}}{M} \frac{[MF_\nu - \frac{1}{2} S^{\kappa\lambda} (p^\tau - u_\sigma L^{\tau\sigma}) R_{\kappa\lambda\nu\tau}]}{M^2 + \frac{1}{4} S^{\kappa\lambda} S^{\tau\nu} R_{\kappa\lambda\tau\nu}} - L^{ij} \right\} \delta^{km}. \quad (4.39)$$

Aplicando la identidad vectorial

$$\mathbf{a} \times (\mathbf{b} \times \mathbf{c}) = (\mathbf{a} \cdot \mathbf{c}) \mathbf{b} - (\mathbf{a} \cdot \mathbf{b}) \mathbf{c}, \quad (4.40)$$

(4.37) se reduce a

$$\begin{aligned} \dot{\mathbf{S}} + \frac{1}{2r} \left[\frac{\mu'_A}{M_*} (\mathbf{r} \cdot \mathbf{p}) + \mu'_B (\mathbf{r} \cdot \mathbf{v}) \right] \mathbf{S} + \frac{(1-B)}{r^2 B} (\mathbf{r} \cdot \mathbf{S}) \mathbf{v} - \frac{\mu'_A}{2rBM_*} (\mathbf{r} \cdot \mathbf{S}) \mathbf{p} \\ + \frac{1}{2r^3} \left[\frac{\mu'_A}{M_*} \frac{(1-B)}{B} (\mathbf{r} \cdot \mathbf{p}) - \left(\mu'_B + \frac{2(1-B)}{rB} \right) (\mathbf{r} \cdot \mathbf{v}) \right] (\mathbf{r} \cdot \mathbf{S}) \mathbf{r} + \mathbf{N} = 0. \end{aligned} \quad (4.41)$$

Por su parte, la ecuación de movimiento también contiene términos cuadráticos del momentum angular y cumple

$$\begin{aligned} \frac{d}{ds} (M\mathbf{v}) + M\boldsymbol{\lambda} + \frac{1}{M_*} \tilde{f}(r) [(\mathbf{r} \times \mathbf{p}) \cdot \mathbf{S}] \mathbf{r} + \frac{\mu'_A}{2rBM_*} (\mathbf{p} \times \mathbf{S}) - \frac{m\mu'_A}{2r^3 BM_*} (1-B) (\mathbf{r} \cdot \mathbf{p})(\mathbf{r} \times \mathbf{S}) + \tilde{g}(r) [(\mathbf{r} \times \mathbf{v}) \cdot \mathbf{S}] \mathbf{r} \\ + \frac{1}{2r^3} \left[\mu'_B + \frac{2(1-B)}{rB} \right] (\mathbf{r} \cdot \mathbf{v})(\mathbf{r} \times \mathbf{S}) - \frac{(1-B)}{r^2 B} (\mathbf{v} \times \mathbf{S}) + \boldsymbol{\Psi} = 0, \end{aligned} \quad (4.42)$$

con

$$\boldsymbol{\Psi} = F^i - \frac{\delta}{\delta s} \left\{ u_\nu L^{i\nu} + \frac{S^{i\nu}}{M^2 + \frac{1}{4} S^{\kappa\lambda} S^{\tau\nu} R_{\kappa\lambda\tau\nu}} [MF_\nu - \frac{1}{2} S^{\kappa\lambda} (p^\tau - u_\sigma L^{\tau\sigma}) R_{\kappa\lambda\nu\tau}] \right\} \quad (4.43)$$

y

$$\begin{aligned}\tilde{f}(r) &= \frac{1}{4r^3B} \left(2\frac{A''}{A}r - 2\mu'_A - \mu'_A\mu'_B r - \mu_A'^2 r \right) \\ \tilde{g}(r) &= \frac{1}{2r^4} \left(2 - \frac{2}{B} + \frac{\mu'_B}{B} r \right).\end{aligned}\tag{4.44}$$

Es importante tener en cuenta que la masa efectiva M_* está definida por (4.8). Sin embargo, bajo la presente condición suplementaria, M_s está determinada por la variación de S^{0i} en (4.36), de donde se sigue que es una función de las derivadas de los vectores momentum y momentum angular. Adicionalmente, el vector \mathbf{r} no es igual a su contraparte correspondiente a la condición suplementaria de Corinaldesi-Papapetrou, pues en cada caso representa los vectores que van hacia el centro de masa en distintos sistemas de referencia [52].

Movimiento de dos cuerpos extendidos bajo la Primera Aproximación Postnewtoniana

El problema de varios cuerpos extendidos en la teoría gravitacional de Newton tiene como fin principal determinar el movimiento traslacional y los movimientos propios de cada uno de los objetos de acuerdo con los potenciales gravitacionales de cada una de las componentes del sistema general. Para ello se definen varios sistemas de referencia, con origen en los centros de masa de cada cuerpo y un sistema global que puede ser el baricentro del conjunto de cuerpos, con respecto a los cuales se calculan las correspondientes ecuaciones de movimiento, siguiendo métodos como el presentado en el capítulo 3. Una ventaja de la Teoría Newtoniana es que los potenciales gravitacionales que afectan el movimientos de cada cuerpo están plenamente definidos (salvo alguna condición de frontera) sin importar el comportamiento de los elementos del sistema, pues solo dependen de sus distribuciones de masa. Este no es el caso de la Relatividad General.

Aunque en el capítulo 3 se plantean las ecuaciones de movimiento generales para cuerpos extendidos a partir de leyes de conservación, el problema no está plenamente resuelto pues los potenciales gravitacionales, representados en el tensor métrico, no han sido determinados. De ahí que, para lograr completar el análisis, sea indispensable solucionar las Ecuaciones de campo de Einstein para el sistema de varios cuerpos. Aún así, la alta no linealidad de las ecuaciones, representada físicamente por la existencia de autocampos generados por la estructura de los cuerpos y por su propio movimiento, suscita grandes dificultades que hacen del presente un problema abierto de la Física.

Sin embargo, se puede llegar a una solución, al menos parcial, si se imponen algunas restricciones sobre los cuerpos que intervienen en el problema y sus campos gravitacionales. Es así como se han desarrollado métodos de aproximación que permiten predecir el comportamiento de los cuerpos de un

sistema gravitacional con precisiones que se ajustan a las técnicas actuales de astrometría. Tal es el caso de la aproximación postnewtoniana, la cual es ampliamente utilizada en el presente capítulo con el fin de determinar las ecuaciones de movimiento de dos cuerpos extendidos.

5.1. Principios de la Aproximación Postnewtoniana

La aproximación postnewtoniana es una herramienta básica de la Relatividad General, la cual conduce a la linealización de las ecuaciones de campo de Einstein, permitiendo, de esta forma, dar solución al problema del movimiento de los cuerpos por medio de expansiones multipolares de los potenciales gravitacionales. Fue propuesta inicialmente por Einstein, Droste, de Sitter y Lorentz, ampliamente desarrollada por Fock [14], Anderson, Decanio [55] y Kerlick [56], y recientemente formalizada por Blanchet y Damour [57].

El método consiste en escribir la métrica en términos de una expansión en potencias de un parámetro que caracterice el sistema, de tal forma que la desviación respecto al espacio-tiempo plano sea pequeña.

Considérese un sistema material bajo la restricción de ser débilmente autogravitante, con movimiento lento y débilmente esforzado. Entonces, se define $\varepsilon \ll 1$ como el parámetro que caracteriza el sistema, tal que

$$\varepsilon \equiv \sup \left[\left(\frac{\phi}{c^2} \right)^{1/2}, \left| \frac{T^{0i}}{T^{00}} \right|, \left| \frac{T^{ij}}{T^{00}} \right|^{1/2}, \frac{r_0}{\widehat{\lambda}} \right]. \quad (5.1)$$

El primer término del lado derecho garantiza que el campo gravitacional, representado por el potencial newtoniano ϕ , sea débil. El segundo, que la velocidad media del sistema, expresada en términos de la razón entre la densidad de corriente de masa y la densidad de masa, sea pequeña comparada con la velocidad de la luz. El tercer término implica que la energía asociada a los esfuerzos internos del sistema es mucho menor a la energía relacionada con la densidad de masa, lo cual evita la existencia de altas energías que puedan generar velocidades considerables. Finalmente, para garantizar que el campo no diverja lejos del sistema, se limita la región de validez de la aproximación exigiendo que el tamaño característico del sistema material r_0 sea despreciable con respecto a la longitud de onda de la radiación gravitacional $\widehat{\lambda}$ [57, 58]. Esta región se denomina *zona cercana*. La hipótesis de movimiento lento adquiere valor al relacionar la velocidad característica del sistema con el parámetro ε , haciendo $\varepsilon \equiv v/c$. En este caso se hace referencia a una expansión en potencias inversas de la velocidad de la luz (adoptando unidades donde $v = 1$).

Con el fin de realizar una expansión adecuada de la métrica se deben considerar unas condiciones de frontera adicionales. Debido a la linealización de las Ecuaciones de campo de Einstein, los potenciales

gravitacionales satisfarán una ecuación tipo onda. Para evitar comportamientos divergentes de las soluciones, originados de la expansión multipolar de la función de Green asociada a la ecuación de onda, se exige que las fuentes tengan soporte compacto [57] y que no exista radiación entrante al sistema, producto de las soluciones retardadas y avanzadas de la ecuación [41]. En la medida en que la emisión de radiación sea omitida, un sistema clásico sujeto a fuerzas conservativas es invariante bajo inversión del tiempo. Al tomar $t \rightarrow -t$ las componentes temporal y espacial (g_{00} y g_{ij}) se comportan como funciones pares y la componente mixta (g_{0i}) como una función impar; por su parte, la velocidad del sistema cambia de signo. Por lo tanto, para preservar la invarianza de la métrica bajo inversión temporal, se debe exigir que g_{00} y g_{ij} solo contengan potencias pares de ε y g_{0i} solo contenga potencias impares de ε .

Teniendo en cuenta las anteriores condiciones, considérese un dominio $D_i = \{(ct, \mathbf{x}) \mid |\mathbf{x}| = r < r_1\}$, con $r_1 < r_0$, el cual contiene el sistema material y donde el campo gravitacional interno satisface la expansión postnewtoniana. Entonces, la métrica puede ser escrita como

$$\begin{aligned} g_{00} &= -1 + {}_{(2)}g_{00} + {}_{(4)}g_{00} + {}_{(6)}g_{00} + \cdots, \\ g_{0i} &= {}_{(3)}g_{0i} + {}_{(5)}g_{0i} + \cdots, \\ g_{ij} &= \delta_{ij} + {}_{(2)}g_{ij} + {}_{(4)}g_{ij} + \cdots, \end{aligned} \tag{5.2}$$

donde ${}_{(n)}g_{\mu\nu}$ denota los términos de orden ε^n en la expansión. Por inspección de las Ecuaciones de campo de Einstein se encuentra que, para que cada orden en la aproximación sea consistente, si se expande g_{00} hasta un orden ε^n entonces g_{0i} y g_{ij} deben alcanzar órdenes de ε^{n-1} y ε^{n-2} respectivamente [10, 58]. Las Ecuaciones de campo de Einstein también exigen que una expansión de los campos gravitacionales demanda una expansión semejante de las fuentes, representadas en el tensor de momentum-energía. Entonces

$$\begin{aligned} T^{00} &= {}_{(0)}T^{00} + {}_{(2)}T^{00} + \cdots, \\ T^{0i} &= {}_{(1)}T^{0i} + {}_{(3)}T^{0i} + \cdots, \\ T^{ij} &= {}_{(2)}T^{ij} + {}_{(4)}T^{ij} + \cdots. \end{aligned} \tag{5.3}$$

Una expansión semejante a (5.2) se plantea para la métrica inversa y su relación con las componentes covariantes de la métrica se determina a partir de $g^{\mu\kappa}g_{\kappa\nu} = \delta_\nu^\mu$. En el caso de la primera aproximación postnewtoniana solo se tienen en cuenta los órdenes para los cuales $g_{00} < O(\varepsilon^6)$.

Asumiendo este tipo de soluciones, resta sustituir las expansiones en las Ecuaciones de campo de Einstein (2.20) e igualar términos del mismo orden en ε con el fin de encontrar una expresión para los campos gravitacionales en términos de las fuentes.

Es importante tener presente que, de acuerdo con lo señalado en la sección (2.2), esta solución no está completa sin fijar un gauge. Los cuatro grados de libertad que surgen de las ecuaciones de Bianchi pueden ser restringidos mediante la imposición de una condición sobre las coordenadas. El gauge más utilizado en la aproximación postnewtoniana es el *gauge armónico* (apéndice B), para el cual las coordenadas cumplen la condición armónica dada por

$$\square_g x^\mu = 0. \quad (5.4)$$

De esta forma el gauge armónico se reduce a

$$\Gamma^\mu = 0, \quad (5.5)$$

con

$$\Gamma^\mu = -\frac{1}{\sqrt{-g}} \partial_\nu (\sqrt{-g} g^{\mu\nu}). \quad (5.6)$$

El tensor de Ricci puede ser reescrito como [14]

$$R^{\mu\nu} = -\frac{1}{2} g^{\kappa\lambda} \partial_{\kappa\lambda} g^{\mu\nu} - \Gamma^{\mu\nu} + \Gamma^{\mu,\kappa\lambda} \Gamma_{\kappa\lambda}^\nu, \quad (5.7)$$

donde

$$\begin{aligned} \Gamma^{\mu\nu} &= \frac{1}{2} \left(g^{\mu\lambda} \partial_\lambda \Gamma^\nu + g^{\nu\lambda} \partial_\lambda \Gamma^\mu + \partial_\lambda g^{\mu\nu} \Gamma^\lambda \right), \\ \Gamma^{\mu,\kappa\lambda} &= -\frac{1}{2} \left(g^{\lambda\nu} \partial_\nu g^{\kappa\mu} + g^{\kappa\nu} \partial_\nu g^{\lambda\mu} - g^{\mu\nu} \partial_\nu g^{\kappa\lambda} \right). \end{aligned} \quad (5.8)$$

Entonces, las Ecuaciones de campo de Einstein regidas por el gauge armónico toman la forma

$$-\frac{1}{2} \square_g g^{\mu\nu} + \Gamma^{\mu,\kappa\lambda} \Gamma_{\kappa\lambda}^\nu = -\frac{8\pi G}{c^4} \left(T^{\mu\nu} - \frac{1}{2} g^{\mu\nu} T \right), \quad (5.9)$$

donde $T = T^\mu{}_\mu$, el cual se obtiene al contraer (2.20) con el tensor métrico, y \square_g es el d'Alambertiano en espacios curvos, que se reduce a $\square_g = g^{\kappa\lambda} \partial_{\kappa\lambda}$ bajo el gauge armónico. Si el este d'Alambertiano pudiera ser reducido al d'Alambertiano plano, las Ecuaciones de campo de Einstein se transformarían en una ecuación tipo onda donde las fuentes representan la distribución de energía-momentum y la energía de los campos gravitacionales, es decir, los términos geométricos relacionados con las conexiones pasan a ser fuentes del otro lado de la ecuación (5.9). Este es uno de los fundamentos de la aproximación postnewtoniana .

Siguiendo a Fock [14, 57, 58], la primera aproximación postnewtoniana puede simplificarse usando la suposición de zona cercana, donde $\partial_0 = O(\varepsilon) \partial_i$, para la variación de la métrica en los pequeños términos

no lineales de la ecuación (5.9) (a primera aproximación postnewtoniana solo se consideran las no linealidades cuadráticas de la componente temporal). Esto quiere decir que, en primera aproximación, los retardos temporales no son tenidos en cuenta. Entonces, al sustituir las expresiones (5.2) y (5.3) en (5.9), se obtiene el siguiente sistema de ecuaciones diferenciales para las componentes de la métrica a primer orden postnewtoniano,

$$\nabla^2 ({}_{(2)}g_{00}) = -\frac{8\pi G}{c^4} ({}_{(0)}T^{00}), \quad (5.10)$$

$$\nabla^2 ({}_{(2)}g_{ij}) = -\frac{8\pi G}{c^4} \delta_{ij} ({}_{(0)}T^{00}), \quad (5.11)$$

$$\nabla^2 ({}_{(3)}g_{0i}) = \frac{16\pi G}{c^4} ({}_{(1)}T^{0i}), \quad (5.12)$$

$$\nabla^2 ({}_{(4)}g_{00}) = \partial_0^2 ({}_{(2)}g_{00}) + ({}_{(2)}g_{ij}) \partial_{ij} ({}_{(2)}g_{00}) - \partial_i ({}_{(2)}g_{00}) \partial_i ({}_{(2)}g_{00}) - \frac{8\pi G}{c^4} [({}_{(2)}T^{00} + ({}_{(2)}T^{ii} - 2({}_{(2)}g_{00})({}_{(0)}T^{00})], \quad (5.13)$$

donde $\nabla^2 = \delta^{ij} \partial_{ij}$ es el laplaciano plano y $T^{ii} = \delta_{ij} T^{ij}$ (se suma sobre índices repetidos sin importar su posición). Bajo la suposición de un tensor de momentum-energía cuyas componentes son funciones con soporte compacto y la condición de frontera correspondiente a una métrica asintóticamente plana, la solución a la ecuación (5.10) está dada por

$$({}_{(2)}g_{00}) = -2\phi, \quad (5.14)$$

con

$$\phi(t, \mathbf{x}) = -\frac{G}{c^4} \int \frac{1}{|\mathbf{x} - \mathbf{x}'|} ({}_{(0)}T^{00}(t, \mathbf{x}') d^3 x', \quad (5.15)$$

tal que $-c^2\phi$ representa el potencial newtoniano. Esto no significa que t en el argumento de ϕ sea un parámetro absoluto, pues el potencial se define a partir de una teoría relativista. La ecuaciones (5.11) y (5.12) son matemáticamente idénticas a (5.10), por lo tanto

$$({}_{(2)}g_{ij}) = -2\phi \delta_{ij} \quad (5.16)$$

y

$$({}_{(3)}g_{0i}) = \zeta_i, \quad (5.17)$$

donde

$$\zeta_i(t, \mathbf{x}) = -\frac{4G}{c^4} \int \frac{1}{|\mathbf{x} - \mathbf{x}'|} ({}_{(1)}T^{0i}(t, \mathbf{x}') d^3 x'. \quad (5.18)$$

Utilizando la identidad

$$\nabla^2(\phi^2) = 2\partial_i\phi\partial_i\phi + 2\phi\nabla^2\phi \quad (5.19)$$

y reemplazando (5.14), (5.16) y (5.10) en la ecuación (5.13), se tiene

$$\nabla^2({}_4g_{00}) = -2\nabla^2(\phi^2) - 2 \left[\partial_0^2\phi + \frac{8\pi G}{c^4} ({}_{(2)}T^{00} + {}_{(2)}T^{ii}) \right]. \quad (5.20)$$

Entonces, se introduce un nuevo potencial ψ definido por

$$({}_4g_{00}) = -2(\phi^2 + \psi), \quad (5.21)$$

el cual debe cumplir

$$\nabla^2\psi = \partial_0^2\phi + \frac{8\pi G}{c^4} ({}_{(2)}T^{00} + {}_{(2)}T^{ii}). \quad (5.22)$$

Suponiendo que este nuevo potencial disminuye rápidamente lejos del sistema, se tiene la solución

$$\psi(t, \mathbf{x}) = - \int \frac{1}{|\mathbf{x} - \mathbf{x}'|} \left\{ \frac{1}{4\pi} \partial_0^2\phi + \frac{G}{c^4} [{}_{(2)}T^{00}(t, \mathbf{x}') + {}_{(2)}T^{ii}(t, \mathbf{x}')] \right\} d^3x'. \quad (5.23)$$

Adicionalmente, el potencial escalar ϕ y el potencial vectorial ζ_i se relacionan por medio de la condición gauge (5.5), de tal forma que

$$4\partial_0\phi + \delta^{ij}\partial_i\zeta_j = 0. \quad (5.24)$$

En resumen, la métrica a primer orden postnewtoniano satisface

$$ds^2 = - \left[1 + 2\varepsilon^2\phi + 2\varepsilon^4(\phi^2 + \psi) \right] \frac{dt^2}{\varepsilon^2} + 2\varepsilon^3\zeta_i dx^i \frac{dt}{\varepsilon} + [1 - 2\varepsilon^2\phi] \delta_{ij} dx^i dx^j. \quad (5.25)$$

A partir de las soluciones para los potenciales, se puede considerar la superposición de ϕ y ψ como un potencial *gravitoelectrónico* que depende de la densidad de masa y de esfuerzos, mientras que ζ_i corresponde a un potencial *gravitomagnético* relacionado con las corrientes de materia.

5.1.1. Momentos multipolares de masa y de marea

Teniendo en cuenta que los potenciales gravitacionales postnewtonianos satisfacen ecuaciones lineales, es útil revisar las definiciones de los momentos multipolares newtonianos expuestos en la sección 3.1. En el caso newtoniano, el potencial gravitacional cumple la ecuación de Poisson (3.3), cuya solución está dada por (3.4) y (3.5), de tal forma que puede ser expresado como la superposición de potenciales internos y externos (ecuación 3.66). Entonces, en un sistema de referencia general con coordenadas (t, x^i) , el cual puede estar acelerado, los momentos multipolares de masa y de marea de cada cuerpo, que representan las contribuciones debidas al potencial interno y externo respectivamente, pueden definirse como

$${}^n\phi(t, \mathbf{x}) = \sum_{l=0}^{\infty} \frac{(-1)^{l+1}}{l!} {}^nM_L(t) \partial_L \frac{1}{|\mathbf{x}|} + \sum_{l=0}^{\infty} \frac{1}{l!} {}^nG_L(t) x^L. \quad (5.26)$$

Donde el superíndice n representa orden newtoniano y L denota el multi-índice $a_1 \dots a_l$ o $a^1 \dots a^l$ [59]. El primer término se obtiene a partir de una expansión de $|\mathbf{x} - \mathbf{x}'|$ en (3.34), de tal forma que ${}^nM_L(t)$ representa el momento multipolar de masa del cuerpo. El segundo término corresponde a la contribución del potencial externo y a efectos inerciales, tal que ${}^nG_L(t)$ es el momento multipolar de marea, relacionado con un potencial externo que satisface la ecuación de laplace (3.54).

La expansión (5.26) puede ser invertida con el fin de obtener las expresiones para los momentos en términos de integrales de superficie del potencial ϕ . De esta manera, al considerar que el potencial cumple la ecuación de poisson en la región que contiene al cuerpo, el momento multipolar de masa toma la forma de la definición (3.11) con $\rho = {}_{(0)}T^{00}$. Es decir,

$${}^nM_L(t) = \int_V {}_{(0)}T^{00}(t, \mathbf{x}) x^{\langle L \rangle} d^3x, \quad (5.27)$$

donde $\langle L \rangle$ representa la operación que simetriza y libera de traza [59]. Por lo tanto, en esta definición se excluyen los momentos multipolares que no contribuyen en las ecuaciones de movimiento (ver sección 3.1.4). Por su parte, los momentos multipolares de marea quedan determinados por la ecuación (3.69).

Considérese ahora la situación correspondiente al primer orden de la aproximación postnewtoniana. Los potenciales gravitoelectrónico y gravitomagnético cumplen ecuaciones tipo Poisson, por lo tanto, se puede generalizar la ecuación newtoniana (5.26) para estos potenciales postnewtonianos. De ahí se obtiene la correspondiente generalización para los momentos multipolares [4, 39, 57]. A partir de las expresiones (5.16) y (5.17), teniendo en cuenta las ecuaciones de campo (5.10, 5.12), los potenciales ϕ y ζ_i satisfacen

$$\begin{aligned} \nabla^2 \phi &= -\frac{8\pi G}{c^4} {}_{(0)}T^{00}, \\ \nabla^2 \zeta_i &= \frac{16\pi G}{c^4} {}_{(1)}T^{0i}. \end{aligned} \quad (5.28)$$

Entonces, asumiendo la existencia de un sistema de coordenadas local (t, x^i) , que cumple la ecuación armónica, y que la aproximación postnewtoniana es válida en toda la zona cercana, incluyendo al cuerpo, se tiene [38, 39]

$$\phi(t, x^i) = \sum_{l=0}^{\infty} \left\{ \frac{(-1)^{l+1}}{l!} [{}^nM_L(t)] \partial_L \frac{1}{|\mathbf{x}|} + \frac{1}{l!} [{}^nG_L(t)] x^L \right\}, \quad (5.29)$$

$$\zeta_j(t, x^i) = \sum_{l=0}^{\infty} \left\{ \frac{(-1)^{l+1}}{l!} Z_{jL}(t) \partial_L \frac{1}{|\mathbf{x}|} + \frac{1}{l!} Y_{jL}(t) x^L \right\}, \quad (5.30)$$

Nótese que los potenciales no tienen índice n pues están definidos para la primera aproximación post-newtoniana, la cual se enmarca en la Relatividad General. Los momentos Z_{iL} y Y_{iL} pueden expresarse en términos de los momentos newtonianos por medio de la relación (5.24), así

$$Z_{\langle iL \rangle} = \frac{4}{l+1} {}^n \dot{M}_{iL}, \quad (5.31)$$

$$Y_{jjL} = -4^n \dot{G}_L. \quad (5.32)$$

Donde $\dot{}$ significa diferenciación con respecto al tiempo. La ecuación (5.30) no está escrita de manera irreducible, pues las cantidades Z_{iL} y Y_{iL} solo son simétricas libres de traza en los índices L . Sin embargo, todos los tensores pueden ser representados en términos de tensores simétricos libres de traza, ya que estos representan un conjunto completo. Para tensores que son simétricos libres de traza en todos sus índices excepto en uno se cumple [4]

$$T_{iL} = T_{\langle iL \rangle} + \frac{l-1}{l} \epsilon_{ji\langle a_l} T_{mk\langle L-2} \epsilon_{a_{l-1} \rangle mk \rangle j} + \frac{2l-1}{2l+1} \delta_{i\langle a_l} T_{jjL-1 \rangle}. \quad (5.33)$$

Aplicando esta identidad se definen

$$\begin{aligned} S_L &\equiv -\frac{1}{4} Z_{jk\langle L-1} \epsilon_{a_l \rangle jk}, \\ H_L &\equiv Y_{jk\langle L-1} \epsilon_{a_l \rangle jk}, \\ \nu_L &\equiv Y_{\langle L \rangle}, \\ \mu_L &\equiv Z_{jjL}. \end{aligned} \quad (5.34)$$

Donde S_L , que está relacionado con las corrientes de masa vía el potencial vectorial ζ_i , se asocia con los momentos de densidad de momentum. Por lo tanto, el potencial gravitomagnético satisface

$$\begin{aligned} \zeta_i(t, x^j) = \sum_{l=0}^{\infty} \left\{ \frac{(-1)^{l+1}}{l!} \left[\frac{4}{l+1} {}^n \dot{M}_{iL}(t) - \frac{4l}{l+1} \epsilon_{ji\langle a_l} S_{L-1 \rangle j}(t) + \frac{2l-1}{2l+1} \delta_{i\langle a_l} \mu_{L-1 \rangle}(t) \right] \partial_L \frac{1}{|\mathbf{x}|} \right. \\ \left. - \frac{1}{l!} \left[\nu_{iL}(t) + \frac{l}{l+1} \epsilon_{ji\langle a_l} H_{L-1 \rangle j}(t) - \frac{4(2l-1)}{2l+1} {}^n \dot{G}_{\langle L-1 \rangle}(t) \delta_{a_l \rangle i} \right] x^L \right\}. \end{aligned} \quad (5.35)$$

Siguiendo un análisis similar se obtiene una expresión para el potencial escalar ψ , la cual está dada por [39]

$$\begin{aligned} \psi(t, x^j) = \sum_{l=0}^{\infty} \left\{ \frac{(-1)^{l+1}}{l!} \left[{}^p M_L(t) + \frac{2l+1}{(l+1)(2l+3)} \dot{\mu}_L(t) \right] \partial_L \frac{1}{|\mathbf{x}|} + \frac{(-1)^{l+1}}{l!} {}^n \ddot{M}_i(t) \partial_L \frac{|\mathbf{x}|}{2} \right. \\ \left. - \frac{1}{l!} [{}^p G_L(t) - \dot{\nu}_L(t)] x^L - \frac{1}{l!} \frac{|\mathbf{x}|^2}{2(2l+3)} {}^n \ddot{G}_L(t) x^L \right\}. \end{aligned} \quad (5.36)$$

Donde el superíndice pn representa en primer orden postnewtoniano $O(\varepsilon^2)$ de los momentos multipolares. Una forma alternativa de definir los momentos fue planteada por Damour, Soffel y Xu [38], quienes plantean integrales análogas a (5.27), a saber

$$S_L = \int_V \epsilon^{jk\langle ai} x^{L-1\rangle jn} T^{0k} d^3x \quad (5.37)$$

y

$${}^{pn}M_L = \int_V \left\{ \left[(2)T^{00} + (2)T^{jj} + \frac{x^j x^j}{2(2l+3)} \partial_{00} [{}_{(0)}T^{00}] \right] x^{\langle L\rangle} - \frac{4(2l+1)}{(l+1)(2l+3)} \partial_{0[{}_{(1)}T^{0i}]x^{\langle jL\rangle}} \right\} d^3x. \quad (5.38)$$

Como se mostró en la sección (3.1.4), una vez se han definido adecuadamente los momentos multipolares, es posible hallar las ecuaciones de movimiento de los cuerpos a partir de su variación.

5.2. Leyes de movimiento en aproximación postnewtoniana

En la sección (3.2) se planteó un método general para calcular las ecuaciones de movimiento para un cuerpo extendido sin acudir a ningún tipo de aproximación sobre el espacio-tiempo. El procedimiento partió de considerar el segundo postulado de la Relatividad General para definir un funcional de momentum generalizado cuya variación a lo largo de una línea de mundo proporciona un sistema de ecuaciones diferenciales que determinan el movimiento traslacional y rotacional del cuerpo. Un paso directo a la aproximación postnewtoniana desde esta teoría general es aún tema de estudio en la física y no es el objetivo del presente trabajo, pero algunos avances han sido realizados considerando teoría de perturbaciones para definir la métrica [35]. Sin embargo, existe un método análogo, descrito por Landau-Lifshitz [6], que parte de leyes de conservación para definir un momentum generalizado en términos de las fuentes de materia y de la energía gravitacional generada por el cuerpo y por su campo gravitacional.

En la formulación de Landau y Lifshitz (en lo que sigue denotada LL) de la Ecuaciones de campo de Einstein las variables principales no son las componentes del tensor métrico $g_{\mu\nu}$ sino la densidad métrica $\mathfrak{g}^{\mu\nu}$, denominada “métrica inversa gótica”, la cual está dada por

$$\mathfrak{g}^{\mu\nu} := \sqrt{-g} g^{\mu\nu}, \quad (5.39)$$

donde $g = \det(g_{\mu\nu})$ es el determinante del tensor métrico. Una vez se conoce $\mathfrak{g}^{\mu\nu}$ las componentes del tensor métrico quedan automáticamente determinadas pues $\det(\mathfrak{g}^{\mu\nu}) = g$.

El método consiste en fijar un sistema de coordenadas $x^\mu = (t, x^j)$ en el cual las Ecuaciones de campo de Einstein se pueden escribir en una forma que involucra pseudotensores y derivadas parciales. Considérese una densidad tensorial $\mathcal{H}^{\mu\nu\alpha\beta}$ dada por

$$\mathcal{H}^{\mu\nu\alpha\beta} = \mathbf{g}^{\mu\nu} \mathbf{g}^{\alpha\beta} - \mathbf{g}^{\mu\alpha} \mathbf{g}^{\nu\beta}, \quad (5.40)$$

la cual cumple las mismas relaciones de simetría del tensor de Riemann (2.11). Las Ecuaciones de campo de Einstein toman la forma [60]

$$\partial_{\alpha\beta} \mathcal{H}^{\mu\nu\alpha\beta} = \frac{16\pi G}{c^4} (-g) (T^{\mu\nu} + t_{LL}^{\mu\nu}), \quad (5.41)$$

donde t_{LL} es el pseudotensor de Landau-Lifshitz dado por

$$\begin{aligned} t_{LL}^{\mu\nu} = \frac{c^4}{16\pi G} & \left[\left(g^{\mu\alpha} g^{\nu\beta} - g^{\mu\nu} g^{\alpha\beta} \right) \left(2\Gamma_{\alpha\beta}^{\rho} \Gamma_{\rho\sigma}^{\sigma} - \Gamma_{\alpha\sigma}^{\rho} \Gamma_{\beta\rho}^{\sigma} - \Gamma_{\alpha\rho}^{\sigma} \Gamma_{\beta\sigma}^{\rho} \right) \right. \\ & + g^{\mu\alpha} g^{\beta\rho} \left(\Gamma_{\alpha\sigma}^{\nu} \Gamma_{\beta\rho}^{\sigma} + \Gamma_{\beta\rho}^{\nu} \Gamma_{\alpha\sigma}^{\sigma} - \Gamma_{\rho\sigma}^{\nu} \Gamma_{\alpha\beta}^{\sigma} - \Gamma_{\alpha\beta}^{\nu} \Gamma_{\rho\sigma}^{\sigma} \right) \\ & + g^{\nu\alpha} g^{\beta\rho} \left(\Gamma_{\alpha\sigma}^{\mu} \Gamma_{\beta\rho}^{\sigma} + \Gamma_{\beta\rho}^{\mu} \Gamma_{\alpha\sigma}^{\sigma} - \Gamma_{\rho\sigma}^{\mu} \Gamma_{\alpha\beta}^{\sigma} - \Gamma_{\alpha\beta}^{\mu} \Gamma_{\rho\sigma}^{\sigma} \right) \\ & \left. + g^{\alpha\beta} g^{\rho\sigma} \left(\Gamma_{\alpha\rho}^{\mu} \Gamma_{\beta\sigma}^{\nu} - \Gamma_{\alpha\beta}^{\mu} \Gamma_{\rho\sigma}^{\nu} \right) \right], \quad (5.42) \end{aligned}$$

el cual representa la distribución de energía del campo gravitacional. De las relaciones de simetría de $\mathcal{H}^{\mu\nu\alpha\beta}$ se tiene

$$\partial_{\alpha\beta\nu} \mathcal{H}^{\mu\nu\alpha\beta} = 0, \quad (5.43)$$

lo que implica

$$\partial_{\nu} [(-g) (T^{\mu\nu} + t_{LL}^{\mu\nu})] = 0. \quad (5.44)$$

Estas corresponden a ecuaciones de conservación para el “tensor total” de energía-momentum, el cual involucra una contribución de materia y otra del campo gravitacional, expresadas en términos de la derivada parcial. La ecuación (5.44) es estrictamente equivalente a la expresión usual de conservación para el tensor energía-momentum (2.15), en virtud de la definición de $t_{LL}^{\mu\nu}$ [60].

Debido a que la ecuación (5.44) compromete el operador derivada parcial, la identidad diferencial se puede transformar en identidades integrales por el teorema de Gauss. Entonces, en una hipersuperficie de constante t dentro del dominio fijo de coordenadas, se considera una región tridimensional V cuya topología es la del interior de una esférica y cuya frontera Σ_t tiene también topología esférica. Se asume que V contiene materia, pero el tensor de energía-momentum se anula en la frontera Σ_t . Se define formalmente el vector momentum $P^{\mu}[V]$ asociado con el volumen V , como

$$P^{\mu}[V] := \frac{1}{c} \int_V (-g) \left(T^{\mu 0} + t_{LL}^{\mu 0} \right) d^3 x. \quad (5.45)$$

En un espacio-tiempo plano y en coordenadas cartesianas, esta cantidad se interpreta como el vector momentum total asociado con $T^{\mu\nu}$. En espacio-tiempo curvo y en cualquier sistema de coordenadas esta cantidad no tiene un significado físico más allá del que le da el límite plano. Adicionalmente, a diferencia de su contraparte general en (3.122), este momentum no es un invariante. Sin embargo, es útil para calcular las ecuaciones de movimiento. Sustituyendo (5.40) en (5.45) se tiene

$$P^\mu[V] = \frac{c^3}{16\pi G} \int_V \partial_{\alpha\beta} \mathcal{H}^{\mu 0\alpha\beta} d^3x. \quad (5.46)$$

Al sumar sobre α y aplicando nuevamente la definición de $\mathcal{H}^{\mu\nu\alpha\beta}$, se tiene

$$P^\mu[V] = \frac{c^3}{16\pi G} \int_V \partial_i \left(\partial_\beta \mathcal{H}^{\mu 0i\beta} \right) d^3x. \quad (5.47)$$

En virtud del teorema de Gauss

$$P_\Sigma^i(t) = \frac{c^3}{16\pi G} \oint_{\Sigma_t} \partial_\beta \mathcal{H}^{i0j\beta} d\Sigma_j, \quad (5.48)$$

donde $d\Sigma_j$ es el elemento de superficie determinado por la métrica plana $\delta_{ij} dx^i dx^j$. Asumiendo que Σ_t no se mueve en la grilla coordenada [60], la razón de cambio del vector momentum está dada por

$$\dot{P}_\Sigma^i(t) = \frac{c^3}{16\pi G} \oint_{\Sigma_t} \partial_{\beta 0} \mathcal{H}^{i0j\beta} d\Sigma_j. \quad (5.49)$$

Aplicando las relaciones de simetría y teniendo en cuenta que el tensor momentum-energía se anula en la frontera, se tiene

$$\dot{P}_\Sigma^i = -\frac{1}{c} \oint_{\Sigma_t} (-g) t_{LL}^{ij} d\Sigma_j. \quad (5.50)$$

De forma similar al programa seguido en el capítulo (3), el método de la integral de superficie consiste en calcular ambos lados de la ecuación (5.50) explícitamente. Para esto se evalúa la integral partiendo de la definición de $t_{LL}^{\mu\nu}$ y sustituyendo los potenciales gravitacionales postnewtonianos. El lado izquierdo de la ecuación se calcula desarrollando la integral en (5.48) y tomando la derivada temporal del resultado. Entonces, al realizar este desarrollo junto con (5.29), (5.35) y (5.36), se obtienen las ecuaciones análogas a (3.18), (3.71) y (3.77) a primer orden postnewtoniano [39], a saber

$${}^{pn} \dot{M} = - \sum_{l=0}^{\infty} \frac{1}{l!} \left[(l+1) [{}^n M_L] [{}^n \dot{G}_L] + l [{}^n \dot{M}_L] [{}^n G_L] \right], \quad (5.51)$$

$$\begin{aligned}
{}^{pn}\ddot{M}_i = \sum_{l=0}^{\infty} \frac{1}{l!} \left[& M_L {}^n G_{iL} + {}^n M_L {}^{pn} G_{iL} + \frac{l}{l+1} S_L H_{iL} + \frac{1}{l+2} \epsilon_{ijk} {}^n M_{jL} \dot{H}_{kL} + \frac{1}{l+1} \epsilon_{ijk} {}^n \dot{M}_{jL} H_{kL} \right. \\
& - \frac{4(l+1)}{(l+2)^2} \epsilon_{ijk} S_{jL} {}^n \dot{G}_{kL} - \frac{4}{l+2} \epsilon_{ijk} \dot{S}_{jL} {}^n G_{kL} - \frac{2l^3 + 7l^2 + 15l + 6}{(l+1)(2l+3)} {}^n M_{iL} {}^n \ddot{G}_L \\
& \left. - \frac{2l^3 + 5l^2 + 12l + 5}{(l+1)^2} {}^n \dot{M}_{iL} {}^n \dot{G}_L - \frac{l^2 + l + 4}{l+1} {}^n \ddot{M}_{iL} {}^n G_L \right], \quad (5.52)
\end{aligned}$$

y

$$\dot{S}_i = \sum_{l=0}^{\infty} \frac{1}{l!} \epsilon_{ijk} {}^n M_{jL} {}^n G_{kL}. \quad (5.53)$$

Estas constituyen las leyes de movimiento [38] para un cuerpo extendido a primera aproximación postnewtoniana. La ecuación (5.51) revela una dependencia de la masa de un acoplamiento entre la estructura del cuerpo, representada en los momentos de masa, y los potenciales externos, representados en los momentos de marea, la cual no se presenta a orden newtoniano. Por otro lado, la ecuación (5.52) muestra que la variación de los momentos de masa y, por tanto, el movimiento traslacional del cuerpo, depende no solo de la estructura del cuerpo y de los potenciales externos, como en el caso newtoniano, sino también de las corrientes de materia, representadas en el potencial gravitomagnético H_{iL} .

5.2.1. Sistemas de coordenadas y ecuaciones de movimiento

En Relatividad General la expansión multipolar es, desde el punto de vista de la metodología, similar a la descomposición multipolar newtoniana. Sin embargo, debido a la no linealidad de las Ecuaciones de campo de Einstein la definición de los momentos multipolares relativistas es mucho más compleja que en la teoría gravitacional de Newton. Adicionalmente, la libertad gauge que existe en la Relatividad General indica que cualquier descomposición multipolar de los campos gravitacionales dependerá de las coordenadas.

Aunque en aproximación postnewtoniana se fija el gauge armónico, pueden existir muchos sistemas de coordenadas que cumplan la ecuación (5.4). Entonces, la métrica (5.25) alberga una libertad coordenada residual [61]. Esta libertad residual también se presenta en el caso newtoniano y está relacionada con la existencia de muchas soluciones de la ecuación de poisson, bajo la condición de frontera (3.4). En ese contexto, las nuevas soluciones son la solución estándar (3.5) junto con una transformación a sistemas acelerados [39]. En general, el sistema de referencia escogido corresponde a un observador que se traslada aceleradamente con el cuerpo y cuyo sistema de coordenadas tiene su origen en el centro de masa y sus ejes se mantienen fijos (sin rotación). Esto fija unos momentos multipolares particulares para los cuales el momento dipolar se anula, obteniendo de esta manera las ecuaciones de movimiento. Similarmente,

en el contexto postnewtoniano, las soluciones adicionales a la ecuaciones tipo poisson corresponden a la solución original transformada a sistemas de referencia con ciertas diferencias con respecto al sistema de referencia estándar, como aceleración y rotación. Entonces, para solucionar el problema del movimiento, se deben construir sistemas de coordenadas adaptado a cada cuerpo. En el caso del presente capítulo se tendrán tres sistemas de coordenadas, dos que cubran los eventos en cercanías de cada cuerpo y uno global que cubra la zona cercana del sistema binario, donde se cumplen las leyes de movimiento planteadas.

Las consideraciones para dar solución a la libertad de coordenadas residual son las siguientes. Se asume la existencia de tres sistemas de coordenadas (t, x^i) y (\bar{t}_A, \bar{x}_A^i) , con $A = 1, 2$, cada uno de los cuales cumple la condición armónica. Adicionalmente, los sistemas de coordenadas están definidos tal que la métrica admite una expansión de la forma (5.25). Racine y Flanagan en [39] demuestran que la transformación entre dos sistemas de coordenadas armónicos en los cuales la métrica está dada por la primera aproximación postnewtoniana pueden escribirse como

$$x^i(\bar{t}, \bar{x}) = \bar{x}^i + z^i(\bar{t}) + \varepsilon^2 \left\{ \left[\frac{1}{2} \dot{z}^m \dot{z}^k(\bar{t}) \delta^{mk} \delta^{ij} - \dot{\alpha}(\bar{t}) \delta^{ij} + \epsilon^{ijk} R^k(\bar{t}) + \frac{1}{2} \ddot{z}^{ij}(\bar{t}) \right] \bar{x}^i \right. \\ \left. + \left[\frac{1}{2} \ddot{z}^i(\bar{t}) \delta^{jk} - \ddot{z}^k(\bar{t}) \delta^{ij} \right] \bar{x}^j \bar{x}^k \right\} + O(\varepsilon^4) \quad (5.54)$$

$$t(\bar{t}, \bar{x}^i) = \bar{t} + \varepsilon^2 [\alpha(\bar{t}) + \dot{z}^j(\bar{t}) \bar{x}^j] + \varepsilon^4 \left[\beta(\bar{t}, \bar{\mathbf{x}}) + \frac{1}{6} \ddot{\alpha}(\bar{t}) \bar{x}^i \bar{x}^j \delta^{ij} + \frac{1}{10} \ddot{z}^i(\bar{t}) \bar{x}^j \bar{x}^m \bar{x}^k \delta^{ij} \delta^{mk} \right] + O(\varepsilon^6). \quad (5.55)$$

En las ecuaciones (5.54,5.55) $z^i(\bar{t})$ proporciona la traslación dependiente del tiempo entre coordenadas espaciales y está definido a primer orden postnewtoniano. A orden newtoniano se encuentran (a) la función $\alpha(\bar{t})$ que gobierna la normalización de la coordenada temporal a orden $O(\varepsilon^2)$, (b) el vector rotación $R_i(\bar{t})$ y (c) $\beta(\bar{t}, \bar{\mathbf{x}})$ que gobierna la normalización de la coordenada temporal a orden $O(\varepsilon^4)$ y cumple $\nabla^2 \beta = 0$, para preservar la condición armónica [38].

En el tratamiento de dos cuerpos se hace uso del sistema de coordenadas global (t, x^i) y de un sistema de coordenadas (\bar{t}_A, \bar{x}_A^i) adaptado a cada cuerpo, para cada cuerpo. Las coordenadas globales son utilizadas para calcular el movimiento traslacional de los cuerpo, mientras que las coordenadas locales permiten describir el movimiento local de cada cuerpo y definir sus momentos multipolares de masa y de marea.

De la misma forma como se hizo en el caso newtoniano, con el fin de definir unívocamente los momentos multipolares se debe fijar la libertad gauge en el sistema de coordenadas (\bar{t}_A, \bar{x}_A^i) [61]. Esto se logra imponiendo las siguientes condiciones

$$M_A^i(\bar{t}_A) = 0, \quad (5.56)$$

$$R_A^i(\bar{t}_A) = 0, \quad (5.57)$$

$$G_A(\bar{t}_A) = \boldsymbol{\mu}_A(\bar{t}_A) = 0, \quad (5.58)$$

$$\boldsymbol{\mu}_A^L(\bar{t}_A) = \boldsymbol{\nu}_A^L(\bar{t}_A) = 0, \quad l \geq 1. \quad (5.59)$$

La ecuación (5.56) fija el momento dipolar de masa a cero situando el centro de masa-energía en el origen espacial del sistema de coordenadas $\bar{x}^i = 0$. La expresión (5.57) asocia la orientación de los ejes espaciales del sistema local con los del sistema global. Esto garantiza que los ejes espaciales no rotan en el espacio ni dinámica ni cinemáticamente. Los ejes espaciales se dicen cinemáticamente no rotantes si su orientación se mantiene fija con respecto a un sistema de coordenadas Minkowskiano definido en el pasado infinito a distancias infinitas del sistema de cuerpos. En el sistema solar su realización corresponde a un conjunto de cuántares de referencia. Por su parte, los sistemas de coordenadas dinámicamente no rotantes se definen bajo la condición de que las ecuaciones de movimiento de las partículas de prueba que se mueven con respecto a estas coordenadas no contienen términos inerciales asociados con la rotación [62]. La ecuación (5.58) asegura que la coordenada temporal \bar{t}_A mida el tiempo propio de un observador en caída libre en $\bar{x}^i = 0$, el cual sustituye al cuerpo extendido. Finalmente, tanto $\boldsymbol{\mu}_L$ como $\boldsymbol{\nu}_L$ son momentos de gauge [39], los cuales siempre pueden ser anulados por medio de una transformación de coordenadas.

Con el fin de hallar las ecuaciones de movimiento de los cuerpos se deben definir los momentos multipolares en el sistema de coordenadas global para poder relacionarlos con los momentos del sistema local por medio de la transformación de coordenadas (5.54,5.55). Se denotan los momentos multipolares del cuerpo A en el sistema global como ${}^n M_L^{g,A}(t)$, ${}^{pm} M_L^{g,A}(t)$, $S_L^{g,A}(t)$ y $\boldsymbol{\mu}_L^{g,A}(t)$, y se definen como los momentos alrededor de la línea de mundo centro de masa (a orden newtoniano) $\mathbf{x} = z_A(t)$. Usando estos momentos multipolares, se pueden escribir los potenciales en el sistema global como [39]

$$\phi^g(t, x^i) = \sum_{l=0}^{\infty} \frac{(-1)^{l+1}}{l!} \left\{ {}^n M_L^{g,1}(t) \partial_L \frac{1}{|\mathbf{x} - \mathbf{z}_1(t)|} + \frac{(-1)^{l+1}}{l!} {}^n M_L^{g,2}(t) \partial_L \frac{1}{|\mathbf{x} - \mathbf{z}_2(t)|} \right\}, \quad (5.60)$$

$$\zeta_j^g(t, x^i) = \sum_{l=0}^{\infty} \frac{(-1)^{l+1}}{l!} \left\{ Z_{jL}^{g,1}(t) \partial_L \frac{1}{|\mathbf{x} - \mathbf{z}_1(t)|} + Z_{jL}^{g,2}(t) \partial_L \frac{1}{|\mathbf{x} - \mathbf{z}_2(t)|} \right\} \quad (5.61)$$

$$\begin{aligned}
\psi(t, x^j) = & \sum_{l=0}^{\infty} \left\{ \frac{(-1)^{l+1}}{l!} \left[{}^m M_L^{g,1}(t) \partial_L \frac{1}{|\mathbf{x} - \mathbf{z}_1(t)|} + {}^m M_L^{g,2}(t) \partial_L \frac{1}{|\mathbf{x} - \mathbf{z}_2(t)|} \right] \right. \\
& + \frac{2l+1}{(l+1)(2l+3)} \left[\dot{\boldsymbol{\mu}}_L^{g,1}(t) \partial_L \frac{1}{|\mathbf{x} - \mathbf{z}_1(t)|} + \dot{\boldsymbol{\mu}}_L^{g,2}(t) \partial_L \frac{1}{|\mathbf{x} - \mathbf{z}_2(t)|} \right] \\
& \left. + \frac{(-1)^{l+1}}{l!} \left[{}^n \ddot{M}_L^{g,1}(t) \partial_L \frac{|\mathbf{x} - \mathbf{z}_1(t)|}{2} + {}^n \ddot{M}_L^{g,2}(t) \partial_L \frac{|\mathbf{x} - \mathbf{z}_2(t)|}{2} \right] \right\} \quad (5.62)
\end{aligned}$$

Donde

$$Z_{iL}^{g,A} = \frac{4}{l+1} {}^n \dot{M}_{iL}^{g,A} - \frac{4l}{l+1} \epsilon^{ji\langle a_l} S_{L-1\rangle j}^{g,A} + \frac{2l-1}{2l+1} \delta_{i\langle a_l} \boldsymbol{\mu}_{L-1}^{g,A} + 4z_{\langle i}^A {}^n M_L^{g,A}. \quad (5.63)$$

Las expansiones toman la forma de una superposición lineal debido a la linealización de la Ecuaciones de campo de Einstein . Adicionalmente, no hay términos de marea en las coordenadas globales pues se supone que el sistema es aislado.

Para expresar los momentos en el sistema global en términos de los momentos en el sistema local se sustituyen las expansiones de los potenciales del sistema local (5.29,5.35,5.36) y los potenciales del sistema global (5.60-5.62), según la transformación de coordenadas (5.54-5.55), en la ley de transformación de coordenadas para la métrica

$$g_{\mu\nu}^A = \frac{\partial x^\alpha}{\partial \bar{x}^\mu} \frac{\partial x^\beta}{\partial \bar{x}^\nu} g_{\alpha\beta}, \quad (5.64)$$

usando la métrica (5.25) escrita en términos de los potenciales correspondientes a cada sistema de coordenadas. Igualando los coeficientes de las expansiones multipolares resultantes se obtiene la transformación de los momentos. Fijando los momentos multipolares con las condiciones (5.56-5.59) se obtiene [61]

$$\begin{aligned}
M_L^{g,A} = & M_L^A + \varepsilon^2 \left[\left(\frac{1}{2} v_A^2 - (l+1) G_{g,A} \right) M_L^A - \frac{2l^2 + 5l - 5}{(l+1)(2l+3)} v_A^j \dot{M}_{jL}^A - \frac{2l^3 + 7l^2 + 16l + 7}{(l+1)(2l+3)} \dot{v}_A^j M_{jL}^A \right. \\
& \left. - \frac{2l^2 + 17l - 8}{2(2l+1)} v_A^j v_A^{\langle a_l} M_A^{L-1\rangle j} + \frac{4l}{l+1} v_A^j \epsilon^{jk\langle a_l} S^{L-1\rangle k} \right] + O(\varepsilon^4), \quad (5.65)
\end{aligned}$$

$$Z_{iL}^{g,A} = \frac{4}{l+1} \dot{M}_{iL}^A + 4v_A^i M_L^A - \frac{4(2l-1)}{2l+1} v_A^j M_A^{j\langle L-1} \delta^{a_l\rangle i} - \frac{4l}{l+1} \epsilon^{ij\langle a_l} S^{L-1\rangle j} + O(\varepsilon^2). \quad (5.66)$$

Donde $v_A^i = \dot{z}_A^i$ y \dot{v}_A^i puede ser reemplazado por (3.72).

Finalmente, la ecuación de movimiento se obtiene siguiendo un procedimiento similar al propuesto en (3.71-3.72). Debido a la condición gauge (5.56), que fija la nulidad del momento dipolar de masa, la ecuación (5.52) se iguala a cero. Esto proporciona la ecuación para la aceleración correspondiente a la línea de mundo centro de masa de cada cuerpo en el sistema global a primera aproximación postnewtoniana [61]. Entonces, el resultado de aplicar la metodología presentada en el capítulo (3), conduce a una ecuación de movimiento que, a primer orden en la expansión multipolar ($l = 0$), está dada por

$$M_A \ddot{z}_i^A = M_A F^{g,A} + \sum_{l=2}^{\infty} \frac{1}{l!} M_L^A G_L^A + \varepsilon^2 \left[n M^{A p n} G_i^A - \epsilon_{ijk} S_j^{An} \dot{G}_k^A - 2 \epsilon_{ijk} \dot{S}_j^{An} G_k^A + \dot{Y}_i^{g,A} - v_A^j Y_{ji}^{g,A} \right. \\ \left. + (2v_A^2 - G^{g,a}) G_i^{g,A} - \frac{1}{2} v_A^i v_A^j G_j^{g,A} - (v_A^2 + 3G^{g,a}) \ddot{z}_i^A - \frac{1}{2} v_A^i v_A^j \ddot{z}_A^j - 3\dot{G}^{g,A} v_A^i \right] + O(\varepsilon^4), \quad (5.67)$$

con

$$F^{g,A} = \sum_{l=0}^{\infty} \frac{(-1)^l}{l!} \left[N_L^{g,B} \partial_L \frac{1}{|\mathbf{z}_A - \mathbf{z}_B|} + \frac{\varepsilon^2}{2} P_L^{g,B} \partial_L^A |\mathbf{z}_A - \mathbf{z}_B| \right], \quad (5.68)$$

donde

$$N_L^{g,A} = M_L^{g,A} + \frac{\varepsilon^2}{(2l+3)} \left[v_A^2 M_L^A + 2v_A^j \dot{M}_{jL}^A + 2lv^j v^{(a_l} M_A^{L-1)j} + \ddot{z}_A^j M_{jL}^A \right] + O(\varepsilon^4), \quad (5.69) \\ P_L^{g,A} = \ddot{M}_L^A + 2lv_A^{(a_l} \dot{M}_A^{L-1)} + l\ddot{z}_A^{(a_l} M_A^{L-1)} + l(l-1)v_A^{(a_1} v_A^{a_{l-1}} M_A^{L-2)} + O(\varepsilon^2).$$

Este tipo de ecuaciones han sido utilizadas ampliamente en la literatura y adoptadas en las resoluciones de la Unión Astronómica Internacional [63]. Detalles explícitos son encontrados en [4, 39, 61].

En esta tesis se ha realizado el estudio completo de una metodología general que conduce a las ecuaciones de movimiento de cuerpos extendidos bajo la influencia de campos gravitacionales en Relatividad General. El problema principal radica en cómo la estructura de un cuerpo puede afectar la forma en que este se mueve. Ya en la teoría de la gravedad de Newton se encuentra que la estructura de los cuerpos extendidos influye directamente en su movimiento traslacional y rotacional. En el capítulo (3) las ecuaciones (3.110) y (3.112) dan cuenta de estas contribuciones, que dependen de un acoplamiento entre los momentos multipolares de masa de cada cuerpo y los potenciales gravitacionales externos. Bajo la suposición de que los campos varían lentamente sobre los cuerpos, se encuentra que estos efectos sufren un enmascaramiento de forma que pueden ser estudiados como pequeñas correcciones a un movimiento de tipo partícula puntual [28]. Sin embargo, aunque esta suposición es necesaria para desarrollar las expansiones multipolares, no es conveniente despreciar estas contribuciones en el análisis del problema, pues un intento por realizar aproximaciones prematuras puede conducir a inconsistencias entre la teoría y la observación que podrían no estar relacionadas con los fundamentos teóricos sino con la metodología [48].

El caso relativista es bastante más complicado que el newtoniano. Por un lado, mientras que en la mecánica newtoniana las ecuaciones para los potenciales son lineales, en Relatividad General las ecuaciones son altamente no lineales, lo cual está relacionado con que cualquier tipo de energía es fuente de gravedad. Debido a esto, la influencia de la estructura del cuerpo sobre su dinámica no solo depende de la forma en que se distribuye la materia en su interior sino también de las fuerzas internas y de la misma forma como se mueve. Por otro lado, es claro que en la teoría de Newton los cuerpos se mueven en un espacio preexistente mientras que en Relatividad la distribución de materia-energía no puede desligarse de la estructura del espacio-tiempo. Una forma aproximada de dar solución a estos problemas es considerar la aproximación postnewtoniana para linealizar las Ecuaciones de campo de Einstein. Sin embargo, su campo de acción es limitado y puede dar lugar a malinterpretaciones. Es por

esto que los primeros capítulos tratan el problema de forma general.

Una geometrización de la teoría newtoniana es indispensable para tratar el problema relativista, y la metodología seguida en ese caso es la misma a lo largo de todo el trabajo. En el capítulo (3) se parte de leyes de conservación, las cuales están relacionadas con las simetrías del espacio, y a partir de ellas se definió el momentum lineal y el momentum angular, los cuales dependen de la distribución de materia y de los campos gravitacionales representados en la función de mundo [2]. Las ecuaciones generales de movimiento, que determinan la evolución de los momentos, se muestran en (3.134) y (3.135). La fuerza y el torque representan contribuciones de órdenes superiores a los cuadrupolares y se relacionan con la variación de la masa. Estos se obtienen a partir de la expansión multipolar realizada alrededor de la línea de mundo centro de masa y se presentan en (3.210) y (3.211).

Una aplicación directa del método general es el movimiento de una partícula de prueba con estructura multipolar en un espacio-tiempo estático e isotrópico. A partir del método planteado por Dixon [1] se generalizaron las ecuaciones de movimiento de Papapetrou [3], teniendo en cuenta la contribución de la estructura del cuerpo (ecuaciones 4.4, 4.7 y 4.10) y se planteó una masa efectiva con un término energético adicional que no se encuentra en el tratamiento clásico (ecuación 4.8). Bajo dos condiciones suplementarias de espín, se obtienen las ecuaciones de movimiento en coordenadas isotrópicas (4.24, 4.26, 4.27 y 4.32) y (4.41 y 4.42), las cuales se constituyen en un aporte del trabajo. En ambos casos, los términos encontrados en estas ecuaciones de movimiento muestran la contribución de términos netamente relativistas sin análogo newtoniano, como es el caso de acoplamientos espín-órbita y conexiones entre los momentos y la curvatura del espacio-tiempo.

En el capítulo (5) se presenta una solución al problema del movimiento de dos cuerpos en aproximación postnewtoniana. Aunque se sigue el mismo método descrito en el capítulo (3), las definiciones de los momentos multipolares son distintas pues responden a elecciones particulares de cartas coordenadas y no se relacionan con la definición de centro de masa propuesta en (3.150). Sin embargo, se sigue el mismo programa newtoniano al encontrar leyes de movimiento para los momentos y, a partir de la transformación de coordenadas postnewtoniana, se deducen las ecuaciones de movimiento (5.67).

Coordenadas normales de Riemann y la extensión tensorial de la métrica

A.1. Tétrada sobre una geodésica

Sobre una geodésica γ que une dos puntos de la variedad, x y z , se introduce una base ortonormal $e_a^\mu(z)$ que es paralelamente transportada sobre la geodésica. Los índices a, b, c, \dots van de 0 a 3 y etiquetan los vectores de la base ortonormal, mientras que los índices griegos son los usuales que denotan a e^μ como un vector [11]. Los vectores de la base ortonormal satisfacen

$$\begin{aligned} g_{\mu\nu} e_a^\mu e_b^\nu &= \eta_{ab} \\ \eta^{ab} e_a^\mu e_b^\nu &= g^{\mu\nu}. \end{aligned} \tag{A.1}$$

Puesto que la base es transportada paralelamente a lo largo de la geodésica γ parametrizada por u , se tiene

$$\frac{\delta e_a^\mu}{\delta u} = 0. \tag{A.2}$$

La tétrada dual definida por $e_\mu^a \equiv \eta^{ab} g_{\mu\nu} e_b^\nu$, también es transportada en γ y satisface

$$g_{\mu\nu} = \eta_{ab} e_\mu^a e_\nu^b. \tag{A.3}$$

Entonces

$$e_\mu^a e_b^\mu = \delta_b^a \quad \text{y} \quad e_\nu^a e_a^\mu = \delta_\nu^\mu. \tag{A.4}$$

Cualquier vector $A^\mu(z)$ sobre γ puede ser descompuesto en la base ortonormal por medio de [23]

$$A^\mu = A^a e_a^\mu, \quad A^a = A^\mu e_\mu^a. \quad (\text{A.5})$$

Por tanto, si A^μ es transportado paralelamente en γ , sus componentes en la base ortonormal A^a son constantes, pues de (A.2) se tiene

$$\frac{\delta A^\mu}{\delta u} = \frac{\delta A^a}{\delta u} e_a^\mu. \quad (\text{A.6})$$

Entonces el vector en x puede ser expresado como

$$A^\mu = A^\nu e_\nu^a e_a^\mu \quad \text{o} \quad A^\mu(x) = g^\mu_\nu(x, z) A^\nu(z), \quad (\text{A.7})$$

donde $g^\mu_\nu(x, z) \equiv e_\nu^a e_a^\mu$, es el propagador paralelo que toma un vector en z y lo transporta paralelamente a x a lo largo de la única geodésica que une los puntos.

A.2. Coordenadas normales de Riemann

Las coordenadas normales de Riemann definidas en un punto p de la variedad se constituyen en una carta coordenada en la vecindad del punto, las cuales tienen la propiedad de transformar las geodésicas que pasan a través del punto p en rectas que pasan a través del origen de \mathbb{R}^n , por lo cual las componentes de las conexiones se anulan en p . Esto hace que estas coordenadas sean bastante útiles para realizar cálculos en vecindades muy cercanas al punto.

Considérense los puntos $p_1(z)$ y $p_2(x)$ unido por una única geodésica. En p_1 el vector tangente k a esta geodésica puede ser escrito como una combinación lineal de la base,

$$k^\alpha = k^a e_a^\alpha. \quad (\text{A.8})$$

Se definen las coordenadas por $\hat{x}^a(x) = k^a$. Es decir, $\hat{x}^a(x)$ son las componentes del vector tangente k en p_1 , con respecto a la base normalizada, el cual se asigna a p_2 por medio de un mapeo exponencial \exp_{p_1} . Estas coordenadas, construidas de esta manera, corresponde a las coordenadas normales de Riemann en el punto p_1 .

Debido a que el vector tangente está dado por la primera derivada covariante de la función de mundo (2.34), se tiene

$$\hat{x}^a = -\Omega^\alpha(z, x) e_\alpha^a, \quad (\text{A.9})$$

con e_α^a la tétrada dual en z . Entonces, estas coordenadas cumplen

$$\begin{aligned}
\eta_{ab}\hat{x}^a\hat{x}^b &= \eta_{ab}e_\alpha^ae_\beta^b\Omega^\alpha\Omega^\beta \\
&= g_{\alpha\beta}\Omega^\alpha\Omega^\beta \\
&= 2\Omega(z, x).
\end{aligned} \tag{A.10}$$

Entonces $\eta_{ab}\hat{x}^a\hat{x}^b$ es el cuadrado de la distancia geodésica entre x y el punto base z . Como z está en el origen de las coordenadas $\hat{x}^a(z) = 0$.

A partir de la ecuación (A.9) se tiene que las transformación de coordenadas, a partir de estas coordenadas normales de Riemann, están determinadas por

$$\frac{\partial\hat{x}^a}{\partial x^\beta} = -e_\alpha^a\Omega^\alpha_\beta. \tag{A.11}$$

A.3. Extensión tensorial de la métrica

Considérese una tétrada ortonormal $e_A^\mu(x)$ en un punto particular z . En coordenadas normales de Riemann con origen en z , un punto cercano arbitrario x esta asociado con las coordenadas

$$X^A(z, x) = -e_\alpha^A(z)\Omega^\alpha(z, x). \tag{A.12}$$

Derivando la ecuación con respecto a x

$$\nabla_\kappa X^A = -e_\alpha^A\Omega^\alpha_\kappa. \tag{A.13}$$

Sea la métrica $g_{\kappa\lambda}(x)$ en x , entonces la transformación a coordenadas normales de Riemann está dada por

$$G_{AB} = \frac{\partial x^\kappa}{\partial X^A} \frac{\partial x^\lambda}{\partial X^B} g_{\kappa\lambda}(x). \tag{A.14}$$

Al sustituir (A.11) en (A.14), se tiene que la métrica en estas coordenadas se puede escribir en términos de los campos tensoriales de dos puntos (2.60), como sigue

$$G_{AB}(z, x) = e_A^\alpha e_B^\beta H^\kappa_\alpha(z, x) H^\lambda_\beta(z, x) g_{\kappa\lambda}(x). \tag{A.15}$$

Reescribiendo

$$\tilde{G}_{AB}(z, X^C(z, x)) = G_{AB}(z, x), \tag{A.16}$$

se tiene que la expansión en serie de Taylor a orden N-ésimo de G_{AB} alrededor de z es

$$G_{AB}(z, x) = \sum_{n=0}^{\infty} \frac{1}{n!} X^{C_1} \dots X^{C_n} \left[\frac{\partial^n \tilde{G}_{AB}}{\partial X^{C_1} \dots \partial X^{C_n}} \right]_{(z,0)}. \quad (\text{A.17})$$

Los coeficientes de esta expansión se definen por

$$g_{\alpha\beta, \gamma_1 \dots \gamma_n}(z) = \left[e_{\alpha}^A e_{\beta}^B e_{\gamma_1}^{C_1} \dots e_{\gamma_n}^{C_n} \left(\frac{\partial^n \tilde{G}_{AB}}{\partial X^{C_1} \dots \partial X^{C_n}} \right) \right]_{(z,0)}, \quad (\text{A.18})$$

los cuales son independientes de la tétrada. Estos coeficientes se denominan *tensores normales métricos* y el proceso general por el cual se definen campos tensoriales por medio de coeficientes en una serie de Taylor en coordenadas normales de Riemann se conoce como *extensión*. Entonces $g_{\alpha\beta, \gamma_1 \dots \gamma_n}$ se denomina *extensión n-ésima de la métrica*.

Aplicando $e_{\gamma}^A e_{\delta}^B \Omega_{\nu}^{\gamma} \Omega_{\sigma}^{\delta}$ a la ecuación (A.15), se tiene

$$e_{\gamma}^A e_{\delta}^B \Omega_{\nu}^{\gamma} \Omega_{\sigma}^{\delta} G_{AB}(z, x) = \delta_{\nu}^{\kappa} \delta_{\sigma}^{\lambda} g_{\kappa\lambda}(x), \quad (\text{A.19})$$

entonces (A.17) puede reescribirse como

$$g_{\kappa\lambda}(x) = e_{\alpha}^A e_{\beta}^B \Omega_{\kappa}^{\alpha} \Omega_{\lambda}^{\beta} \sum_{n=0}^{\infty} \frac{1}{n!} X^{C_1} \dots X^{C_n} \left[\frac{\partial^n \tilde{G}_{AB}}{\partial X^{C_1} \dots \partial X^{C_n}} \right]_{(z,0)}. \quad (\text{A.20})$$

Sustituyendo (A.12) en (A.20) se tiene, finalmente, una expansión para la métrica en términos de los vectores tangenciales a la línea de mundo γ y de la n-ésima extensión de la métrica, alrededor de $z \in \gamma$, a saber

$$g_{\kappa\lambda}(x) = \Omega_{\kappa}^{\alpha} \Omega_{\lambda}^{\beta} \sum_{n=0}^{\infty} \frac{(-1)^n}{n!} \Omega^{\gamma_1} \dots \Omega^{\gamma_n} g_{\alpha\beta, \gamma_1 \dots \gamma_n}(z). \quad (\text{A.21})$$

APÉNDICE B

El gauge armónico

Se ha planteado la ambigüedad en la solución a las Ecuaciones de campo de Einstein, producto de las identidades de Bianchi, la cual conduce a la existencia de cuatro grados de libertad que permiten fijar un gauge adecuado para dar solución al problema estudiado.

En la aproximación postnewtoniana el gauge más utilizado es el gauge armónico. A partir de este se imponen cuatro condiciones coordenadas que sumadas a las seis ecuaciones independientes de campo determinan una solución única. Con el fin de deducir este gauge considérese la divergencia de un cuadvectores V^ν

$$\nabla_\nu V^\nu = \partial_\nu V^\nu + \Gamma_{\alpha\nu}^\nu V^\alpha, \quad (\text{B.1})$$

donde

$$\Gamma_{\alpha\nu}^\nu = \frac{1}{2} g^{\mu\nu} (\partial_\alpha g_{\mu\nu} + \partial_\nu g_{\mu\alpha} - \partial_\mu g_{\alpha\nu}). \quad (\text{B.2})$$

A partir de la identidad

$$g^{\mu\nu} \partial_\mu g_{\alpha\nu} = g^{\mu\nu} \partial_\nu g_{\alpha\mu}, \quad (\text{B.3})$$

se tiene

$$\Gamma_{\alpha\nu}^\nu = \frac{1}{2} g^{\mu\nu} \partial_\alpha g_{\mu\nu}. \quad (\text{B.4})$$

Sabiendo que $g^{\mu\nu}$ son los elementos de la matriz inversa de $g_{\mu\nu}$, entonces estos pueden ser expresados en términos de la matriz de cofactores $\Delta^{\mu\nu}$ y del determinante $g = \det(g_{\mu\nu})$, por medio de

$$g^{\mu\nu} = \frac{\Delta^{\mu\nu}}{g}. \quad (\text{B.5})$$

A partir de (B.5) se deduce que el determinante puede ser escrito en términos de la matriz de cofactores de la siguiente forma

$$g = g_{\mu\nu} \Delta^{\mu\nu}, \quad (\text{B.6})$$

para cualquier μ fijo (solo en este caso no se aplica sumatoria de Einstein sobre índice repetido). Por lo tanto

$$\frac{\partial g}{\partial g_{\mu\nu}} = \Delta^{\mu\nu}. \quad (\text{B.7})$$

Sustituyendo (B.7) en (B.5) se obtiene que

$$g^{\mu\nu} = \frac{1}{g} \frac{\partial g}{\partial g_{\mu\nu}}, \quad (\text{B.8})$$

de tal forma que la contracción de la conexión (B.4) queda determinada por el determinante de la métrica, por medio de

$$\Gamma_{\alpha\nu}^{\nu} = \partial_{\alpha} (\ln \sqrt{-g}). \quad (\text{B.9})$$

Luego, la divergencia del cuadvivector V^{ν} toma la forma

$$\begin{aligned} \nabla_{\nu} V^{\nu} &= \partial_{\nu} V^{\nu} + (\partial_{\nu} \ln \sqrt{-g}) V^{\nu} \\ &= \frac{1}{\sqrt{-g}} \partial_{\nu} (\sqrt{-g} V^{\nu}). \end{aligned} \quad (\text{B.10})$$

Supóngase, ahora, que V^{ν} es el gradiente de algún escalar φ , entonces

$$V^{\nu} = g^{\mu\nu} \nabla_{\mu} \varphi. \quad (\text{B.11})$$

De (B.11) y (B.10) se tiene que la divergencia del cuadvivector V^{ν} es, por lo tanto, el invariante

$$\square_g \varphi = \frac{1}{\sqrt{-g}} \partial_{\nu} (\sqrt{-g} g^{\mu\nu} \partial_{\mu} \varphi). \quad (\text{B.12})$$

Por otro lado, aplicando la definición de la derivada covariante, el d'Alambertiano puede escribirse como

$$\square_g \varphi = g^{\mu\nu} \partial_{\mu\nu} \varphi - \Gamma^{\alpha} \partial_{\alpha} \varphi, \quad (\text{B.13})$$

donde $\Gamma^{\alpha} = g^{\mu\nu} \Gamma_{\mu\nu}^{\alpha}$. Debido a que tanto (B.12) como (B.13) proporcionan la divergencia del mismo vector, estas ecuaciones deben ser idénticas. Entonces

$$\frac{1}{\sqrt{-g}}\partial_\nu(\sqrt{-g}g^{\mu\nu}\partial_\mu\varphi) = g^{\mu\nu}\partial_{\mu\nu}\varphi - \Gamma^\alpha\partial_\alpha\varphi, \quad (\text{B.14})$$

luego

$$g^{\mu\nu}\partial_{\mu\nu}\varphi + \frac{1}{\sqrt{-g}}\partial_\nu(\sqrt{-g}g^{\mu\nu})\partial_\mu\varphi = g^{\mu\nu}\partial_{\mu\nu}\varphi - \Gamma^\alpha\partial_\alpha\varphi. \quad (\text{B.15})$$

Se sigue que los coeficientes de las segundas derivadas de φ deben ser los mismos, entonces al igualar los coeficientes de las primeras derivadas se obtiene la identidad

$$\Gamma^\alpha = -\frac{1}{\sqrt{-g}}\partial_\nu(\sqrt{-g}g^{\alpha\nu}) \quad (\text{B.16})$$

Se puede notar que un sistema de coordenadas en el cual x^0 y x^i son cuatro soluciones de la ecuación armónica $\square_g\varphi = 0$, se cumple

$$\Gamma^\alpha = 0. \quad (\text{B.17})$$

as coordenadas de este tipo se denominan coordenadas armónicas.

- [1] W. G. Dixon. Extended Bodies in General Relativity: Their Description and Motion. En *Isolated Graviting Systems in General Relativity (Varenna, 1976, curso 67)*, editado por J. Ehlers, páginas 156–219, 1979.
- [2] J. L. Synge. *Relativity: The General Theory*. North-Holland Publishing Company: Amsterdam, 1960.
- [3] A. Papapetrou. Spinning test particles in general relativity I. *Proc. Roy. Soc. Lond. A* **209** (1951):248.
- [4] T. Damour; M. Soffel; C. Xu. General-relativistic celestial mechanics. I. Method and definition of reference systems. *Phys. Rev. D* **43** (1991):3273.
- [5] R. Adler; M. Bazin; M. Schiffer. *Introduction to General Relativity*. McGraw-Hill, 1965.
- [6] L. D. Landau; E. M. Lifshitz. *The classical theory of fields*. Butterworth-Heinemann, 1975.
- [7] C. W. Misner; K. S. Thorne; J. A. Wheeler. *Gravitation*. W. H. Freeman and Company: San Francisco, 1973.
- [8] T. Padmanabhan. *Gravitation: Foundations and Frontiers*. Cambridge University Press: New York, 2010.
- [9] B. F. Schutz. *A first course in General Relativity*. Cambridge University Press: Cambridge, 1985.
- [10] S. Weinberg. *Gravitation and Cosmology: Principles and Applications of the General theory of Relativity*. John Wiley and Sons, 1972.
- [11] R.M. Wald. *General Relativity*. The University of Chicago Press, 1984.
- [12] S. M. Carroll. *Spacetime and Geometry: An Introduction to General Relativity*. Addison Wesley, 2004.
- [13] J. M. Tejeiro. *Principios de Relatividad General*. Universidad Nacional de Colombia, 2005.
- [14] V. Fock. *The Theory of Space, Time and Gravitation*. Pergamon Press, 1964.

-
- [15] V. A. Brumberg. *Essential Relativistic Celestial Mechanics*. Taylor & Francis Group, 1991.
- [16] F. De Felice; C. J. S. Clarke. *Relativity on Curved Manifolds*. Cambridge University Press: New York, 1990.
- [17] D. B. Malament. *Topics in the Foundations General Relativity and Newtonian Gravitation Theory*. The University of Chicago Press: Chicago, 2012.
- [18] P. Sharan. *Spacetime, Geometry and Gravitation*. Hindustan Book Agency: Berlin, 2009.
- [19] B. F. Schutz. *Geometrical Methods of Mathematical Physics*. Cambridge University Press: Cambridge, 1982.
- [20] M Carmeli. *Classical Fields: General Relativity and Gauge Theory*. John Wiley & Sons, 1982.
- [21] M. Kriele. *Spacetime: Foundations of General Relativity and Differential Geometry*. Springer, 1999.
- [22] J. Ehlers (ed). *Isolated Gravitating Systems in General Relativity (67th Enrico Fermi School, Varenna, 1976)*. North-Holland: Amsterdam, 1979.
- [23] E. Poisson. The Motion of Point Particles in Curved Spacetime. *Living Rev. Relativity* **7** (2004):6.
- [24] C. Le Poncin-Lafitte; B. Linet; P. Teyssandier. World function and time transfer: general post-Minkowskian expansions. *Class. Quantum Grav.* **21** (2004):4463.
- [25] W. G. Dixon. Dynamics of extended bodies in general relativity I. Momentum and angular momentum. *Proc. Roy. Soc. Lond. A* **314** (1970):499.
- [26] İ. B. İlhan. Dynamics of extended objects in General Relativity, [arXiv:0911.3645 \[gr-qc\]](https://arxiv.org/abs/0911.3645). 2009.
- [27] F. Tisserand. *Traite de Mecanique Celeste*, volume 1. Gauthier-Villars et fils: Paris, 1889.
- [28] T. Damour. The problem of motion in Newtonian and Einstein gravity. En *Three hundred years of gravitation*, editado por S. H. Hawking y W. Israel, páginas 128–198. Cambridge University Press: New York, 1987.
- [29] W. G. Dixon. Dynamics of extended bodies in general relativity II. Moments of the charge-current vector. *Proc. Roy. Soc. Lond. A* **319** (1970):509.
- [30] W. G. Dixon. Dynamics of extended bodies in general relativity III. Equations of motion. *Proc. Roy. Soc. Lond. A* **277** (1974):59.
- [31] J. E. Marsden; T. J. R. Hughes. *Mathematical Foundations of Elasticity*. Prentice-Hall: New Jersey, 1983.
- [32] J. D. Jackson. *Classical Electrodynamics*, 2nd edition. John Wiley & Sons: New York, 1975.
- [33] J. L. Synge; B. A. Griffith. *Principles of Mechanics*, 2nd edition. McGraw-Hill Book Company: New York, 1949.
- [34] M. Audin. *Geometry*. Springer-Verlag, 2002.
- [35] A. I. Harte. Mechanics of extended masses in general relativity. *Class. Quantum Grav.* **29** (2012):055012.

-
- [36] M. Brillouin. Gravitation Einsteinienne. Statique. Points singuliers. Le point matériel. *C. R. Acad. Sci. Paris* **175** (1922):1009–1012.
- [37] T. Levi-Civita. The Relativistic Problem of Several Bodies. En *Harvard Tercentenary Conference of Arts and Sciences*, 1936.
- [38] T. Damour; M. Soffel; C. Xu. General-relativistic celestial mechanics. II. Translational equations of motion. *Phys. Rev. D* **45** (1992):1017.
- [39] É. Racine; É. É. Flanagan. Post-1-Newtonian equations of motion for systems of arbitrarily structured bodies. *Phys. rev. D* **71** (2005):044010.
- [40] F. A. E. Pirani. Introduction to gravitational radiation theory. En *Lectures on General Relativity*, editado por A. Trautman; F. A. E. Pirani; H. Bondi, página 249. Prentice-Hall: Englewood Cliffs, 1964.
- [41] B. G. Schmidt. Asymptotic Structure of Isolated Systems. En *Isolated Graviting Systems in General Relativity (67th Enrico Fermi School, Varenna, 1976)*, editado por J. Ehlers (ed). North-Holland: Amsterdam, 1979.
- [42] G. Leipold; M. Walker. Boundary conditions at past null infinity for zero-rest-mass fields including gravitation. *Ann. Inst. Henri Poincaré: Section A* **27** (1977):61.
- [43] M. Walker. Remark on Trautman's Radiation Condition. En *Isolated Graviting Systems in General Relativity (67th Enrico Fermi School, Varenna, 1976)*, editado por J. Ehlers (ed.). North-Holland: Amsterdam, 1979.
- [44] H. Blaine Lawson. Foliations. *Bull. Amer. Math. Soc.* **80** (1974):369.
- [45] M. H. L. Pryce. The Mass-Centre in the Restricted Theory of Relativity and Its Connexion with the Quantum Theory of Elementary Particles. *Proc. Roy. Soc. Lond. A* **195** (1948):62.
- [46] W. Beiglböck. The Center-of-Mass in Einsteins Theory of Gravitation. *Commun. Math. Phys* **5** (1967):106.
- [47] R. Schattner. The Center of Mass in General Relativity. *Gen. Rel. Grav.* **10** (1978):377.
- [48] J. Ehlers; E. Rudolph. Dynamics of extended bodies in general relativity. *Gen. Rel. Grav* **8** (1977):197.
- [49] A. I. Harte. Approximate spacetime symmetries and conservation laws. *Class. Quantum Grav.* **25** (2008):205008.
- [50] W. G. Dixon. The definition of multipole moments for extended bodies. *Gen. Rel. Grav.* **4** (1973):199.
- [51] E. Corinaldesi; A. Papapetrou. Spinning test-particles in General Relativity II. *Proc. Roy. Soc. Lond. A* **209** (1951):259.
- [52] B. M. Barker; R. F. O'Connell. Nongeodesic motion in General Relativity. *Gen. Rel. Grav.* **5** (1974):539.

-
- [53] W. M. Tulczyjew. Motion of multipole particles in general relativity theory. *Acta Phys. Polon.* **18** (1959):393.
- [54] W. G. Dixon. A covariant multipole formalism for extended test bodies in general relativity. *Il Nuovo Cimento* **34** (1964):317.
- [55] J. L. Anderson; T. C. Decanio. Equations of hydrodynamics in general relativity in the slow motion approximation. *Gen. Rel. Grav* **6** (1975):197.
- [56] D. G. Kerlick. Finite reduced hydrodynamic equations in the slow-motion approximation to general relativity. Part I. First post-Newtonian equations. *Gen. Rel. Grav.* **12** (1980):467.
- [57] L. Blanchet; T. Damour. Post-Newtonian generation of gravitational waves. *Ann. Inst. Henri Poincaré: Phys. Theor* **50** (1989):377.
- [58] M. Maggiore. *Gravitational Waves. Theory and Experiments*, volume 1. Oxford University Press, New York, 2008.
- [59] T. Hartmann; M. Soffel; T. Kioustelidis. On the use of STF-tensors in celestial mechanics. *Celest. Mech. Dyn.* **60** (1994):139.
- [60] E. Poisson. *Post-Newtonian theory for the common reader. Lecture Notes*. Department of Physics, University of Guelph, 2007.
- [61] J. Vines; É. É. Flanagan. Post-1-Newtonian quadrupole tidal interactions in binary systems, [arXiv:1009.4919v2](https://arxiv.org/abs/1009.4919v2) [gr-qc]. 2011.
- [62] S. kopeikin; I. Vlasov. Parametrized post-Newtonian theory of reference frames, multipolar expansions and equations of motion in the N-body problem. *Phys. Reports* **400** (2004):209.
- [63] M. Soffel; et al. The IAU 2000 Resolutions for Astrometry, Celestial Mechanics, and Metrology in the Relativistic Framework: Explanatory Supplement. *The Astronomical Journal* **126** (2003):2687.

